

وزارة التعليم العالي

MINISTERE DE L'ENSEIGNEMENT SUPERIEUR

المدرسة الوطنية المتعددة التقنيات
BIBLIOTHEQUE — المكتبة —
Ecole Nationale Polytechnique

ECOLE NATIONALE POLYTECHNIQUE

DEPARTEMENT : GENIE CIVIL

Lex

PROJET DE FIN D'ETUDES

SUJET

ETUDE D'UNE STRUCTURE MIXTE

(BA. BP. CM)

Proposé par :

E.B.A

Etudié par :

M.S. BRAHAM CHAOUCH

M. SEDAQUI

Dirigé par :

Mr BOUTEMEUR

Mr LEFKI

بِسْمِ اللَّهِ الرَّحْمَنِ الرَّحِيمِ

المدرسة الوطنية المتعددة التقنيات
BIBLIOTHEQUE — المكتبة
Ecole Nationale Polytechnique

DEDICACES

A la memoire de mes grands parents
a mon pere, ma mere, mes freres et
soeur. A mes oncles et tantes.
Et a tous ceux qui pour l'amour
de dieu font le bien.

BRAHAM CHAOUCH

MOHAMED SEGHIR

A ma famille, mon ami BENMAHDJOUR RACHID, a Mr R BOUTEMEUR mon professeur de beton de 4e année et a la gloire de ETCE.

SEDAOUI MESSAOUD

REMERCIEMENTS

Nous tenons à remercier tout particulièrement Mr DIFFALLAH de l'EBA, ainsi que tous le personnel de cette entreprise qui nous ont proposé notre sujet, et nous ont aidé dans son étude.

Nous tenons à remercier Mr BOUTEMEUR ET Mr LEFKI nos promoteurs pour l'aide qu'il nous ont fourni durant notre projet de fin d'étude.

Nous tenons à remercier Mr HAMEG mohamed et Mme HAMEG LILA sans lesquelles ce polycopié n'aurait pu être réalisé.

Nous tenons à remercier les responsables et employeurs de la bibliothèque et du centre de calcul de l'ENP.

Nous remercions tous ceux qui de pres ou de loin ,nous ont aide lors de notre projet de fin d'etude

M. SEDAQUI et M. S. BRAHAM CHAOUCH

I	AVANT-PROPOS	1
II	INTRODUCTION	2
III	DESCRIPTION DU PROCEDE.....	3
IV	PRESENTATION DE L'OUVRAGE	4
V	CARACTERISTIQUE DES MATERIAUX.....	6
VI	CHARGES ET SURCHARGES	9
VII	ETUDE AU SEISME.....	11
VIII	CALCUL DE RIGIDITE ET DISTRIBUTION DE L'EFFORT TRANCHANT.....	15
IX	ETUDE AU VENT	26
X	SOLLICITATIONS (SAP80)	39
XI	ETUDE DE LA PRECONTRAINTE.....	51
XII	CONTREVENTEMENT.....	74
XIII	CALCUL DE LA POUTRE DE ROULEMENT.....	77
XIV	CALCUL D'ELEMENTS DIVERS.....	86
XV	FONDATIONS.....	92
XVI	CONCLUSION.....	96
	BIBLIOGRAPHIE.....	97

AVANT-PROPOS

Le but de notre projet de fin d'étude est l'analyse d'un ouvrage industriel. Il se distingue des theses classiques du genre, par le fait que nous fumes confrontes à un procédé de construction original (du moins en Algérie), où la structure porteuse est en béton précontraint, quoique l'on retrouve des éléments classiques en béton armé, et en charpente métallique.

Nous avons mené notre étude de manière à exploiter, autant que cela nous a été possible, l'outil informatique. Nous nous sommes alors familiarisés avec l'utilisation de logiciels, comme le SAP80 et le STAPBEAM. Nous avons aussi développé nos propres programmes dont certains sont spécifiques à l'étude, et d'autres dont l'utilisation est plus générale.

nous avons essayé, autant que possible de rester entre l'ingénieur exerçant dans une entreprise, et l'étudiant en fin de cycle, de manière à avoir l'efficacité du premier, et la curiosité du second.

INTRODUCTION

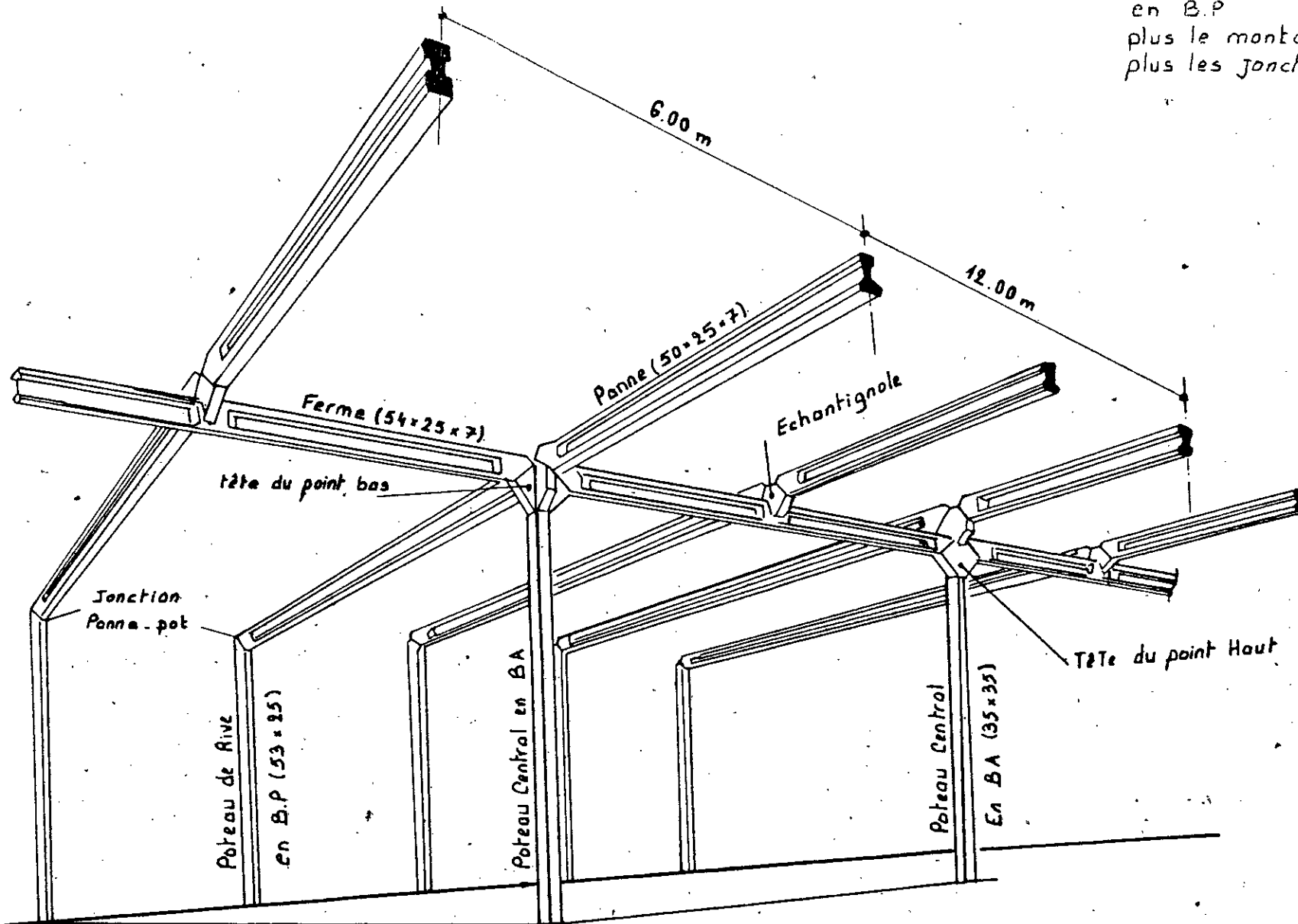
De grandes portees avec des sections tres economiques,tels sont les atouts majeurs du beton precontraint,dans le domaine du genie civil.Integrons tout cela dans un procede de construction par assemblage d'elements prefabriques,le resultat est plus que satisfaisant et ne peut qu'interesser les entreprises de construction.

Les clients (dans un contexte national) pourraient emettre des reserves quand a la bonne realisation de la precontrainte,mais vue que l'operation se fait en usine,ceci garanti une grande fiabilite des elements.

Dans notre pays,le beton precontraint,a fait son apparition lors de la derniere decennie,son utilisation dans les ouvrages d'art ne cesse de s'etendre.Par contre dans le domaine du batiment,a peine fait il une timide perce dans le marche des ouvrages industriels et ceci reside dans une cause essentielle qui est l'ignorance des autorites responsables du control des capacites de performance sismique de ce materiau. Ignorance qui se traduit par un interdit,frappant l'utilisation d'elements precontraints pour le contreventement sans justification d'un calcul post-elastique.

SCHEMA N°1

perspective d'éléments d'ossature
en B.P
plus le montage des portiques
plus les jonctions voir les détails.



DESCRIPTION DU PROCEDE

1 INTODUCTION

Le procede GUIRAUDI-AUFFEVE, brevete en FRANCE et a l'etrange, est agree par le centre scientifique et technique du batiment, est exploite sous license dans plusieurs pays dont l'ALGERIE.

Le procede est caracterise par les proprietes suivantes:

-L'ossature hyperstatique precontrainte en beton, resulte de l'assemblage d'elements prefabriques de grande longueur par boulonnage suivant les plans de jonction bissecteurs de ces elements. Cette ossature est constituee de portiques a bequilles encastrees en tete et au pied. Ces portiques peuvent etre simples ou multiples. Il reprenent tous les efforts horizontaux et verticaux appliques a la construction. La structure est donc composee de portiques "PANNES" et de portiques "FERMES".

*Les portiques pannes (20 m de longueur environ) espace de 5 a 6m environ (cote X) s'appuient sur les poteaux de facade et sur les portiques fermes (de 12m de longueur environ) espaces tout les Y. Les charges climatiques sont directement transmises aux portiques "PANNE" par la tole nervuree et galvanisee qui constitue la couverture.

*Les portiques "FERMES" comportent des poteaux de facade et des poteaux interieurs, la portee des fermes est egale a 2X (5 a 6m).

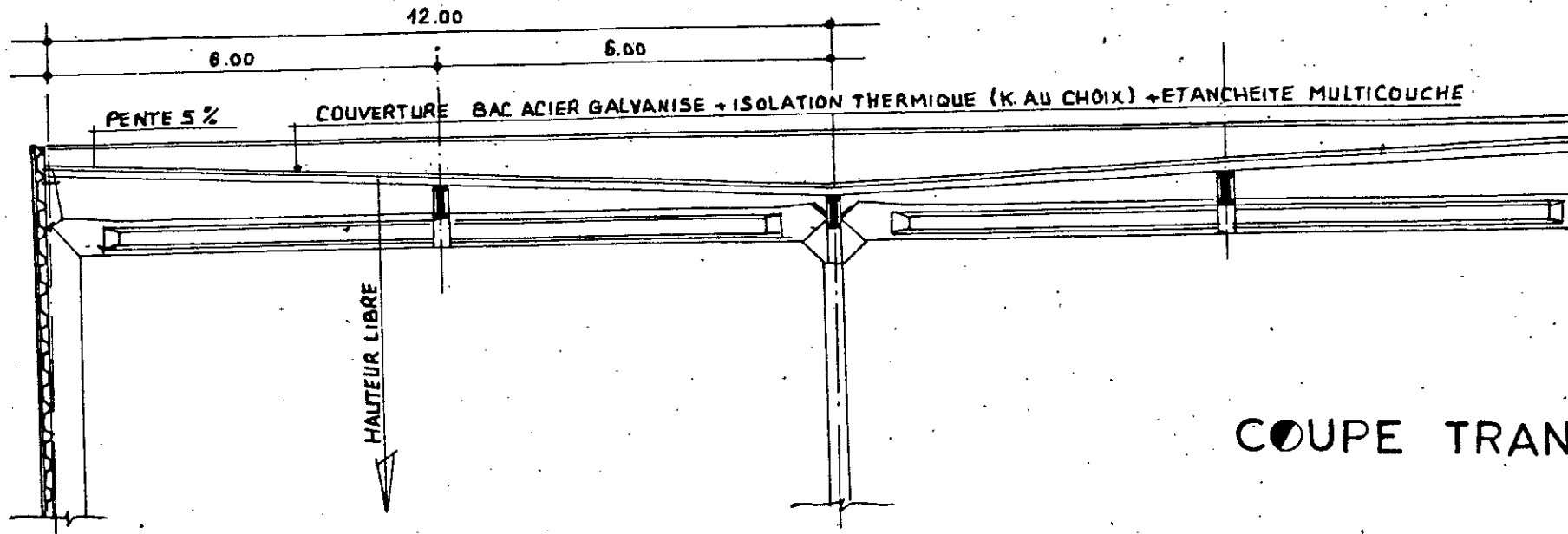
Au moment du montage, le controle des couples de serrage des boulons permet de creer des moments hyperstatiques adaptes aux cas de charges ulterieures, en vue d'une optimisation de la repartition des moments sur appui et en travee.

2 CARACTERISTIQUES TECHNIQUES

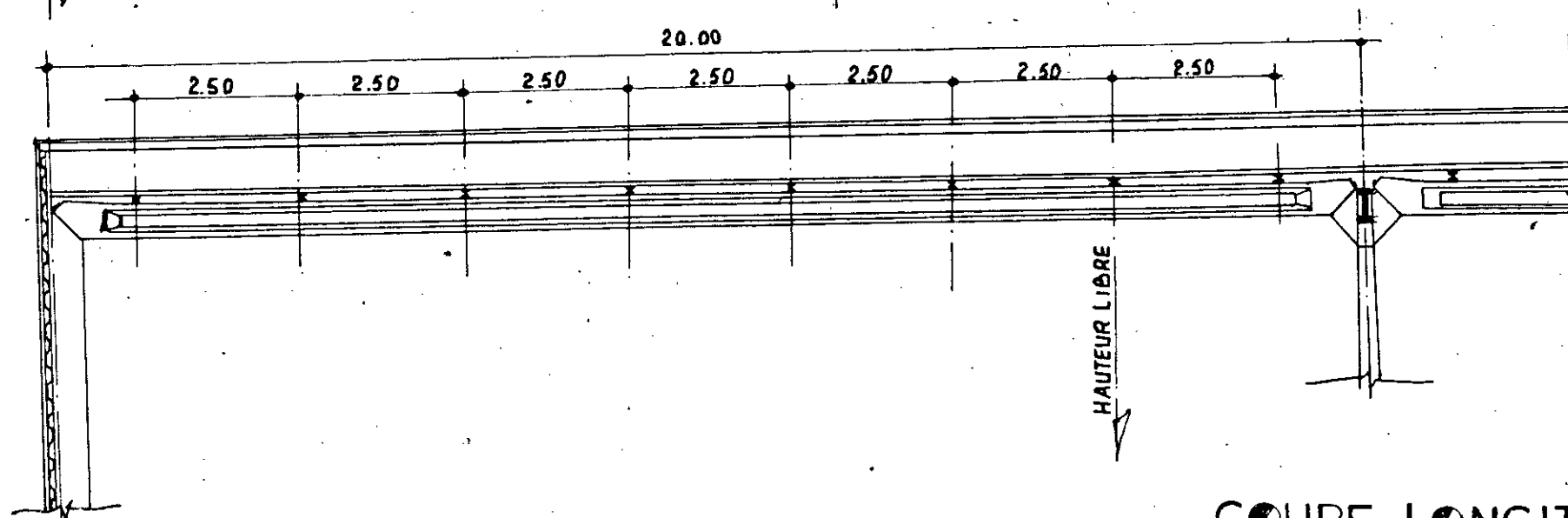
Le systeme d'ossature est un systeme en beton precontraint, par plaques d'ancrage, servant d'extremite aux fils precontraints releves a leurs extremites. L'assemblage entre plaques d'ancrages est realise par des boulons de haute resistance. Le serrage des boulons a pour effet de creer un moment d'encastrement sur appui reglable (de valeur proportionnelle au couple de serrage de l'ecrou sur le boulon) qui permet de faire varier a volonte, les valeurs relatives des moments en travee et sur appui, de facon a creer une poutre travaillant dans les conditions optimales. Soit, le moment sur appui est egale au moment en travee (ou equilibrage des moments positifs et negatifs).

3 ELEMENTS PREFABRIQUES

- Elements longs (PANNES).
- Elements courts (FERMES).
- Elements poteaux exterieurs precontraints (meme section que les poutres).
- Elements poteaux centraux en beton arme.



COUPE TRANSVERSALE



COUPE LONGITUDINALE

PRESENTATION DE L'OUVRAGE

L'ouvrage dont nous tacherons de faire l'étude, est de par sa nature, un bâtiment industriel jouxtant le complexe de l'ENATB située à ROUIBA, dans la wilaya de BOUMERDES, dont il est une extension.

Il s'étend sur une superficie globale de 6803 m² (84.74x80.28) et comporte deux parties A et B, séparées par un joint de dilatation.

PARTIE A

Avec ses quatre blocs indépendants, car désolidarisés par des joints de dilatations, et occupant une superficie de 36x40 m²; soit 1440 m², cette partie s'installe sur une surface totale de 5817 m².

Chaque bloc est composé de portiques et de poteaux autostables de la manière suivante:

Dans le sens transversal

-D'un portique ferme réalisé en assemblant les éléments suivants:

-Trois (03) poutres fermes en béton précontraint (25x24x7) cm de 12m de longueur.

-Deux (02) poteaux de rive en béton précontraint (25x57) cm de 6.44m de longueur.

-Deux (02) poteaux centraux en béton armé (35x35) cm de 6.44m de longueur.

Dans le sens longitudinal

Une série de six (06) portiques, de (02) types:

-Les portiques pannes: se sont des portiques hyperstatiques réalisés en assemblant:

*Deux (02) poteaux sous panne en béton précontraint (25x53) cm de 6.74m de longueur.

*Une (01) poutre panne (25x50x7) cm de 20m de longueur s'appuyant élastiquement sur la poutre ferme à mi-travee, grâce à des échantillonnages.

-Les portiques autostables: se sont des portiques semblables aux précédents, mais prenant appuis à mi-travee sur les poteaux de la ferme, et dont la ligne moyenne de la poutre se trouve soit à 7.04m, soit à 6.44m selon que l'on soit respectivement, dans le cas d'une panne faitière ou sablière. Il faut noter aussi, la présence dans le bloc A, de six (06) poteaux autostables (50x25) cm de 6.44m de longueur, alignés sur un même axe que le poteau sous ferme de rive, ainsi que deux (02) poteaux d'angles (35x35) limitant de part et d'autre cet alignement.

PARTIE B

Les deux blocs abritant le pont roulant, sont séparés par un joint de dilatation. Chacun d'eux prenant place sur une superficie de 40x12m² soit 480m².

La superficie totale de la partie B est de 963.36m². Le pont roulant s'étire sur 60.28m, mais pourrait être prolongé

EXISTANT

EXTENTION

500

500

500, 500

1000

1000 200

600

600

600

1200

Δ

Δ

Δ

Δ

sur toute la longueur des deux blocs soit 80.28m. Chaque bloc est constitué d'une succession de huit (08) portiques pannes, de hauteurs variables, issues de l'assemblage des éléments suivants:

-Deux (02) poteaux sous pannes en béton précontraint (25x53)cm .

-Une (01) poutre panne en béton précontraint (25x50x7) de 12m de longueur.

En outre, il faut noter la présence de deux poteaux d'angles (35x35)cm à gauche, et à droite d'un poteau autostable (25x50)cm de 8m de longueur chacun.

N.B: La variation de hauteur de certains portiques dans l'ouvrage, est due à l'inclinaison de la toiture, qui a une pente de 5%.

CARACTERISTIQUES DES MATERIAUX

1 LE BETON

Le beton utilise est un beton hydraulique, résultant d'un mélange, composé de liant, d'eau, et de granulat, dose de façon à obtenir, au moment de la mise en œuvre, une consistance convenable, et après durcissement, les qualités requises suivantes :

- Une bonne résistance mécanique, essentiellement à la compression simple.
- Une bonne résistance aux agents agressifs.
- Une déformabilité instantanée, et différenciée aussi faible que possible.
- Une bonne maniabilité du béton lors de la mise en œuvre en ne constatant aucune ségrégation.

1.1 COMPOSITION DU BETON

Pour 1m³ de béton la composition est la suivante :

- 350 kg de ciment CPA 325.
- 400 l de sable Cg=5mm.
- 800 l de gravillon Cg=25mm.
- 175 l d'eau.

2 ACIERS

Nous utilisons des aciers à haute adhérence (HA) Fe40 qui ont les caractéristiques suivantes :

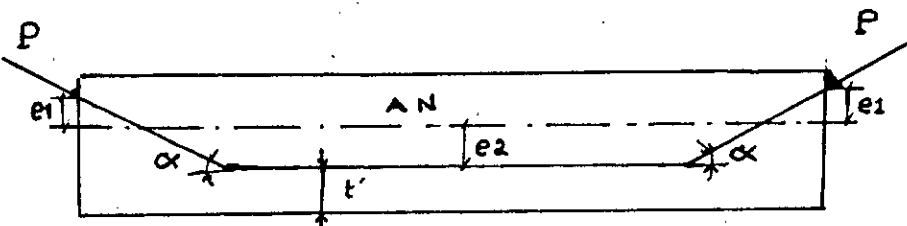
- Ø ≤ 20mm Fe=420MPa.
- Ø > 20mm Fe=400MPa.

3 BETON PRECONTRAINTE

Les éléments en béton précontraint sont caractérisés par la valeur de la précontrainte, et de l'excentricité nécessaire, pour réduire, les contraintes à un seuil admissible par les règlements en vigueur. Dans le cas de notre projet (structure légère), chaque portique est dissocié, en un ensemble de poutre et de poteaux, dont nous étudions la précontrainte à part, c'est à dire pour chaque élément, mais en tenant compte des efforts extérieurs hyperstatiques car, les portiques travaillent hyperstatiquement, grâce à un assemblage d'éléments isostatiques qui crée l'hyperstaticité.

*TRACE DES CABLES:

En théorie, le trace des câbles de précontrainte dans les poutres est parabolique, ce qui est dans le cas de la précontrainte par pré-tension, très difficile à réaliser. Le procédé a donc remplacé ce trace par un autre brisé, trapesoidal qui enveloppe la parabole, afin de s'approcher au maximum du financement des charges, le tout en respectant les conditions d'enrobage nécessaires pour loger les armatures, et les protéger de la corrosion.



*CLASSE DE PRECONTRAINTE

Selon les exigences sur les contraintes de traction limites, les justifications sont rangees en trois classes, qui, par contre, sont soumises aux même contraintes limites de compression.

Les classes sont les suivantes:

- Classe I:Aucune decompression n'est toleree,pour le beton precontraint.
- Classe II:Des tractions moderees sont admises,dans le beton precontraint.
- classe III:des contraintes de traction sont admises,et les fissures consequantes sont maileees grace aux armatures passives.

En ce qui concerne notre ouvrage,nous sommes dans le cas de la classe I d'où $m=0$.

*BETON

La contrainte de compression du beton vaut:

-0.6 fc28 sous l'effet des combinaisons rares et frequentes.
-0.6 fcj durant l'execution,mais ramenee a 0.55 fcj si $j \leq 3$ jours.

Avec $fc28=25MPa$.

*ARMATURES DE PRECONTRAINTES

La valeur maximum de la tension a l'origine doit etre,au plus,egale aux valeurs limites autorisees par l'agrement des aciers utilises.

Pour notre cas (production industrialisee)

0.85 fprg : fprg:Valeur garantie a la rupture par unite de section nominale.

0.85 fpeg : fpeg:Valeur garantie a la limite elastique par unite de section nominale.

Les aciers HEL utilisés en précontrainte sont des files de ϕ 8
dont voici les caractéristiques:
 $f_{prg}=150 \text{ kg/mm}^2$

$f_{peg}=135 \text{ kg/mm}^2$

$A_p = 5 \cdot 10^{-3} \text{ m}^2$

$\epsilon_g = 1 \text{ mm : } g$: allongement relatif minimum garantie.

$\rho_{1000} = 2.5\%$: ρ_{1000} : relaxation maximale garantie à 1000 heures.

$\rho_s = 5 \cdot 10^{-3}$: ρ_s : Pourcentage d'armature.

$\rho_h = 75\%$: ρ_h : Coefficient milieu ambiant.

$\sigma_0 = 127.5 \text{ kg/mm}^2$; σ_0 : Tension de précontrainte à l'origine

*PHASES DE REALISATIONS:

Se sont les intervalles en jours suivants:

[0,3] : Durcissement du béton, et mise en précontrainte à 3 jours, dans cette phase se produisent les pertes instantanées.

[3,21] : Stockage et mise en place de la poutre.

[21,42] : Réalisation de la toiture de densité 0.186 T/m.

[42,00] : Ouvrage en service.

CHARGES ET SURCHARGES

1 CHARGES PERMANENTES

Eilles sont dans le cas de notre ouvrage, le poids propre des éléments constitutants la toiture, et le poids propre des éléments structuraux (pannes et fermes).

1.1 POIDS DE LA TOITURE

*Isolation: ce sont des plaques de liège de 4cm posées jointives, scellées au bitume chaud, après badigeonnage des toles, et fixées par caniquement au support en TN40 par des rivets.

Densité 6.00 dan
m²

*Toile TN40: Ce sont des panneaux de toile nervurée de 40mm de profondeur de rainure, ayant une épaisseur de 0.75mm et une largeur de 7.14mm.

Poids par m¹ 5.50 dan
m¹

Poids par m² 7.70 dan
m²

*Etancheité: C'est une couche de densité 12.00 dan
m²

*Profils métalliques: ce sont des IPE 120.

Poids par m¹ 10.40 dan
Il sont espacés de 2.5m, ce qui m¹
revient à considérer leurs poids dan
comme une charge répartie de 5.00 dan
m¹

**POIDS DE LA TOITURE 31.00 dan
m¹

1.2 POIDS DES FERMES

Les pannes et les fermes sont des éléments dont la section est en I, ayant les dimensions et poids suivants:

-Panne 50x25x7 , poids 160.00 dan
m¹

-Ferme 54x25x7 , poids 185.00 dan
m¹

N.B: Les dimensions sont en cm; 7 est l'épaisseur de l'ame.

2 SURCHARGES

2.1 SURCHARGES D'EXPLOITATIONS

D'une maniere generale,elles sont negligables,neanmoins nous pourrions tenir compte d'une couche eventuelle de poussiere,ou de la surcharge de montage,soit
dan dan
10.00 ou 60.00
m2 m1

2.2 SURCHARGES CLIMATIQUES

2.2.1 LA NEIGE

La region d'ALGER ou est situee ROUIBA,est une zone ou tombe rarement de la neige ,mais il faut tenir compte d'une couche eventuelle de neige de densite:

dan dan
* 24.00 soit 144.00
m2 m1

2.2.2 LE VENT

Voir l'etude au vent.

2.3 SURCHARGES ACCIDENTELLES

La situation accidentelle etudier, est celle due au seisme,qui sera traitee lors de l'etude sismique.

ETUDE AU SEISME

ETUDE SISMIQUE

Le calcul des charges sismiques se fera selon le RPA88. Les forces sismiques horizontales totales agissant non simultanément, dans la direction des axes principaux de la structure, sont définies conformément à la formule:

$$V = ADBQW$$

ou

- A est le facteur d'accélération de zone.
- D est le facteur d'amplification dynamique moyen.
- B est le facteur de comportement de la structure.
- Q est le facteur de qualité.
- W est la charge (poids) pris en compte dans le calcul sismique.

BLOC A

1 COEFFICIENT A

Nous sommes dans le cas du groupe d'usage 2, zone II, donc $A=0.15$

2 COEFFICIENT D

2.1 PERIODE

0.09 H

La formule donnant la période est: $T = \frac{1}{\sqrt{\frac{L}{H}}}$

$$\frac{1}{\sqrt{\frac{L}{H}}}$$

Nous avons $H = 7.04m$

$L_1 = 40.00m$: sens longitudinale.

$L_t = 36.00m$: sens transversale.

D'où

$T_1 = 0.10sec$

$T_t = 0.11sec$

Dans les deux cas, la période est inférieure à 0.3 sec donc $D=2$

3 COEFFICIENT B

Le contreventement est assuré par des éléments métalliques d'où $B=0.25$

4 COEFFICIENT Q

Le facteur de qualite Q est evalue par la formule suivante:
$$Q = 1 + \frac{Pq}{Pq} \text{ ou } Pq : \text{Penalite que defini l'observateur.}$$

$$q=1$$

Nous avons pour le sens logitudinale
 $Pq=0.15$ d'où $Q_1=1.15$
et pour le sens transversale
 $Pq=0.15$ d'où $Q_t=1.15$

5 CHARGE W

Le poids total pris en compte est :
 $W=175696.55 \text{ kg soit } W=175.70 \text{ T}$
(le detail du calcul de W est fait a la fin de ce chapitre)

6 EVALUATION DE V

$$V=A B D Q W$$

Dans notre cas $V_x=V_y=15.15 \text{ T}$

D'où

BLOC A

$$\begin{aligned}A &= 0.15 \\B &= 0.25 \\D &= 2 \\Q &= 1.15 \\W &= 175.70 \text{ T}\end{aligned}$$

$$V_x=V_y=15.15 \text{ T}$$

BLOC B

La meme procedure suivie precedament, a ete appliquee au bloc B, nous avons les resultats suivants:

$$\begin{aligned}A &= 0.15 \\B &= 0.25 \\D &= 2 \\Q &= 1.15 \\W &= 119.632 \text{ T}\end{aligned}$$

$$V_x=V_y=10.32 \text{ T}$$

EVALUATION DE W

BLOC A

ELTS	B (cm ²)	D densit	M Kg/m ²	masse haut.	M/H m/m	masse long.	NBRE	masse M(Kg)
Toit	40x36		31					44640
Panne	50x25 x7 cm				160	40	6	38400
Ferme	54x25 x7 cm				185	36	1	6660
PATS	50x25 cm	2500		6.74			6	12637
PS/F	57x25 cm	2500		6.74			2	4802.5
PS/P	53x25 cm	2500		6.74			12	26791
PC	35x35 cm	2500		6.74			2	4128.3
PA	35x35 cm	2500		6.74			2	4128.3
Barda								
de	40x36		20	5.94		40		9028.8
facad	m							
Barda								
de	40x36		20	5.94		36		9028.8
facad	m							
Q	40x36 m		50%x10					7200.0
N	40x36 m		50%x24					17280
							W	175697

EVALUATION DE W(BLOC B)

ELTS	B	D	M	masse haut. densit Kg/m ²	H	masse M/m	long. (m)	L	NBRE	masse M(Kg)
Toit	40x12			31						44640
Panne	50x25 x7 cm					160	40	6	38400	
PATS	50x25 cm	2500			6.74			6	12637	
PS/P	53x25 cm	2500			6.74			12	26791	
PA	35x35 cm	2500			6.74			2	4128.3	
Barda de facad				20	5.94		40			9028.8
Barda de facad				20	5.94		36			9028.8
Q	40x12 m		50%x10							2408.4
N	40x12 m		50%x24							5780.2
P.RLM	30x50 cm	2500								30105
P- ROULT										12500
CHAR- IOT										3500
CONS- OLE										2340
										(dan)
										W=119632.22

CALCUL DE RIGIDITE

2 EXPOSE DE LA METHODE

Les rigidites sont calculees par la methode de MUTO, qui permet aussi de determiner les contraintes dans les differents elements d'une structure composee de portiques ,et sollicitee par des forces horizontales.

2 CONDITION D'APPLICATION

Cette methode est applicable pour les batiments a etages rigides dans leurs plan, ayant une ossature composee de portiques autostable reprenant la totalite des charges verticales et horizontales.

Les charges sont supposees concentrees au niveau des planchers. Les diagrammes de distribution des charges horizontales en elvation est rectangulaire (vent) ou triangulaire (seisme).

REMARQUE

Pour obtenir une bonne precision, il est necessaire que la raideur(rigidite relative I/L)des poutres ne soit pas trop faible devant celle des poteaux,pour rester dans l'hypothese des des planchers indeformables (un seul degre de liberte:translation). La raideur k doit etre superieur a 0.2 pour tout les noeuds de l'ossature.
On ne doit pas avoir de variation brusque de rigidites entre deux niveaux adjacents.

3 PRINCIPE DE LA METHODE

3.1 ETAPE DE CALCUL

- Calcul des rigidites lineaires des poteaux et des poutres.
- Calcul des coefficients K et des coefficients de correction a dans les deux sens.
- Calcul des raideurs corrigees des poteaux dans les deux sens.
- Calcul des rigidites de niveau dans les deux sens.
- Determination du centre de masse et de torsion.

3.2 DEFINITIONS

3.2.1 RIGIDITE DE NIVEAU D'UN PORTIQUE

La rigidite relative d'un portique represente l'effort tranchant qui produit un deplacement relatif de niveau egale a l'unité.

$$R=T/\delta$$

3.2.2 RIGIDITE D'UN POTEAU

Elle est egale a l'effort tranchant provoquant un deplacement unitaire du poteau.

3.2.3 RIGIDITE D'UN NIVEAU EN FONCTION DE CELLE DES POTEAUX

C'est la somme des rigidites des poteaux du niveau, car on a suppose que les poteau d'un meme niveau ,subissent le meme deplacement.

3.2.4 RIGIDITE REELLE D'UN NIVEAU

Un portique sollicite par des charges horizontales,a un deplacement qui peut etre decomposer en trois parties complementaires

$\delta_a, \delta_b, \delta_c$ tel que:

$$\delta = \delta_a + \delta_b + \delta_c$$

a:Deplacement de translation du a la deformation de flaxion des poteaux en conciderant les poutre infiniment rigides.

b:Deplacement du a la rotation des des noeuds en fonction de la rigidite reelle des poutres.

c:deplacement, de console du aux deformations axiales relatives des poteaux tendus(ou comprime).

(Il n'est tenue compte de c que si le nombre de niveau est superieur a 15)

D'où

$$R = \frac{T}{(\delta_a + \delta_b)} = R_a ; a = \frac{1}{\delta_a} \text{ et } R = \frac{T}{1 + \frac{\delta_a}{\delta_b}}$$

4 CALCUL DES RIGIDITES

REMARQUE

Le cacule des rigidites dans le cas de notre ouvrage sera presente de la maniere suivante:

-Calcul detaille suivant les etapes de calcul cite precedament pour certains portiques.

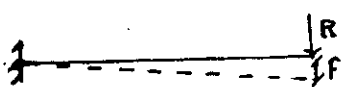
-presentations des resultats sous forme de tableaux.

4.1 BLOC A

4.1.1 SENS LOGITUDINAL

a PORTIQUE 1

Les poteaux d'angles,poteaux autostables ainsi que les poteaux sous fermes sont assimiles a des consoles encastrees a la base et libre en tete.



d'ou d'apres la RDM l'expression de la
fleche

³

$$f = Rh / 3EI$$

pour un deplacement unitaire $f = 1 = Rh / 3EI$
la rigidite ³

$$R = 3EI/h$$

³

Ce portique comporte 9 poteaux

2 poteaux d'angles	35x35 cm ²	d'ou	I ₁ =125052 cm ⁴
6 poteaux autostables	25x25 cm ²	d'ou	I ₁ =65104.17 cm ⁴
1 poteau sous ferme	25x57 cm ²	d'ou	I ₁ =74128.75 cm ⁴

N.B: hauteur moyenne h=6.74m

CALCUL DES RIGIDITES DES POTEAUX

Poteaux d'angles (BA) $r_1=3 EI_{11}/h = 430.07 \text{ kg/cm}^2$

Poteaux autostables(BA) $r_2=3 EI_{12}/h = 223.90 \text{ kg/cm}^2$

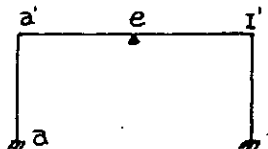
Poteaux sous ferme (BA) $r_3=3 EI_{13}/h = 275.61 \text{ kg/cm}^2$

RIGIDITE DU PORIQUE 1

$$R_1=2r_1+6r_2+r_3=2479.15 \text{ Kg/cm}$$

b RIGIDITE DES PORTIQUES 2,4,6

RAIDEURS DU PORTIQUE



poteaux sous panne (25x53) cm² d'ou I₁₄=310160.42 cm⁴

$$K_{aa}=K_{ii'}=I_{14}/h=460.18 \text{ cm}^3$$

Panne

$$K_{ae}=K_{ei'}=I_{16}/l=101.82 \text{ cm}^3$$

COEFFICIENT K

$$K=(K_{panne}/K_{poteau})=0.221$$

COEFFICIENT CORRECTEUR a

$$a=(0.5+K)/(2+K)=0.325$$

RIGIDITES DES POTEAUX

$$r_{aa'}=r_{ii'}=a \cdot 12 EI_{14}/h = 1497.3 \text{ KG/cm}^4$$

RIGIDITES DES PORTIQUES

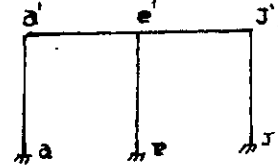
$$R2=R4=R6=2raa'=2r_{ii}'=2994.6 \text{ kg/cm}$$

PORTIQUES AUTOSTABLES 3,5

Poteau sous panne $K_{aa'}=K_{nn'}=I_{14}/h=460.18 \text{ Kg/cm}^3$

Poteau centrale $K_{ee'}=I_{11}/h=185.54 \text{ kg/cm}^3$

Panne $K_{ae'}=K_{ei'}=I_{16}/l=101.82 \text{ Kg/cm}^3$



COEFFICIENT K

$$K_1=(K_{ae'}/K_{aa'})=0.221$$

$$K_2=(2K_{ae'}/K_{ee'})=1.100$$

COEFFICIENT CORRECTEUR a

$$a_1=(0.5+K_1)/(2+K_1)=0.325$$

$$a_2=(0.5+K_2)/(2+K_2)=0.516$$

RIGIDITES DES POTEAUX

Poteau sous panne $r_1=a_1 12 \text{ EI}_{14}/h = 1497.3 \text{ KG/cm}^3$

Poteau centrale $r_2=a_2 12 \text{ EI}_{11}/h = 887.66 \text{ KG/cm}^3$

RIGIDITES DES PORTIQUES

$$R3=R5=2r_1+r_2=3882.26 \text{ Kg/cm}$$

PORTIQUE AUTOSTABLE 7

Poteau sous panne $K_{aa'}=K_{nn'}=I_{14}/h=460.18 \text{ Kg/cm}^3$

Poteau sous ferme $K_{ee'}=I_{13}/h=110.12 \text{ kg/cm}^3$

Panne $K_{ae'}=K_{ei'}=I_{16}/l=101.82 \text{ Kg/cm}^3$

COEFFICIENT K

$$K1 = (Ka'e' / Kaa') = 0.221$$

$$K2 = (2Ka'e' / Kee') = 1.100$$

COEFFICIENT CORRECTEUR a

$$a1 = (0.5 + K1) / (2 + K1) = 0.325$$

$$a2 = (0.5 + K2) / (2 + K2) = 0.516$$

RIGIDITES DES POTEAUX

$$\text{Poteau sous panne } r1 = a1 \frac{3}{12} EI14/h = 1497.3 \text{ KG/cm}^3$$

$$\text{Poteau centrale } r2 = a2 \frac{3}{12} EI11/h = 887.66 \text{ KG/cm}^3$$

RIGIDITES DES PORTIQUES

$$R3 = R5 = 2r1 + r2 = 3882.26 \text{ Kg/cm}^3$$

COEFFICIENT K

$$K1 = (Ka'e' / Kaa') = 0.221$$

$$K2 = (2Ka'e' / Kee') = 1.85$$

COEFFICIENT CORRECTEUR a

$$a1 = (0.5 + K1) / (2 + K1) = 0.325$$

$$a2 = (0.5 + K2) / (2 + K2) = 0.610$$

RIGIDITES DES POTEAUX

$$\text{Poteau sous panne } r1 = a1 \frac{3}{12} EI14/h = 1497.3 \text{ KG/cm}^3$$

$$\text{Poteau sous ferme } r2 = a2 \frac{3}{12} EI13/h = 672.49 \text{ KG/cm}^3$$

RIGIDITES DU PORTIQUE

$$R3 = R5 = 2r1 + r2 = 3667.09 \text{ Kg/cm}^3$$

SENS TRANSVERSAL

PORTIQUES	RIGIDITE POTEAU	RIGIDITE DES PORTIQUE Kg/cm
A et I	sous d'angle panne 430.07 256.27	1967.69
B,C,D,F,G,H	895.6	895.60
E	sous central ferme 2149.09 1140.55	6572.27

RIGIDITE RELATIVE DE NIVEAU DES PORTIQUES ET CONSOLES

REY=15881.25Kg/cm

CENTRE DE TORSION

a CENTRE DE MASSE

XG=20 m L'ouvrage est symetrique dans le sens x)

$$Yg = \sum m_i x_i / \sum m_i = \sum s_i x_i / \sum s_i = 19.8 \text{m}$$

b CENTRE DE TORSION

$$Xc = \sum R_j y x_j / \sum R_j y = 20.00 \text{m}$$

$$Yc = \sum R_j x y_j / \sum R_j x = 18.93 \text{m}$$

c EXCENTRECITE

$$\epsilon_{thy} = Yg - Yc = 0.9 \text{m}$$

$$\epsilon_{thx} = Xg - Xc = 0 \text{ m}$$

L'excentrecite est prise comme etant egale 5% de la plus grande longueur, soit $e_a = 2 \text{m}$.

RIGIDITE RELATIVE DE NIVEAU

$$R_{jx} = R_1 + R_2 + R_3 + R_4 + R_5 + R_6 + R_7$$

$$R_{jx} = 22894.56 \text{ Kg/cm}$$

RIGIDITE A LA TORSION

$$\begin{aligned} R_{j\theta} &= \sum_{j=1}^{10} R_{jy} x_j^2 + \sum_{j=1}^{10} R_{jx} y_j^2 \\ &= 4.83 \cdot 10^6 \text{ Kg/cm}^2 \end{aligned}$$

4.2 RIGIDITES DU BLOC B

SENS TRANSVERSAL

$$R_a = R_c = 8r_1 + r_2 = 1637.76 \text{ Kg/cm}$$

$r_1 = 169.22 \text{ Kg/cm}$: rigidite d'un poteau sous panne

$r_2 = 284.00 \text{ Kg/cm}$: rigidite d'un poteau d'angle

t

$$R_{jy} = 2R_a + R_c = 3866.92 \text{ Kg/cm}$$

SENS LOGITUDINAL

$$R_9 = 715.85 \text{ Kg/cm}$$

$$R_1 = R_2 = \dots = R_8 = 2337.2 \text{ kg/cm}$$

$$R_{jx} = 8R_1 + R_9 = 19413.45 \text{ Kg/cm}$$

CENTRE DE MASSE

$X_g = 6 \text{ m}$ L'ouvrage est symetrique dans le sens x)

$$Y_g = \sum m_i x_i / \sum m_i = \sum s_i x_i / \sum s_i = 17.81 \text{ m}$$

CENTRE DE TORSION

$$X_c = 6.00 \text{ m}$$

$$Y_c = 18.33 \text{ m}$$

EXCENTRECITE

$$\epsilon_{hy} = Y_g - Y_c = 0.51 \text{ m}$$

$$\epsilon_{hx} = X_g - X_c = 0.00 \text{ m}$$

L'excentrecite est prise comme etant egale 5% soit $\epsilon_a = 2 \text{ m}$

RIGIDITE A LA TORSION

$$\begin{aligned} R_{j\theta} &= \sum_{j=1}^{10} R_{jy} x_j^2 + \sum_{j=1}^{10} R_{jx} y_j^2 \\ &= 2.98 \cdot 10^6 \text{ Kg/cm}^2 \end{aligned}$$

REPARTITION DES EFFORTS
AUX DIFFERENTS PORTIQUES

BLOC A

Sous l'action des forces horizontales les efforts tranchants que reçoit chaque portique est donné comme:

$$V_{jx} = \frac{v_{jx}}{\sum R_{j1}} + \frac{y_G y_1 R_{j1}}{R_{j0}} \quad \text{dans le sens longitudinal.}$$

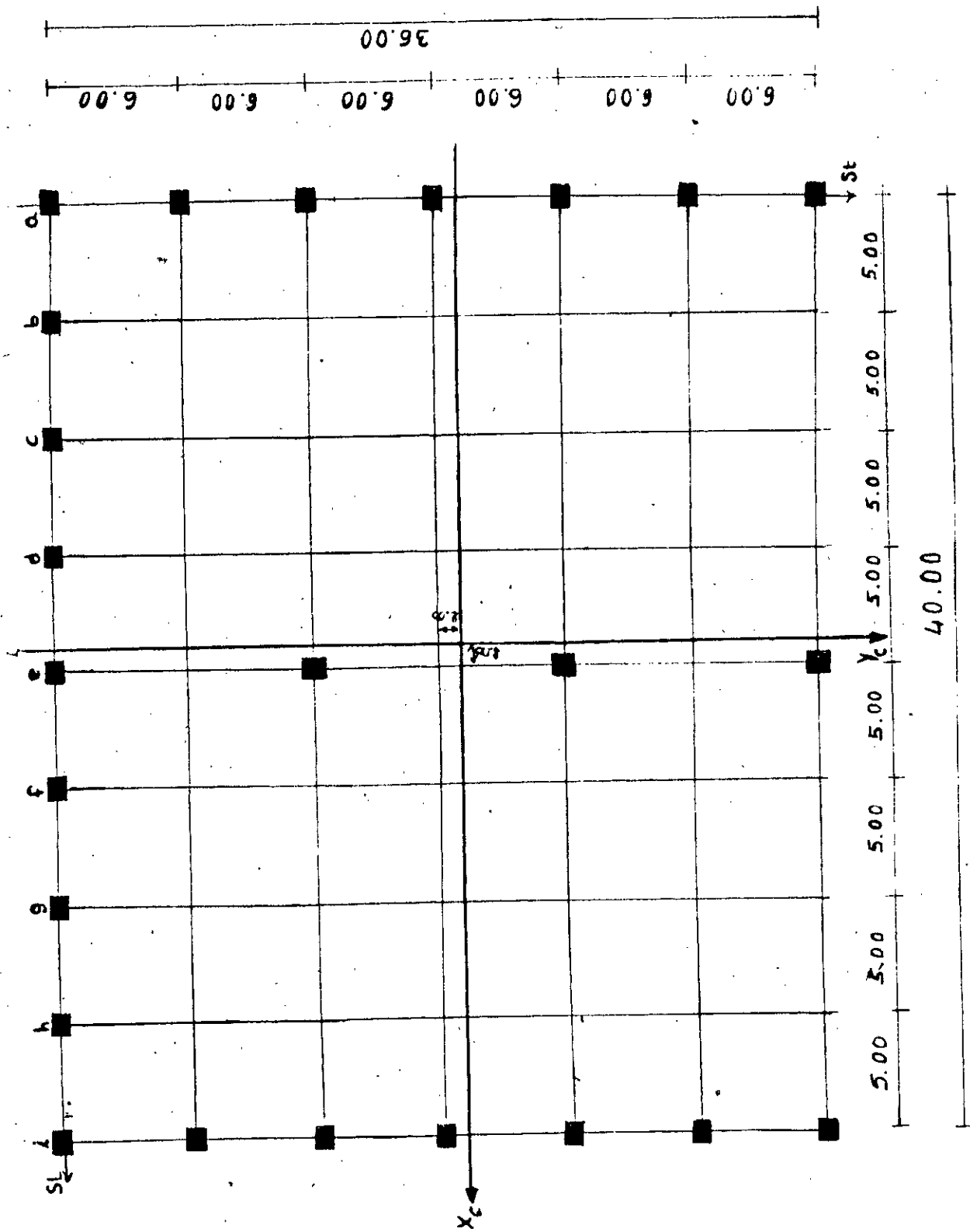
$$V_{jy} = \frac{v_{jy}}{\sum R_{jt}} + \frac{v_{jx}}{R_{j0}} \quad \text{dans le sens transversal.}$$

D'où pour le sens longitudinal
 $y_G = 2m$; $v_{jx} = v_{jy} = 15.15$ T nous avons

FILE	$\frac{R_{j1}}{v_{jx}}$	$\frac{y_G y_1 R_{j1}}{R_{j0}}$	V_{jx}
1	1640.53	-6.61	1633.91
2	1981.61	-5.78	1975.82
3	2569.00	-4.65	2564.35
4	1981.61	-1.39	1980.22
5	2569.61	1.04	2570.05
6	1981.61	3.0	1984.61
7	2426.62	-70.91	2355.70

Repartitions des efforts tranchants dans les poteaux
cas de la file 1
l'effort F_{jx} au niveau du poteau vaut: $F_{jx} = \frac{V_{jx}}{R_j}$
d'où pour:

- Les poteaux d'angle : $F=288.44$ dan
- Les poteaux autostables: $F=147.56$ dan
- Le poteau sous ferme : $F=181.64$ dan



22.a

Pour le sens transversal
 $yG=2m; v_{jx}=v_{jy}=15.15$ T nous avons

FILE	v_{jy}	v_{jx}	yG	y_1	R_{jt}	V_{jy}
					ΣR_{jt}	$R_{j\theta}$
a	1302.08		-4.33		1297.74	
b	592.64		-1.42		591.22	
c	592.64		-0.88		591.77	
d	592.64		-0.33		592.32	
e	4353.69		1.69		4355.31	
f	592.64		0.77		593.41	
g	593.64		1.31		593.96	
h	592.64		1.87		594.51	
i	1302.08		5.29		1307.37	

Repartitions des efforts tranchants dans les poteaux
cas de la file a

l'effort F_{jx} au niveau du poteau vaut: $F_{jx}=V_{jx} \frac{r_j}{R_j}$
d'où pour:

-Les poteaux d'angle : $F=283.64$ dan

-Les poteaux sous panne : $F=987.51$ dan

cas de la file i

d'où pour:

-Les poteaux d'angle : $F=285.64$ dan

-Les poteaux sous panne : $F=994.83$ dan

BLOC B

Les efforts lateraux dans ce bloc valent
 $V_x = V_y = 10.32T$

les forces laterales sont distribuees sur la hauteur de la structure selon la formule:

$$(V - F_t) W_k h_k$$

$$F_k = \frac{W_k h_k}{W_i h_i}$$

avec $F_t = 0$ car $T_{max} = 0.203$ sec < 0.7 sec.

NIVEAU	h	Wk	Wk h_k	$\Sigma W_k h_k$	F_k
		dan	dan.m	dan.m	dan
1	6.10	83.98 10	512.3 10	850.5 10	6.36 10
2	8.55	37.22 10	318.2 10	830.5 10	3.95 10

Effort tranchant d'etage

niveau 1: $1 = 10.31 \frac{3}{10}$ dan

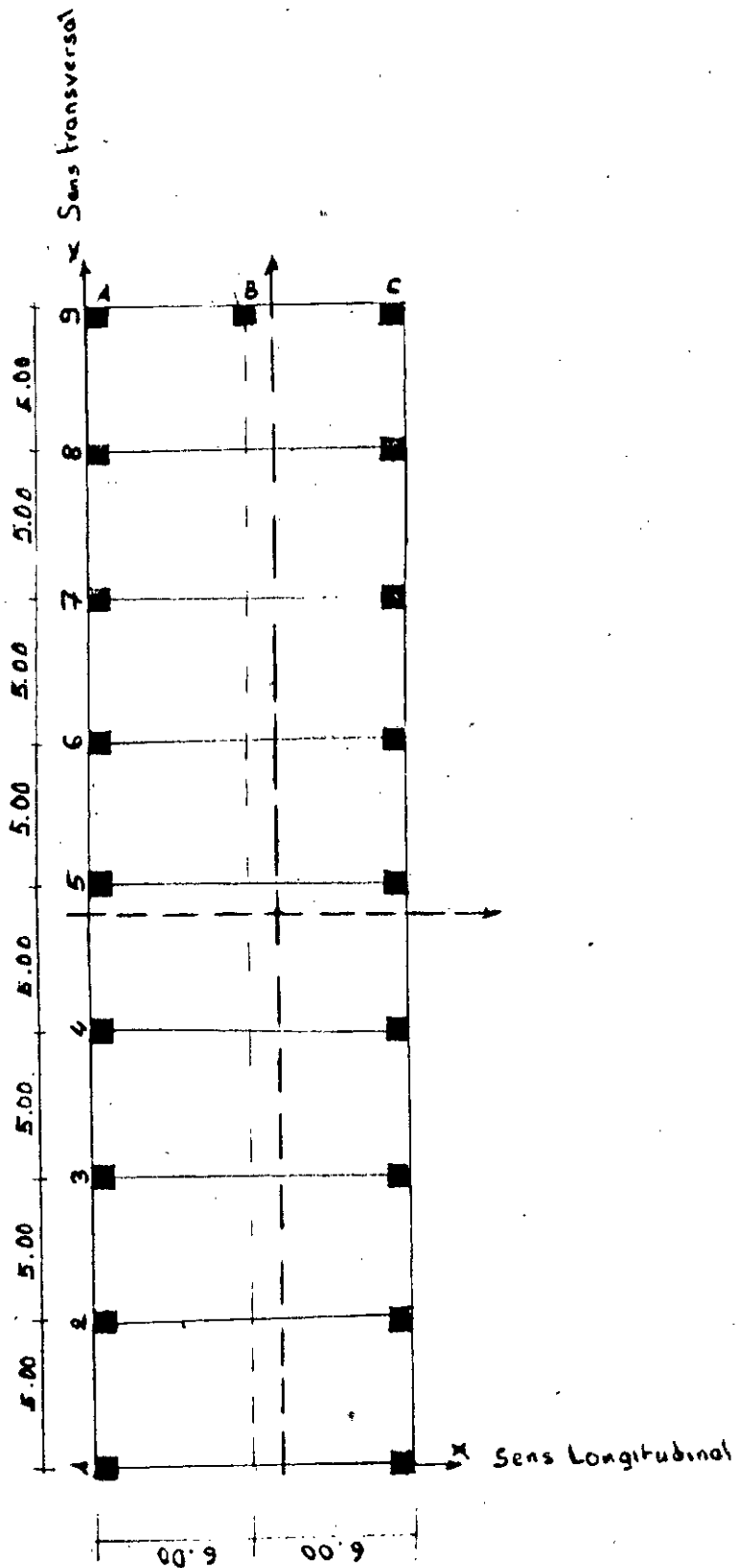
niveau 2: $2 = 6.36 \frac{3}{10}$ dan

Distribution de la force sismique aux differents portiques et consoles

N.B: le cas etudier est celui des files les plus sollicitees.
 sens longitudinal

FILE	NIV	R _{j1} ΣR_{j1}	y _G y ₁ ΣR_{j0}	R _{j1} ΣR_{j0}	V _{jx}
1	1	3118.74	0.75	3119.15	
1	2	1922.02	0.83	1922.02	
9	1	955.22	0.50	955.73	
9	2	588.68	0.31	588.61	

BLOC B



Repartition des efforts tranchants dans les poteaux
cas de la file 9 rj
l'effort F_{Jx} au niveau du poteau vaut: $F_{Jx}=V_{Jx}$
d'où pour: Rj

-Les poteaux d'angle niveau 1 : $F=955.73$ dan

-Les poteaux d'angle niveau 2 : $F=243.17$ dan

-Les poteaux autostables : $F=121.58$ dan

sens transversal

FILE	NIV	Rjt	yG	y1	Rjt	Vjx
		vjy		vjx		
		ΣRjt		$Rj\theta$		

1	851.03	0.09	851.11
---	--------	------	--------

a

2	524.47	0.06	524.47
---	--------	------	--------

1	789.12	-1.60	789.12
---	--------	-------	--------

b

2	486.32	0.25	486.32
---	--------	------	--------

Repartitions des efforts tranchants dans les poteaux
cas de la file a rj

l'effort F_{Jx} au niveau du poteau vaut: $F_{Jx}=V_{Jx}$
d'où pour:

-Les poteaux d'angle niveau 1 : $F=147.60$ dan

-Les poteaux d'angle niveau 2 : $F= 94.07$ dan

-Les poteaux sous pannes niveau 1: $F= 87.94$ dan

-Les poteaux sous pannes niveau 2: $F= 56.05$ dan

ETUDE AU VENT.

ETUDE AU VENT

1 INTRODUCTION

La determination des action climatique, se fait conformement au reglement en vigueur en ALGERIE, a savoir les regles NEIGE ET VENT 1965.

2 GENERALITES

Il est admis que le vent peut venir de n'importe quel cote, mais qu'il a une direction d'ensemble moyenne horizontale. Pour une direction donnee, les face de la construction situees d'o vient le vent, sont dites "AU VENT", les autres, y compris les faces pour lesquelles le vent est rasant, sont dites "Sous LE VENT".

3 CARACTERISTIQUES DU VENT

Un vent de vitesse V (m/s) exerce sur une paroi plane perpendiculaire a sa direction, une pression dite dynamique:

$$q = \frac{V^2}{16.3} \text{ kg/m}^2$$

Les regles fixent pour chaque region, une pression dynamique de base normale, et pression dynamique extreme.

4 EVALUATION DE LA PRESSION DYNAMIQUE DE BASE

La zone de ROUIBA, peut etre classe en region II, l'altitude de cette zone est de 13m, elle est inferieur a 1000m d'où: La pression dynamique de base est egale a 70 dan/m^2 (art-1-2-32 NV65 Tab III);

$$q = \frac{70}{10} \text{ dan/m}^2$$

N.B: Cette pression est celle qui prevaut, pour une hauteur de 10m.

5 MODIFICATION DE LA PRESSION DYNAMIQUE DE BASE

5.1 EFFET DE LA HAUTEUR

$$\text{Pour une hauteur } H \\ q = \frac{2.5}{H} q_0 \quad q_0 = \frac{70}{10} \text{ dan/m}^2$$

D'où pour:

$$\text{Le bloc A: } H=6.94m \quad q = \frac{67.61}{6.94} \text{ dan/m}^2$$

$$\text{Le bloc b: } H=8.60m \quad q = \frac{69.15}{8.60} \text{ dan/m}^2$$

5.2 EFFET DE SITE

Le site est normal, car le projet s'installe sur une plaine de grande étendue; $K_s=1$.

5.3 EFFET DE MASQUE

Le cas considéré est le plus défavorable $K_m=1$.

5.4 EFFET DE DIMENSION

Le coefficient de dimension δ est donné par le diagramme R.III.2 (NV65), il est en fonction de la hauteur H , et de la plus grande dimension offerte au vent.

Pour

-Le bloc A: $H_{max}=6.94m$; $H_{max}<30m$ d'où $\delta=0.84$.

-Le bloc b: $H_{max}=8.60m$; $H_{max}<30m$ d'où $\delta=0.84$.

-Les toitures $H<30m$ pour les deux blocs

*Bloc A: $L=36m$ d'où $\delta=0.76$.

*Bloc b: $L=12m$ d'où $\delta=0.80$.

5.5 PRESSION DYNAMIQUE

Elle est évaluée par la formule suivante
$$q = K_s \frac{K_m}{H} \delta q$$

D'où pour

Bloc A: parois:

$$q_A = 57 \frac{\text{dan/m}}{\text{H}}; K_s=1; K_m=1; \delta=0.84; q = 67.61 \frac{\text{kg/m}^2}{\text{H}}$$

Toiture:

$$q'_A = 57 \frac{\text{dan/m}}{\text{H}}; K_s=1; K_m=1; \delta=0.76; q = 67.61 \frac{\text{kg/m}^2}{\text{H}}$$

Bloc B: parois:

$$q_B = 58 \frac{\text{dan/m}}{\text{H}}; K_s=1; K_m=1; \delta=0.84; q = 69.15 \frac{\text{kg/m}^2}{\text{H}}$$

Toiture:

$$q'_B = 56 \frac{\text{dan/m}}{\text{H}}; K_s=1; K_m=1; \delta=0.76; q = 69.15 \frac{\text{kg/m}^2}{\text{H}}$$

6 ACTIONS STATIQUE ET LEURS RESULTANTES

Pour toute construction, la face extérieure de ses parois, est soumise à des succions, si les parois sont sous le vent, et à des pressions si elles sont au vent. Ces actions sont dites "ACTION EXTERIEURES".

Dans les constructions fermées, ouvertes, ou partiellement ouvertes, les volumes intérieurs, compris entre les parois, peuvent être, dans un état de surpression, ou de dépression, suivant l'orientation des ouvertures par rapport au vent, et leurs importance relative.

Il en résulte sur les faces intérieures, des actions dites "ACTIONS INTERIEURES". Les actions extérieures sont caractérisées par le coefficient C_e , celle intérieures par le coefficient C_i .

6.1 BLOC A

6.1.1 ACTIONS EXTERIEURES

Notre bâtiment est prismatique, à base rectangulaire, reposant sur le sol.

6.1.1.1 ACTIONS MOYENNES

Sur les parois verticales, nous n'envisageons que le cas du vent normal.

-Face au vent : $C_e = 0.8$

-Face sous le vent : $C_e = -1.3(\gamma_0 - 0.8)$

6.1.1.1.1 DETERMINATION DU COEFFICIENT α (R.III.5)

Le bloc A est composé de quatre sous blocs, à toitures multiples, séparées par des joints de dilatation.

Evaluons en premier lieu les rapports de dimensions λ

$$\lambda_a = \frac{H}{a} = \frac{6.94}{40.14} = 0.17; \lambda_a < 0.5.$$

$$\lambda_b = \frac{H}{b} = \frac{6.94}{36.28} = 0.20; \lambda_b < 0.5.$$

Donc pour les deux faces $\gamma_0 = 0.85$.

Pour les toitures, la flèche f étant inférieure à la moitié de la hauteur H , C_e est en fonction de α , l'angle de la toiture, et de γ_0 .

Aussi les actions extérieures sont :

PAROIS VERTICALES C_e

FACE AU VENT 0.8

FACE SOUS LE VENT -0.3

α° C_e

TOITURES

VENT PERPENDICULAIRE	2.86	VERSANT AU VENT	-0.32
AUX GENERATRICES		VERSANT SOUS LE VENT	-0.25

VENT PARALLELE	0.00		
AU GENERATRICES			-0.28

6.1.2 ACTIONS INTERIEURES

Les actions interieures sont determinees en fonction de la permeabilite μ de chaque paroi.

6.1.2.1 CALCUL DES PERMEABILITES

La permeabilite μ d'une paroi est definie comme suit: $S_o = \frac{\mu}{S_t} \cdot 10^2$ ou

S_t

S_o : Est la surface des ouvertures sur la paroi consideree.

S_t : Est la surface totale de la paroi consideree.

-La paroi AB est consideree comme totalement fermee.

-Les parois CD et AD sont considerees comme totalement fermee(a cause des joints de dilatations).

-Pour la paroi BC

$S_t = 306.2 \text{ m}^2$

$S_o = 24 \text{ m}^2$

$$\mu = 0.078 \cdot 10^2 \text{ d'o } \mu = 7.8$$

BC

6.1.2.2 CALCUL DES ACTIONS INTERIEURES

*Pour une paroi ouverte au vent :

-Pour les parois fermees $C_i = 0.8$

-Pour la paroi ouverte $C_i = 0.6(1.3\% - 0.8)$

D'o pour BC $C_i = 0.18$, nous prenons $C_i = 0.2$

*Pour une parois ouverte

sous le vent , parallele au vent:

-Pour les parois fermees $C_i = -(1.3\% - 0.8)$ d'o
 $C_i = -0.305$

-Pour les parois ouvertes $C_i = -0.6(1.8 - 1.3\%)$ d'o
 $C_i = -0.42$

*Pour une construction fermee,nous avons soit:

-une surpression $C_i = 0.6(1.8 - 1.3\%)$ d'o $C_i = 0.42$

-une depression $C_i = -0.6(1.3\% - 0.8)$ d'o $C_i = -0.18$, le C_i dans ce cas est egale a $C_i = -0.2$

6.1.2.3 INTERPOLATION LINEAIRE POUR LA PAROI AYANT $u=8$

DIRECTION DU VENT	INTER- POLATION	ACTION INTERIEURE
PAROI PARTIEL- -LEMENT OUVERTE AU VENT		PAROI BC $C_i = 0.2$ PAROI AB, CD AD: $C_i = 0.42 + (0.8 - 0.42)x$ $(8-5)$ $(35-5)$ $C_i = 0.46$
DIRECTION DU VENT	INTER- POLATION	ACTION INTERIEURE

DIRECTION DU VENT	INTER- POLATION	ACTION INTERIEURE
PAROI PARTIEL- -LEMENT OUVERTE SOUS LE VENT		PAROI AB, CD, AD $C_i = -0.3$ PAROI BC $C_i = 0.42$
DIRECTION DU VENT	INTER- POLATION	ACTION INTERIEURE

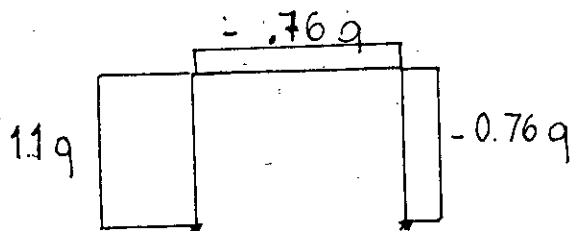
RECAPITULATIF

ACTIONS INTERIEURES ET EXTERIEURES

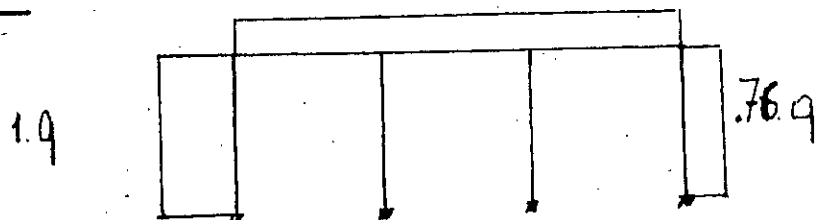
DIRECTION DU VENT	PAROI BC $u=8$	PAROI FERMEE AB,AD,CD	VERSANT DE TOITURE
PAROI BC AU VENT $u=8$	Ce=0.8	Ci=-0.2	Ce=-0.3 Ce=-0.3 Ci=0.46
PAROI PARTIEL- LEMENT OUVERTE	Ci=0.42	Ce=0.8 PAROI SOUS LE VENT	Ce=-0.32 Ce=-0.25 Ci=-0.3
PARALLELE AU VENT	Ce=-0.3	Ce=-0.3	Ce=-0.32

RESUME

SENS LONGITUDINALE



SENS TRANSVERSALE



ACTION A RETENIR

	PAROI BC	PAROI AB,CD,AD	VERSANT DE TOITURE 1-2,2-3,3-4
PRESSION	C=1	C=1.1	-Pas de pression -C=0.05 -Pas de pression
SUCCION	C=-0.72	C=-0.72	-C=-0.76 -C=-0.76 -C=-0.76

6.2 BLOC B

Le bloc B est compose de deux sous bloc, a toitures multiples, separees par un joint de dilatation.

6.2.1 COEFFICIENT χ_0

$$\begin{aligned} h &= 8.60 \\ \lambda_a &= 0.214; \lambda_a < 0.5 \text{ d'ou } \chi_{oa}=1 \\ a &= 40.14 \\ h &= 8.60 \\ \lambda_b &= 0.716; \lambda_b > 0.5 \text{ d'ou } \chi_{ob}=0.85 \\ b &= 12.00 \end{aligned}$$

6.2.2 ACTIONS EXTERIEURES

6.2.2.1 PAROIS VERTICALES

-Face au vent $C_e = 0.8$

-Face sous le vent $C_e = -(1.3\chi_0 - 0.8)$ d'ou :

* $S_a: C_e = -0.5$

* $S_b: C_e = -0.3$

6.2.2.2 TOITURES

H -Vent perpendiculaire au generatrices
 $f < 2$ d'ou C_e est en fonction de α et de χ

DIRECTION DU VENT	α°	C_e
VENT PERPENDICULAIRE AUX GENERATRICES	2.86	VERSANT AU VENT -0.32
-RICE		VERSANT SOUS LE VENT -0.25
VENT PARALELLE AUX GENERATRICES	0	-0.5

6.2.3 ACTIONS INTERIEURES

Toutes les parois sont considerees fermer ou assimilee comme tel

VENT PERPENDICULAIRE A S_b

Nous avons soit une surpression

$C_i = 0.6(1.8 - 1.3\chi_{ob}) ; C_i = 0.42$

soit une depression

$C_i = -0.6(-1.3\chi_{ob} - 0.8) ; C_i = -0.18$ la valeur prise est $C_i = -0.2$

VENT PERPENDICULAIRE A Sa

De même nous avons

soit:

- Une surpression $C_i=0.3$
- Une dépression $C_i=-0.3$

ACTION A RETENIR POUR LE CALCUL

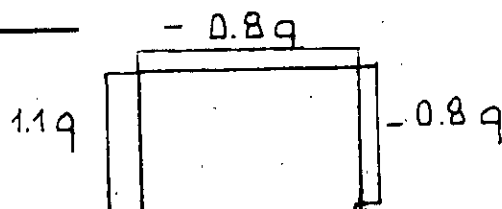
-Paroi verticale $C=1.1$

-Facades $C=-0.8$

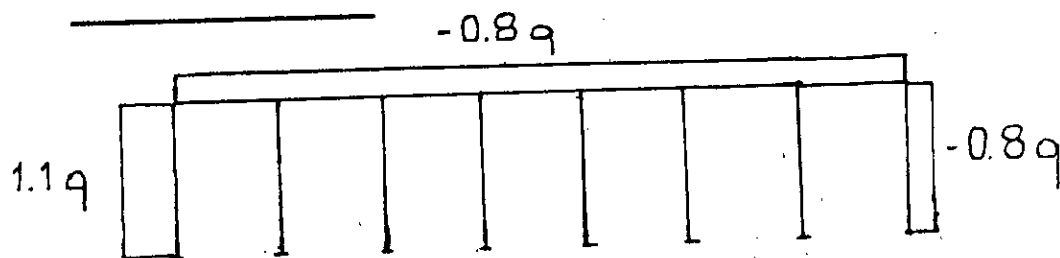
-Versants de toiture $C=-0.8$

RESUME

SENS LONGITUDINAL



SENS TRANSVERSAL



7 ACTIONS D'ENSEMBLES

7.1 BLOC a

Données

$$a=40.41\text{m} \quad f=0.60\text{m}$$

$$b=12.00\text{m} \quad \lambda_a=0.21\text{m}$$

$$h=6.94\text{m} \quad \lambda_b=0.23\text{m}$$

$$\alpha_1 = \alpha_2 = 2.89^\circ$$

7.1.1 VENT SUR LA FACE Sa

NORMALE AU FAITAGE

7.1.1.1 ACTION DE RENVERSEMENT

$$T = T_1 + T_2 + T_3$$

$h-f$

$$*T_1 = 1.1(h-f) aq$$

o

$$= 20721.58 \text{ dan}$$

h

$$*T_2 = (0.76 + 0.76) faq$$

$h-f$

$$= 2447.57 \text{ dan}$$

b

$$*T_3 = 0.3 - \frac{aq}{3h}$$

$$= 9818.76 \text{ dan}$$

Donc

$$T = 32997.81 \text{ dan}$$

T₁: Sur la face verticale

T₂: Sur le premier et le dernier versant

T₃: Force d'entrainement

7.1.1.2 ACTIONS DE SOULEVEMENT

Elle est la somme de la composante U₁ des actions extérieures sur le premier et dernier versant, et de la composante U₂ des actions intérieures (surpression ou dépression) et peut prendre deux valeurs:

U' = U₁ + U'₂ Provocant un soulevement

U" = U₁ + U"₂ S'ajoutant au poids propre

b h

$$U_1 = -2 \frac{0.32-aq}{3h-f} = -20798.96 \text{ dan}$$

3 $h-f$

b h

$$U'_2 = -0.76 - 2aq = -49395.21 \text{ dan}$$

3 $h-f$

$$U''_2 = U'' = 0$$

$$U' = 70194.17 \text{ dan}$$

7.1.2 VENT SUR S_b PARALLELE AU FAITAGE

7.1.2.1 ACTION DE RENVERSEMENT

$$T = 1.3haq \quad \text{Sur les pignons}$$

o

$$= 29910.55 \text{ dan}$$

7.1.2.2 ACTION DE SOULEVEMENT

$$U = -0.8abq$$

$h-f$

$$= 26473.13 \text{ dan}$$

7.2 VENT SUR Sb NORMAL AU FAITAGE

7.2.1 ACTION DE RENVERSEMENT

$$T = T_1 + T_2 + T_3$$

h-f

$$*T_1 = 1.1(h-f)bq$$

o

$$= 7086.46 \text{ dan}$$

h

$$*T_2 = (0.32 + 0.25)fbq$$

h-f

$$= 281.94 \text{ dan}$$

1

$$*T_3 = (0.001x1 + 0.02) \frac{1}{2} baq$$

2 h

$$= 499.62 \text{ dan}$$

T1: Sur la face verticale

T2: Sur le premier et le dernier versant

T3: Force d'entraînement

$$T = 7868.02 \text{ dan}$$

7.2.2 ACTION DE SOULEVEMENT

Nous avons deux valeurs

$$U' = U_1 + U_2$$

$$U'' = U_1 + U_2$$

a a h

$$*U_1 = (-0.32 - 0.25) \frac{a}{4} \frac{a}{4} \frac{h}{h-f} = -4963.71 \text{ dan}$$

a h

$$*U_2 = -0.42 \frac{a}{4} \frac{h}{h-f} = -13891.44 \text{ dan}$$

a h

$$*U'' = 0.20 \frac{a}{4} \frac{h}{h-f} = 6614.97 \text{ dan}$$

$$U' = -18855.15 \text{ dan}$$

$$U'' = 1651.26 \text{ dan}$$

8 ACTIONS DYNAMIQUES

8.1 BLOC A

DONNES a=40.14m; b=36.18m
 h= 8.44m; g_{oa}=g_{ob}=0.85

8.1.1 ACTION PARALLELE A LA DIRECTION DU VENT

$$T = 0.10 \frac{h}{a} = 0.11 \text{ sec}$$

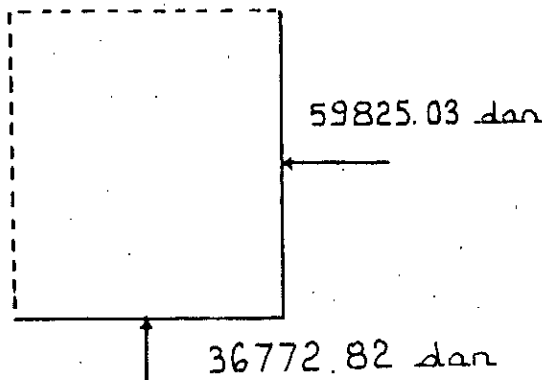
/
\\ a

$$B = \theta(1 + \xi \zeta) \text{ ou } \zeta = 0.1 \text{ et } \zeta = 0.36 \text{ et } \theta = 1$$

$$B = 1.036$$

8.1.2 CAS DE SURCHARGES EXTREMES

Force perpendiculaire au pignons	Th=32997.81 dan
Vent extreme (qe=1.75qn)	Te=1.75Th=57746.17dan
Action dynamique du vent extreme	Td=βTe=59825.029 dan
Force perpendiculaire au pignons	Th=20282.86 dan
Vent extreme (qe=1.75qn)	Te=1.75Th=35495.005dan
Action dynamique du vent extreme	Td=βTe=36772.82 dan



8.1.3 ACTION PERPENDICULAIR A LA DIRECTION DU VENT

Determination
de la vitesse critique a
Vcr= — ou a=40.14m; T=0.11m; S=0.28
S T S:Nombre de
Strouhal (0.25 < s < 0.3).
Vcr=955.71m/S; Vcr>25 m/s Il est inutile de faire un calcul a la resonance.

8.2 BLOC B

DONNES a=40.14m; b=12.00m
h= 8.60m; θa=1 : θb=0.85

8.2.1 ACTION PARALLELE A LA DIRECTION DU VENT

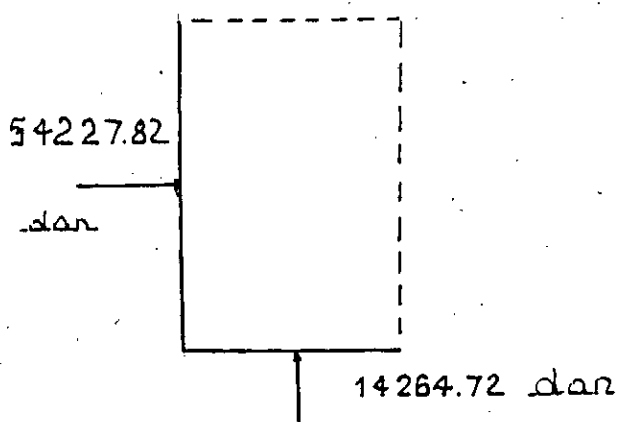
$$T=0.10 \frac{h}{a} = 0.13 \text{ sec}$$

$$\sqrt{\frac{h}{a}}$$

$$\beta=\theta(1+\xi) \quad \text{ou} \quad \xi=0.1 \text{ et } \xi=0.36 \text{ et } \theta=1$$
$$\beta=1.036$$

8.2.2 CAS DE SURCHARGES EXTREMES

Force perpendiculaire au pignons Vent extreme ($q_e=1.75q_n$) Action dynamique du vent extreme	$Th=29910.55 \text{ dan}$ $Te=1.75Th=52343.46\text{dan}$ $Td=\beta Te=54227.820 \text{ dan}$
Force perpendiculaire au pignons Vent extreme ($q_e=1.75q_n$) Action dynamique du vent extreme	$Th=7868.02 \text{ dan}$ $Te=1.75Th=13679.039\text{dan}$ $Td=\beta Te=14264.72 \text{ dan}$

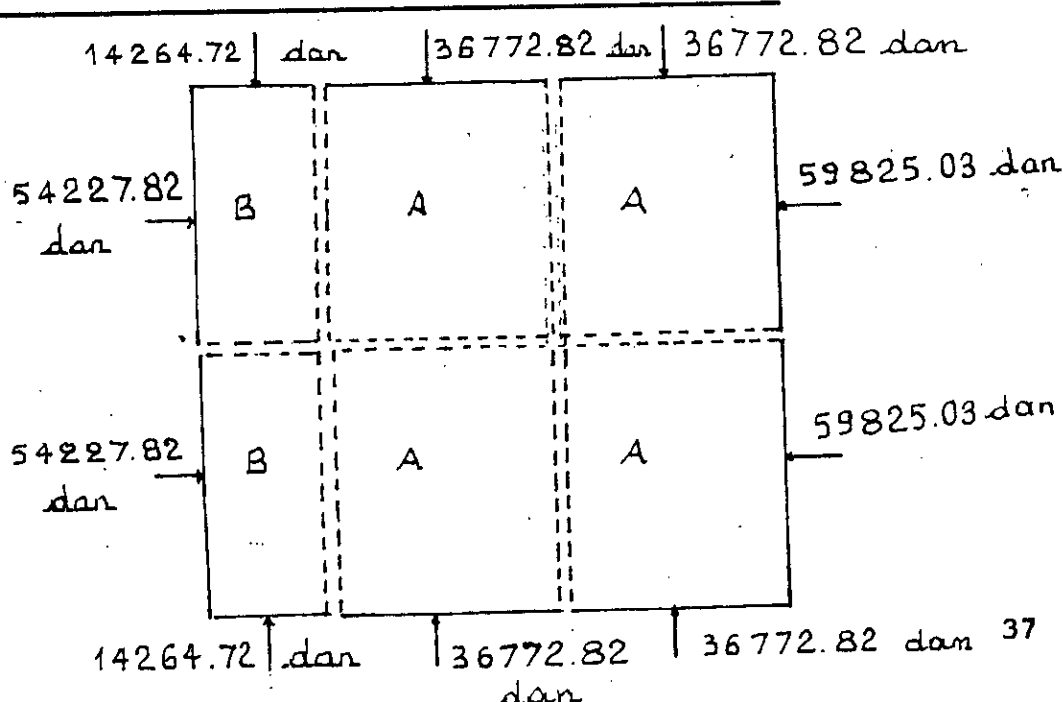


8.2.3 ACTION PERPENDICULAIRE A LA DIRECTION DU VENT

Determination de la vitesse critique a
 $V_{cr} = \frac{a}{ST}$ ou a=40.14m; T=0.13m; S=0.28
 $S: \text{Nombre de Strouhal } (0.25 < s < 0.3)$.

$V_{cr}=954.71\text{m/S}$; $V_{cr}>25 \text{ m/s}$ Il est inutile de faire un calcul à la résonnance

8.3 ACTIONS DYNAMIQUES POUR TOUT L'OUVRAGE



SOLICITATIONS

LOGICIEL SAP80

INTRODUCTION

Le logiciel SAPIV a été réalisé depuis plus d'une décennie et représentait le sommet de l'art en ce moment.

Depuis sa réalisation de grands progrès ont été réalisés dans les domaines de l'analyse numérique de mécanique des structures et de l'informatique, ce sont ces progrès qui ont permis le développement du SAP80.

La série de programmes qui forment le SAP 80 est complètement nouvelles comparativement à celle écrite par l'auteur de la série originelle du SAP IV, la formulation des éléments, les équations de résolution sont toutes nouvelles.

Le SAP80 est un outil performant s'intégrant avec le niveau actuel de la technique et de la technologie, le SAP80 est appelé à être remanié pour rester à jour et suivre le développement de la technique pour les années à venir et garder son niveau de bonne performance.

Le développement du programme a été fait en FORTRAN 77 ce qui garantie une grande souplesse d'utilisation ainsi ce logiciel peut être exploité sur un micro-ordinateur, un mini-ordinateur ou un gros système.

Ce programme permet l'analyse statique et dynamique des systèmes que l'on veuille réaliser l'une ou l'autre ou les deux simultanément, aussi les combinaisons de chargement peuvent inclure tous les résultats du chargement statique que dynamique.

Toutes les données nécessaires pour l'analyse de structures sont exploitées par le programme grâce à un fichier de données en format libre, de plus des possibilités de définitions de données par génération CAD d'une manière implicite existe pour faciliter l'analyse de structure grande ou complexe.

La possibilité de tracer la déformée et non déformée de la structure existe tant pour vérifier les données définissant le modèle géométrique de la structure que pour étudier son comportement structurale.

OPTIONS ANALYTIQUE DU SAP 80

ANALYSE STATIQUE

L'analyse statique du système consiste dans la résolution d'un système d'équation linéaire représenté par: $KU=R$ où K est la matrice de rigidité

U est le vecteur des déplacements résultant

R est le vecteur des forces appliquées

La structure peut être analysée pour différentes charges dans une seule exécution néanmoins il y a un nombre limité pour les conditions de chargement qui peuvent exister dans une seule exécution.

PORTIQUE PANNE A APPUI SIMPLE SOUS G,Q,N,W,E
 SYSTEM
 N=5 L=7 :NOMBRE DE NOEUD ET CONDITIONS DE CHARGEMENT
 JOINTS
 1 X=0.0 Y=0.0 :COORDONNES DES ELTS
 2 X=0.0 Y=6.99
 3 X=19.765 Y=6.99
 4 X=39.53 Y=6.99
 5 X=39.53 Y=0.0

RESTRAINTS
 1,5,4 R=1,1,1,1,1,1 :DEGRES DE LIBERTES
 2,4,2 R=0,0,1,1,1,0
 3 R=0,1,1,1,1,0

FRAME
 NM=2 NL=6
 1 A=638E-4 I=201256E-8 E=3.79E6:POUTRE EN BP
 2 A=1325E-4 I=310160E-8 E=3.79E6:POTEAU EN BP
 1 WL=0,-.186
 2 WL=0,-.060
 3 WL=0,-.144
 4 WL=-.237
 5 WL=.376
 6 WL=-.259
 1,1,2 M=2 NSL=5 LP=1,0
 2,2,3 M=1 NSL=1,2,3,4
 3,3,4 M=1 NSL=1,2,3,4
 4,4,5 M=2 NSL=6

LOADS
 2 F=1.98 L=7

COMBO

1 C=1	:G
2 C=0,1	:Q
3 C=0,0,1	:N
4 C=1.35,1,1.5	:ELU
5 C=1,1,1	:ELS
6 C=0,0,0,1,1	:W
7 C=0,0,0;0,0,0,1	:E
9 C=1,1,1,0,0,0,1.2	:ELU.E
10 C=1,1,1,.8,.8	:ELS.W
11 C=1,1,1,0,0,0,.8	:ELS.E
12 C=1.35,1,1.5,1.2,1.2	:ELU
13 C=1.35,1,1.5,1.2,0,1.2	
14 C=1.35,1,1.5,0,0,0,1.2	
15 C=1,1,1,.8,0,.8	
16 C=1,1,1,1.2,0,1.2	
17 C=0,0,0,0,1	

PORTIQUE PANNE A APPUI SIMPLE SOUS G,Q,N,W,E

F R A M E E L E M E N T F O R C E S

ELT LOAD ID COMB	AXIAL DIST FORCE ENDI	1-2 PLANE		POTEAU 1
		SHEAR	MOMENT	
1	- .44			
	.0	-1.04	2.39	
	7.0	-1.04	-4.90	
2	- .56			
	.0	- .34	.77	
	7.0	- .34	-1.58	
3	-1.36			
	.0	- .81	1.85	
	7.0	- .81	-3.79	
4	-3.19			
	.0	-2.96	6.77	
	7.0	-2.96	-13.89	
5	-2.36			
	.0	-2.19	5.01	
	7.0	-2.19	-10.28	
6	- .34			
	.0	-4.68	26.07	
	7.0	-4.68	-6.68	
7	.07			
	.0	1.00	-5.58	
	7.0	1.00	1.43	
8	-2.76			
	.0	-7.61	36.29	
	7.0	-7.81	-18.29	
9	-2.27			
	.0	- .98	-1.68	
	7.0	- .98	-8.56	
10	-2.63			
	.0	-5.93	25.86	
	7.0	-5.93	-15.62	
11	-2.30			
	.0	-1.38	.55	
	7.0	-1.38	-9.13	
13	-3.59			
	.0	-8.58	38.05	
	7.0	-8.58	-21.90	
14	-3.10			
	.0	-1.75	.08	
	7.0	-1.75	-12.17	
15	-2.63			
	.0	-5.93	25.86	
	7.0	-5.93	-15.62	
16	-2.76			
	.0	-7.81	36.29	
	7.0	-7.81	-18.29	

1	-1.04	.0	1.75	-4.90
		9.4	.00	3.34
		19.8	-1.93	-6.63
2	-.34	.0	.56	-1.58
		9.4	.00	1.08
		19.8	-.62	-2.14
3	-.81	.0	1.36	-3.79
		9.4	.00	2.58
		19.8	-1.49	-5.14
4	-2.96	.0	4.96	-13.89
		9.4	.00	9.45
		19.8	-5.46	-18.80
5	-2.19	.0	3.67	-10.28
		9.4	.00	7.00
		19.8	-4.04	-13.91
6	-2.34	.0	.34	-6.68
		19.8	.34	.00
7	-.98	.0	-.07	1.43
		19.8	-.07	-.01
8	-5.00	.0	4.08	-18.29
		10.5	.00	3.01
		19.8	-3.63	-13.91
9	-3.36	.0	3.58	-8.56
		9.2	.00	7.90
		19.8	-4.13	-13.92
10	-4.06	.0	3.94	-15.62
		10.1	.00	4.29
		19.8	-3.77	-13.91
11	-2.97	.0	3.61	-9.13
		9.3	.00	7.60
		19.8	-4.10	-13.92
12	-5.77	.0	5.37	-21.90
		10.2	.00	5.41
		19.8	-5.05	-18.80
14	-4.13	.0	4.87	-12.17
		9.2	.00	10.36
		19.8	-5.55	-18.81
15	-4.06	.0	3.94	-15.62
		10.1	.00	4.29
		19.8	-3.77	-13.91
16	-5.00	.0	4.08	-18.29
		10.5	.00	3.01
		19.8	-3.63	-13.91

1	-1.04			
	.0	1.93	-6.63	
	10.4	.00	3.34	
	19.8	-1.75	-4.90	
2	-.34			
	.0	.62	-2.14	
	10.4	.00	1.08	
	19.8	-.56	-1.58	
3	-.81			
	.0	1.49	-5.14	
	10.4	.00	2.58	
	19.8	-1.36	-3.79	
4	-2.96			
	.0	5.46	-18.80	
	10.4	.00	9.46	
	19.8	-4.96	-13.89	
5	-2.19			
	.0	4.04	-13.91	
	10.4	.00	7.00	
	19.8	-3.67	-10.27	
6	2.34			
	.0	.34	.00	
	19.8	.34	6.68	
7	-.98			
	.0	-.07	-.01	
	19.8	-.07	-1.39	
8	.62			
	.0	4.44	-13.91	
	11.4	.00	11.40	
	19.8	-3.26	-2.26	
9	-3.36			
	.0	3.95	-13.92	
	10.1	.00	6.13	
	19.8	-3.75	-11.94	
10	-.31			
	.0	4.31	-13.91	
	11.0	.00	9.89	
	19.8	-3.40	-4.93	
11	-2.97			
	.0	3.98	-13.92	
	10.2	.00	6.41	
	19.8	-3.73	-11.39	
13	-.14			
	.0	5.86	-18.80	
	11.1	.00	13.81	
	19.8	-4.56	-5.88	
14	-4.13			
	.0	5.37	-18.81	
	10.2	.00	8.58	
	19.8	-5.04	-15.55	
15	-.31			
	.0	4.31	-13.91	
	11.0	.00	9.89	
	19.8	-3.40	-4.93	
16	.62			
	.0	4.44	-13.91	
	11.4	.00	11.40	
	19.8	-3.26	-2.26	

1	-.85	.0	1.04	-4.90
		7.0	1.04	2.39
2	-.56	.0	.34	-1.58
		7.0	.34	.77
3	-1.36	.0	.81	-3.79
		7.0	.81	1.85
4	-3.74	.0	2.96	-13.89
		7.0	2.96	6.77
5	-2.77	.0	2.19	-10.27
		7.0	2.19	5.01
6	.34	.0	-4.68	6.68
		7.0	-4.68	-26.07
7	-.07	.0	.98	-1.39
		7.0	.98	5.44
8	-2.36	.0	-3.43	-2.26
		7.0	-3.43	-26.27
9	-2.85	.0	3.36	-11.94
		7.0	3.36	11.54
10	-2.49	.0	-1.56	-4.93
		7.0	-1.56	-15.85
11	-2.82	.0	2.97	-11.39
		7.0	2.97	9.36
13	-3.33	.0	-2.67	-5.88
		7.0	-2.67	-24.51
14	-3.82	.0	4.13	-15.55
		7.0	4.13	13.30
15	-2.49	.0	-1.56	-4.93
		7.0	-1.56	-15.85
16	-2.36	.0	-3.43	-2.26
		7.0	-3.43	-26.27

PORTIQUE PANNE A APPUIT DEPLACABLE

FRAME ELEMENT FORCES

1				
1	-10.16	.0	-20.18	46.22
		7.0	-20.18	-94.83
2				
1	-20.18	.0	10.16	-94.83
		19.8	10.16	105.98
3				
1	-20.18	.0	-10.16	105.98
		19.8	-10.16	-94.83
4				
1	-10.16	.0	20.18	-94.83
		7.0	20.18	46.22

PORTIQUE PANNE A APPUIT DEPLACABLE

JOINT DISPLACEMENTS

LOAD CONDITION 1 - DISPLACEMENTS "U" AND ROTATIONS "R"

JOINT	U(X)	U(Y)	R(Z)
1	.000000	.000000	.000000
2	.001649	-.000141	-.014451
3	.000000	-1.000000	.000000
4	-.001649	-.000141	.014451
5	.000000	.000000	.000000

PORTIQUE PANNE A APPUIT DEPLACABLE

REACTIONS AND APPLIED FORCES

LOAD CONDITION 1 - FORCES "F" AND MOMENTS "M"

JOINT	F(X)	F(Y)	M(Z)
1	20.1789	10.1598	-46.2231
2	.0000	.0000	.0000
3	.0000	-20.3195	.0000
4	.0000	.0000	.0000
5	-20.1789	10.1598	46.2231
TOTAL	-.7105E-14	.0000E+00	.1137E-12

MOMENTS DU PORTIQUE FERME
POTEAUX

ELU

Cote	PS/F1		PC1	
	MM	Mm	MM	Mm
PB	7,76	-2,08	-3,73	-0,56
PH	-15,97	-8,17	3,90	1,06

FERMES

ELU

Cote	FERME 1 rive		FERME 2 int	
	MM	Mm	MM	Mm
Pg	-15,97	-11,84	-22,4	-15,72
PI	23,7	16,6	21,02	15,55
Pd	23,48	-16,05	-22,40	-15,72

POTEAU

ELS

Cote	PS/F1	PC1	PC2	PS/F2
PB	5,74/0,02	-3,73/-0,42	0,41/-2,7	-5,77/-10,72
PH	-11,52/-9,39	2,5/1,8	2,23/-0,78	14,13/11,03

FERME

ELS

Cote	FERME rive	FERME int
Pg	-11,02/-9,39	-16,5/-12,14
PI	18,24/12,94	15,56/11,49
Pd	-19,62/-12,83	-17,16/-11,44

PORTIQUE PANNE
ELS

Sans tenir compte de l'effet de R et T et Deplacement

Cote	Psp1	Psp2	Cote	Panne1	Panne2
B	5.01/-5.58	6.68/-11.94 g	-18.56/-8.56	-6.36/-13.91	
/	/	/	I	7.9/3.01	11.4/6.13
H	1.43/-9.13	9.36/-15.05 d	-13.92/-6.36	-11.94/-2.26	

Avec deplacement d'appui

Cote	Psp1	Psp2	Cote	Panne1	Panne2
B	5.74/-5.12	7.41/-11.21 g	-19.2/-10.06	-7.86/-14.84	
/	/	/	I	7.9/3.01	11.4/6.13
H	-0.07/-10.1	8.86/-14.14 d	-12.88/-4.43	-13.04/-1.22	

ELU

Sans tenir compte de l'effet de R et T et Deplacement

Cote	Psp1	Psp2	Cote	Panne1	Panne2
B	9.86/-5.68	13.3/-15.15 g	-15.62/1.43	-18.81/-13.98	
/	/	/	I	10.36/4.29	13.8/6.33
H	1.93/-15.62	11.5/-26.27 d	-18.8/-13.91	-15.55/-4.93	

Avec deplacement d'appui

Cote	Psp1	Psp2	Cote	Panne1	Panne2
B	26.59/-4.12	14.03/-15.09 g	0.07/-16.55	-19.84/-15.41	
/	/	/	I	10.36/4.29	13.8/6.33
H	.43/-16.55	-9.95/-27.7 d	-17.7/-15.41	-14.51/-3.54	

Efforts tranchants

Portique panne

ELS

Cote	SIGNE	POT 1	POT 2	PA 1	PA 2
PB	+	1	4.13	4.08	5.06
	-	-7.41	-4.68	/	/
PH	+	1	4.13	/	/
	-	-7.41	-4.68	-5.46	-3.67

ELU

Cote	SIGNE	POT 1	POT 2	PA 1	PA 2
PB	+	/	8.58	5.35	5.86
	-	-8.58	/	/	/
PH	+	/	8.58	/	/
	-	-8.58	/	-5.55	-5.04

Portique ferme

ELS

Cote	SIGNE	Ps/f	Pc	f.rive	f.int
PB	+	/	.82	5.02	5.5
	-	-2.62	/	/	/
PH	+	/	.82	/	/
	-	-2.62	/	-5.98	-5.6

ELU

Cote	SIGNE	Ps/f	Pc	f.rive	f.int
PB	+	/	1.14	6.79	7.43
	-	-3.54	/	/	/
PH	+	/	1.14	/	/
	-	-3.54	/	-8.07	-7.43

Portique panne Effort Normal

ELS

Ps/p1	Ps/p2	Panne1	Panne2
3,10/-,07	3,02/-,34	5/.98	5/-,62

ELU

Ps/p1	Ps/p2	Panne1	Panne2
3.59	3.33	5.77	5.77

Portique ferme Effort Normal

ELS

Ps/F	Pc	ferme rive	ferme inter
10.52/7.77	22.48/16.59	4.96/.93	4.14/.8

ELU

Ps/F	Pc	Ferme rive	Ferme inter
14.22	30.37	6.13	4.99

Portique panne (Bloc B)

Moment a l'ELS (tm)

cote	PT1	PT2	PA
PB	8.97/1.24	-3.94/-1.65	-5.57/-2.9
PI	-5.99/-1.65	.91/-2.04	3.13/1.54
PH	-5.57/-2.9	.24/-2.9	.24/-2.9

Moment a l'ELU

cote	PT1	PT2	PA
PB	24.08/1.94	-16.01/-1.94	-11.6/-3.92
PI	-13.36/-2.41	1.82/-2.41	5.95/2.21
PH	-11.6/-3.92	4.47/-3.92	4.97/-3.92

Effort normal a l'ELS (t)

cote	PT1	PT2	PA
PB	9.82	-1.58	.36
PI	1.99	1.09	.36
PH	1.99	1.09	.36

ELU

cote	PT1	PT2	PA
PB	15.36	-1.71	.47
PI	3.4	1.35	.47
PH	3.4	1.35	.47

Moments dus à l'effet de la dilatation et raccourst

PORTIQUE FERME

ELU

Cote		PSF	PL1	PL2	FR	FI
PB	R	-7.21	-1.63	-1.63	3.62	0.11
	T	2.06	0.48	0.48	-1.04	-0.019
PI	R	0	0	0	0.94	0.11
	T	0	0	0	-0.27	-0.019
PH	R	3.62	1.66	1.66	-1.74	0.11
	T	-1.04	-0.48	-0.48	0.5	-0.019

ELS

Cote		PSF	PL1	PL2	FR	FI
PB	R	-5.77	-1.3	-1.3	2.9	0.09
	T	1.65	.38	.38	-.83	-.015
PI	R	0	0	0	0.74	0.09
	T	0	0	0	-0.22	-0.015
PU	R	2.9	1.33	1.33	-1.39	0.09
	T	-0.83	-0.38	-0.38	0.4	-0.015

ETUDE DE LA PRECONTRAINTE

PROGRAMME DE CALCUL DE LA PRECONTRAINTE.

1 INTRODUCTION

Ce programme a été élaboré pour le calcul et la vérification d'une poutre précontrainte par pré-tension suivant le règlement BPEL (béton précontraint aux états limites). Il s'applique aux :

- Poutres isostatiques ou solidaires aux poteaux.
- poutres à sections et inerties constantes.

2 FONCTIONNEMENT DU PROGRAMME

1 étape

Sous l'effet des charges d'exploitation et selon les différentes classes de vérification, le programme prédimensionne la section du béton et détermine le nombre de câble nécessaire, pour que la poutre puisse résister au charge qui la sollicite. Dans cette étape les pertes sont estimées suivant le règlement.

1.1 CAS DE LA POUTRE PREFABRIQUEE

Dans ce cas, il fait la comparaison entre les dimensions calculées et les dimensions figées (poutre préfabriquée). Si les premières sont supérieures au secondes, il fait une optimisation entre la section de béton et les armatures de précontrainte de manière à avoir les dimensions standard.

1.2 CAS GENERAL

Le programme de calcul de précontrainte fait le calcul vérificatif d'une poutre à section et inertie constante.

2 étape

C'est une étape vérificative.

- Il vérifie les contraintes normales en travée selon la classe déterminée dans la première étape.
- Il vérifie les contraintes tangentielles dans les positions les plus défavorables.
- Il détermine les armatures passives dans les sections les plus chargées.

3 étape

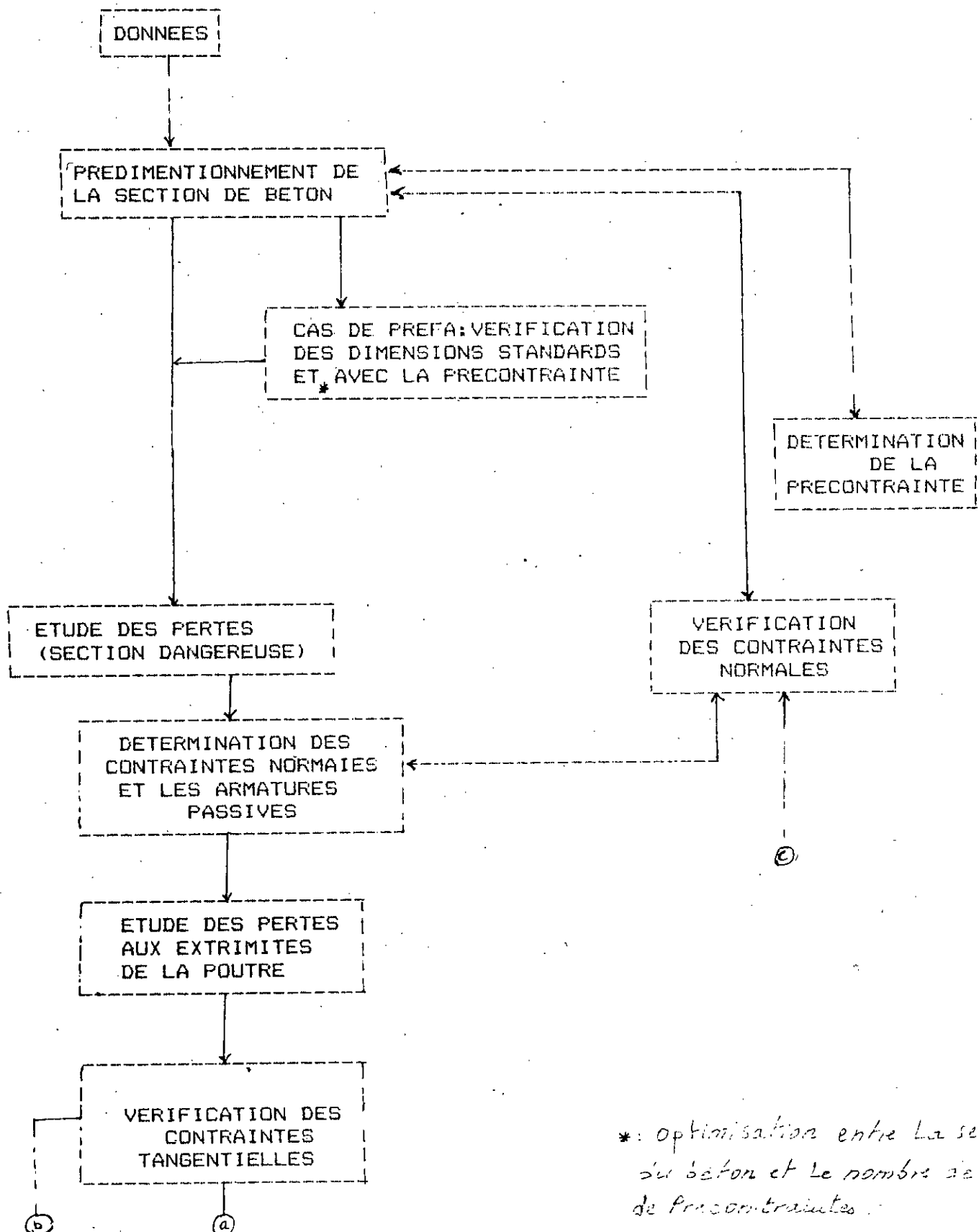
Cas d'une poutre à moments non nul en appuis.

- Il opère la vérification des contraintes normales.
- Il opère la vérification des contraintes tangentielles.
- Il détermine les armatures passives dans la section du béton tendue.

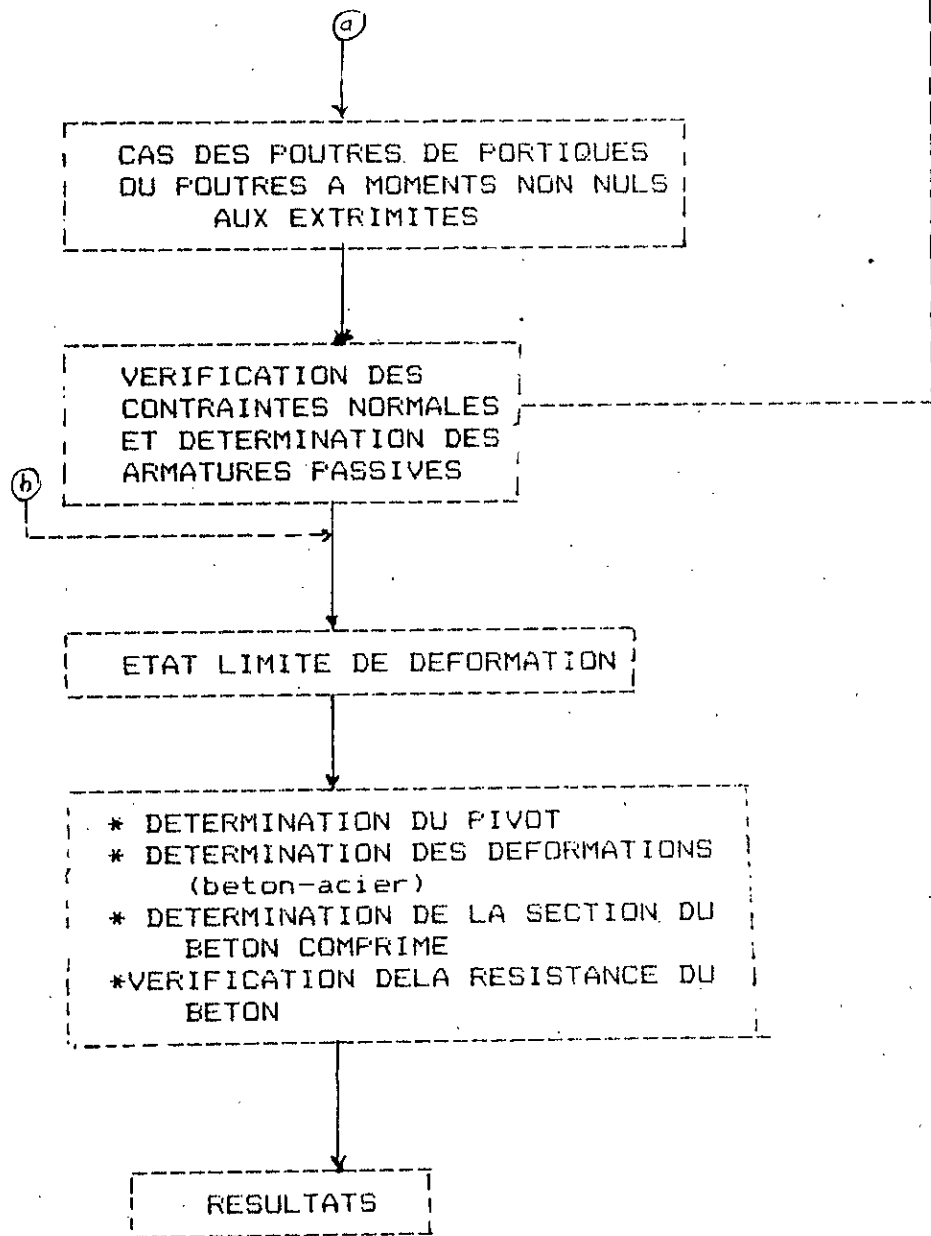
4 etape

-
- etude de la section dans l'état limite de déformation
 - * il détermine les déformations du béton et de l'acier.
 - * il détermine la section de béton comprimé.
 - * il vérifie la résistance du béton aux différentes sollicitations.
 - * il détermine les armatures transversales.

ORGANIGRAMME



*: Optimisation entre La section du béton et Le nombre de câble de précontrainte.



NOTATION ET UNITES

Notations

Les notation utilisees sont celles prescrites dans le nouveau reglement du BF aux etats limites

h:hauteur de la section du beton
I:moment d'inertie
 v, v' :position de l'axe neutre
P:Precontrainte
N:nombre de fils
e:excentricite
 D_{6i} :pertes instantanees
 D_{6d} :pertes differees
 σ :contraintes normales $s:sup$ $i:inf$
t:contraintes tangentielle
Eb:deformation du beton
Es:deformation de l'acier
Mru:moment resistant
Bc:section du beton comprimee

Unites

Surfaces: m^2
contraintes:MPa
moments:MN

PANNE (BLOCA)

RESULTATS

* Caracteristiques de la section du beton

- Dimensions calculees
 $b = .49446959$ $B_1 = .0602$
Nombre De Cables N° 6

- Dimensions standards
 $b = .5$ $B = .0602$
 $v = .25$ $V = .25$
 $I = 1.8991817E-03$
Nombre De Cables N° 6
Verifiee en Classe II

Section a' moment max 3
 $P = .3825$ $N = 6$ $e_1 = -.18$
 $D_{6i} = 110.46191$ Le % est 8.6636789
 $D_{6d} = 59.823154$ Le % est 5.1370714

* Verification des contraintes normales

----- En construction -----

$$6s(3) = 5.6596618 \quad \delta_{lim} = -3.1270199$$
$$6'i(3) = 4.9532717 \quad \delta'_{lim} = 14.846799$$

----- En exploitation -----

$$6i(3) = 13.669593 \quad \delta_{lim} = 24$$
$$6's(3) = -1.8423508 \quad \delta'_{lim} = -3$$

Armatures longitudinales dans les zones tendues

$$ASsup = 1.1267005E-04$$
$$ASinf = 3.3561159E-05$$

* Verification des contraintes tangentielles (noeuds)

Excentricite aux noeuds $e_2 = .1772$ $D_{6d}(1) = 94.1136$
 $D_{6i}(1) = 104.67944$

----- En construction -----

$$t2(1) = 2.9768452 \quad Exp1 = 6.708717 \quad Exp2 = 12.046057$$

----- En exploitation -----

$$t2(1) = 5.2209553E-08 \quad Exp1 = 11.393404 \quad Exp2 = 24.9309$$

Contraintes tangentielles verifiees

D6i(2)= 114.80699

D6d(2)= 113.08665

----- En construction -----

t2(2)= 5.2219258

Exp1= 8.3417601

Exp2= 11.67733

----- En exploitation -----

t2(2)= 2.6932289E-08

Exp1= 12.993656

Exp2= 26.2666

Contraintes tangentielles verifiees

* Verification des contraintes normales aux noeuds

----- En construction -----

6s(1)=-.82698176

6lim=-3.1270199

6'i(1)= 16.664914

6'ilim= 14.846799

----- En exploitation -----

6i(1)= 17.351293

6lim= 24

6's(1)=-2.9416581

6'ilim=-3

Armatures longitudinales dans les zones tendues

ASsup= 1.1373195E-04

ASinf= 4.7199842E-05

Contraintes non verifiees

----- En construction -----

6s(2)= 8.5323125

6lim=-3.1270199

6'i(2)= 7.3056198

6'ilim= 14.846799

----- En exploitation -----

6i(2)= 22.685217

6lim= 24

6's(2)=-7.0291237

6'ilim=-3

Armatures longitudinales dans les zones tendues

ASsup= 1.1373195E-04

ASinf= 4.7199842E-05

Contraintes non verifiees

** Etat limite ultime(ELU)

-- zone centrale --

$$Eb(3) = .0035 \quad Es(3) = .0062$$

$$Bc(3) = .02375$$

$$Mrul(3) = .28627227$$

La resistance est assuree

* Sollicitations tangentiales

$$st = .21 \quad At = 5.0715E-05$$

-- zone d'appuis --

$$At = .00010143$$

$$tulim = 7$$

$$tu(1) = 3.8356152$$

$$tu(2) = 2.9363293$$

-- noeuds --

$$Eb(1) = .0035 \quad Es(1) = .0057$$

$$Bc(1) = 2.5026882E-02$$

$$Mrul(1) = .3138416$$

$$Eb(2) = .0035$$

$$Es(2) = .0056$$

$$Bc(2) = 2.5298913E-02$$

$$Mrul(2) = .3147198$$

** Analyse des pertes

- Pertes instantanées

$\delta p_0 = 1275 \quad D_{6fi} = 12.75 \quad D_{6g} = 1.9$
 $\delta p_{mt} = 1260.35 \quad D_{6r}(1,1) = 7.3625$
 $D_{6p}(1,1) = 92.794492 \quad D_b(1,1) = 15.319942$
 $D_{6i}(1,1) = 114.80699 \quad D_r(1,1) = 1160.193$

$\delta p_0 = 1275 \quad D_{6fi} = 12.75 \quad D_{6g} = 1.9$
 $\delta p_{mt} = 1260.35 \quad D_{6r}(2,1) = 7.3625$
 $D_{6p}(2,1) = 92.794492 \quad D_b(2,1) = 15.319942$
 $D_{6i}(2,1) = 114.80699 \quad D_r(2,1) = 1160.193$

$\delta p_0 = 1275 \quad D_{6fi} = 12.75 \quad D_{6g} = 1.9$
 $\delta p_{mt} = 1260.35 \quad D_{6r}(3,1) = 7.3625$
 $D_{6p}(3,1) = 74.464024 \quad D_b(3,1) = 12.293666$
 $D_{6i}(3,1) = 96.476524 \quad D_r(3,1) = 1178.5235$

- Pertes différences

X	T	Delt Sig r MPa	Delt Sig f1 MPa	Delt Sig P relax
1	1	8.5564189	51.084727	4.989922E-03
1	2	6.5191763	0	92.801813
1	3	15.509268	125.36638	1.4889361

2	1	8.5564189	51.084727	4.989922E-03
2	2	6.5191763	0	92.801813
2	3	15.509268	0	1.3554791

3	1	8.5564189	40.993536	2.3765892E-02
3	2	6.5191763	0	74.497481
3	3	15.509268	68.824192	8.3941654

X	T	Delt Sig b MPa	Delt Sig d MPa	Sigma F MPa
1	1	0	59.645623	1100.5474
1	2	22.241655	6.5214801	1071.7843
1	3	0	141.97317	929.81108

2	1	0	59.645623	1100.5474
2	2	30.094321	6.5214801	1063.9316
2	3	0	16.825229	1047.1064

3	1	0	49.571722	1100.9518
3	2	-15.400197	6.5214801	1137.0232
3	3	0	91.483304	1043.3399

FERME

RESULTATS

* Caracteristiques de la section du beton

- Dimensions calculees

$h = .5371362$ $B_1 = .0702$

Nombre De Cables N= 6

- Dimensions standards

$h = .54$ $B = .0702$

$v = .27$ $V' = .27$

$I = 2.569725E-03$

Nombre De Cables N= 10

Verifiee en Classe II

Section a' moment max 3

$P = .6375$ $N = 10$ $e_1 = -.2$

$D_{6i} = 110.82813$ $L_e \% \text{ est } 8.6924024$

$D_{6d} = 86.22268$ $L_e \% \text{ est } 7.4063532$

* Verification des contraintes normales

----- En construction -----

$6s(3) = 9.9567458$ $6l_{im} = -3.1270199$
 $6'i(3) = 6.183297$ $6'l_{im} = 14.846799$

----- En exploitation -----

$6i(3) = 16.419106$ $6l_{im} = 24$
 $6's(3) = -4.7608653$ $6'l_{im} = -3$

Armatures longitudinales dans les zones tendues

$A_{Ssup} = 1.3423986E-04$

$A_{Sinf} = 8.5995821E-06$

* Verification des contraintes tangentielles (noeuds)

• Excentricite aux noeuds $e_2 = .1972$ $D_{6d}(1) = 113.90186$
 $D_{6i}(1) = 125.82932$

----- En construction -----

$t_2(1) = 7.3677567$
 $Exp1 = 8.9749665$ $Exp2 = 11.186627$

----- En exploitation -----

$t_2(1) = 3.5392127E-09$
 $Exp1 = 13.959126$ $Exp2 = 26.814426$

Contraintes tangentielles verifiees

**** Etat limite ultime(ELU)**

-- zone centrale --

Eb(3)= .0035 Es(3)= .0058
Bc(3)= 2.4760658E-02
Mru(3)= .21428527
resistance non assuree

* Sollicitations tangentiales

st= .21 At= 5.0715E-05

-- zone d'appuis --

At= .00010143 tulim= 7
tu(1)= 1.6765743

tu(2)= 2.4330085

-- noeuds --

Eb(1)= .0035 Es(1)= .0031
Bc(1)= 3.4738806E-02
Mru(1)= .46114322

Eb(2)= .0035 Es(2)= .0031
Bc(2)= 3.4738806E-02
Mru(2)= .46114322

D6i(2)= 125.82932

D6d(2)= 125.0238

----- En construction -----

t2(2)= 7.3677567

Exp1= 8.9749665

Exp2= 11.186627

----- En exploitation -----

t2(2)= 2.6536421E-08

Exp1= 13.845055

Exp2= 26.759816

Contraintes tangentielles verifiees

* Verification des contraintes normales aux noeuds

----- En construction -----

6s(1)= 9.5297948

6'lim=-3.1270199

6'i(1)= 7.8268511

6'lim= 14.846799

----- En exploitation -----

6i(1)= 10.295209

6'lim= 24

6's(1)= 6.9700014

6'lim=-3

Armatures longitudinales dans les zones tendues

ASsup= 1.60788E-05

ASinf= 7.1117865E-05

Contraintes verifiees

----- En construction -----

6s(2)= .49380852

6'lim=-3.1270199

6'i(2)= 16.862837

6'lim= 14.846799

----- En exploitation -----

6i(2)= 10.295209

6'lim= 24

6's(2)= 6.9700014

6'lim=-3

Armatures longitudinales dans les zones tendues

ASsup= 1.60788E-05

ASinf= 7.1117865E-05

Contraintes non verifiees

PANNE (BLOC B)

1

RESULTATS

* Caracteristiques de la section du beton

- Dimensions calculees

$h = .47877156$ $B_1 = .0602$

Nombre De Cables N= 2

- Dimensions standards

$h = .5$ $B = .0602$

$v = .25$ $V' = .25$

$I = 1.8991817E-03$

Nombre De Cables N= 2

Verifiee en Classe I

Section a' moment max 3

$P = .1275$ $N = 2$ $e_1 = -.18$

$D_{6i} = 112.78401$ Le % est 8.8458044

$D_{6d} = 121.14367$ Le % est 10.423507

* Verification des contraintes normales

----- En construction -----

$\delta_s(3) = 1.2886493$ $\delta_{lim} = -2.3846799$
 $\delta'_s(3) = 2.6977285$ $\delta'_{lim} = 9.8978667$

----- En exploitation -----

$\delta_i(3) = 3.5638303$ $\delta_{lim} = 24$
 $\delta'_i(3) = .15709989$ $\delta'_{lim} = -3$

Armatures longitudinales dans les zones tendues

$A_{Ssup} = 7.7457559E-05$

$A_{Sinf} = 1.1603926E-05$

* Verification des contraintes tangentielles (noeuds)

Excentricite aux noeuds $e_2 = .1772$

$D_{6i}(1) = 62.620487$ $D_{6d}(1) = 87.052546$

----- En construction -----

$t_2(1) = .34930666$
 $Exp1 = 2.3814636$ $Exp2 = 5.5887753$

----- En exploitation -----

$t_2(1) = 1.8577398E-08$
 $Exp1 = 6.0818012$ $Exp2 = 16.673131$

Contraintes tangentielles verifiees

D6i(2)= 62.620487

D6d(2)= 87.052546

----- En construction -----

t2(2)= .34930666

Exp1= 2.3814636

Exp2= 5.5887753

----- En exploitation -----

t2(2)= 4.9948042E-09

Exp1= 6.0818012

Exp2= 16.673131

Contraintes tangentielles verifiees

* Verification des contraintes normales aux noeuds

----- En construction-----

6s(1)==-2.2602789

6lim=-2.3846799

6'i(1)= 6.5705899

6'lim= 9.8978663

----- En exploitation-----

6i(1)= .92162843

6lim= 24

6's(1)= 3.2147069

6'lim=-3

Armatures longitudinales dans les zones tendues

ASsup= 6.7097655E-05

ASinf= 8.7512602E-05

Contraintes verifiees

----- En construction-----

6s(2)==-2.2602789

6lim=-2.3846799

6'i(2)= 6.5705899

6'lim= 9.8978663

----- En exploitation-----

6i(2)= .92162843

6lim= 24

6's(2)= 3.2147069

6'lim=-3

Armatures longitudinales dans les zones tendues

ASsup= 6.7097655E-05

ASinf= 8.7512602E-05

Contraintes verifiees

** Etat limite ultime (ELU)

-- zone centrale --

$$Eb(3) = .001 \quad Es(3) = .01$$

$$Bc(3) = 6.5900901E-03$$

$$Mru(3) = 9.5738849E-02$$

La resistance est assuree

* Sollicitations tangentiales

$$st = .21 \quad At = 5.0715E-05$$

-- zone d'appuis --

$$At = .00010143$$

$$tulim = 7$$

$$tu(1) = 1.7977633$$

$$tu(2) = .4221708$$

-- noeuds --

$$Eb(1) = .0035 \quad Es(1) = .0096$$

$$Bc(1) = 1.7632576E-02$$

$$Mru(1) = .41162921$$

$$Eb(2) = .0035 \quad Es(2) = .0096$$

$$Bc(2) = 1.7632576E-02$$

$$Mru(2) = .41162921$$

MOMENT ADMISSIBLE ET COUPLE DE SERRAGE

1 INTRODUCTION

Dans les sections où les contraintes normales ne sont pas vérifiées ou bien la résistance est non assurée, un moment admissible est calculé pour être pris comme référence dans la détermination du couple de serrage.
L'application de ce couple de serrage est effectuée grâce à une clef-dynamométrique, qui provoque une tension:

$$C_1(\text{dan.m}) + C$$

ou

C : Est le couple nécessaire pour visser sans serrer l'écrou sur la tige afin de réaliser l'encastrement. Il est aussi assuré par les soudures des plaques d'appuis. La structure hypers-tatique est ainsi réalisée.

C_1 : Est le couple appliquée sur les noeuds, pour soulager la travée, car il permet la réduction du moment en travée qui est plus grand que le moment admissible, mais l'application de ce couple augmente les moments au niveau des appuis qui éventuellement peuvent dépasser le moment admissible. Dans ce cas la différence est compensée par des armatures passives.

2 MOMENTS ADMISSIBLES

les moments admissibles sont:

- Pour le parement supérieur $M_{ads} = (\sigma_s - \sigma_{ps}) I / V$
- Pour le parement inférieur $M_{adi} = (\sigma_i - \sigma_{pi}) I / V$

ou

$\sigma_{ps} = \sigma_g + P e v / I$: Contrainte due à la précontrainte dans le parement supérieur.

$\sigma_{pi} = \sigma_g - P e v / I$: Contrainte due à la précontrainte dans le parement inférieur.

avec $\sigma_g = P / S$: Contrainte au centre de gravité de la section.

$\sigma_s = \sigma_{ps} + \sigma_{pi} - \sigma_s$: Contrainte résultante de la section comprimée dans le parement supérieur.

$\sigma_i = \sigma_{ps} + \sigma_{pi} - \sigma_i$: Contrainte résultante de la section comprimée dans le parement inférieur.

Les moments admissibles, dans le cas de notre ouvrage, sont calculés automatiquement par un programme informatique (voir annexes) qui suit la procédure de calcul exposée plus haut. Nous avons obtenu les résultats suivants:

PORTIQUE	POSITION	MOMENT AD	MOMENT AD
		MISSIBLE MAX (T)	MISSIBLE MIN (T)
PANNE BLOC A	APPUI	-12.82	- 3.13
	TRAVE	12.96	3.30
FERME BLOC A	APPUI	-20.67	- 3.47
	TRAVE	21.37	4.17
PANNE BLOC B	APPUI	- 5.07	- 1.85
	TRAVE	5.12	1.91

REMARQUES

Les pannes dans les deux blocs ,ont des moments inferieures aux moments admissibles, donc elles ne necessitent pas de couples de serrage.

Ce qui n'est pas le cas de la ferme qui a un moment a l'ELU egale a 23.48 T, superieur au moment admissible , il est donc necessair d'exercer un moment de serrage, qui vaut:

$M=Mi-Mad=2.81 \text{ T.m}$ la valeur prise est de 3T.m

La force de serrage est: $F=M/Z$ avec $Z=h=0.54\text{m}$
d'où $F=2 \text{ T}$

Pour provoquer cette force, le couple de serrage exerce par la clef doit etre egale a 8 Kg.m (pour 1 T il faut un couple de 4Kg.m).

les moments aux niveau des appuis devienent:

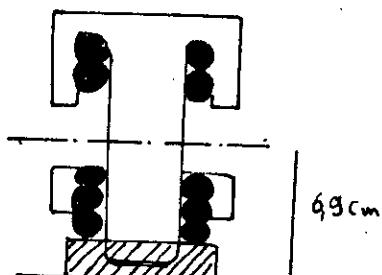
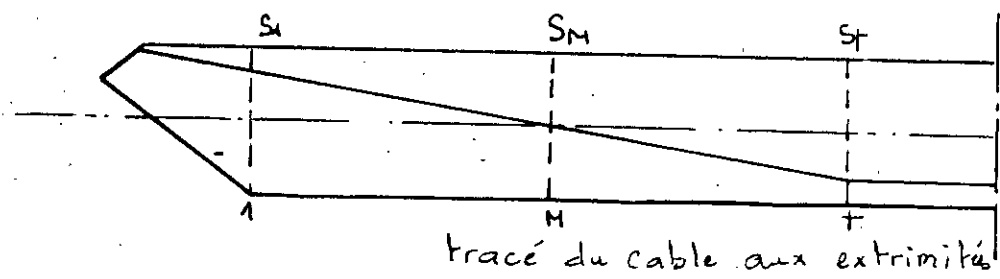
	MOMENT AVANT SERRAGE	MOMENT APRES SERRAGE
Mmax1	-11.02	-17.02
Mmin1	- 9.39	-12.39
Mmax2	-19.62	-22.62
Mmin2	-11.02	-14.02

A cause de l'équilibre du noeud , il y a conséquement variation des moments au niveau du poteau,apres l'application du couple de serrage.

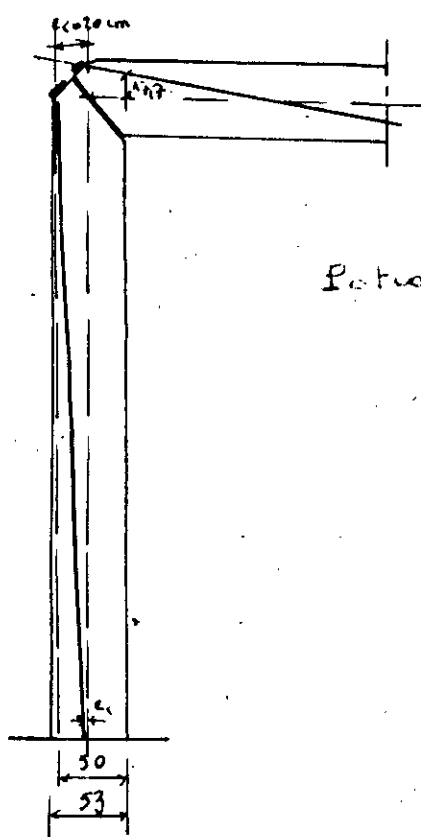
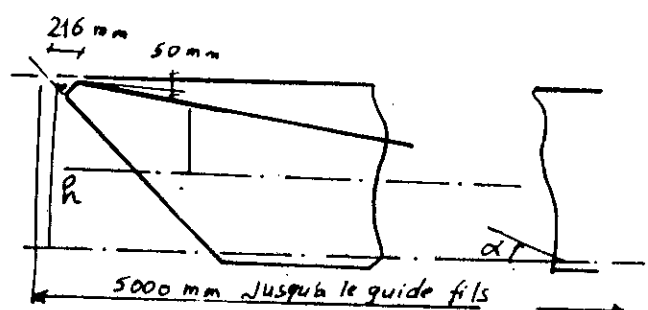
CAS DES MOMENTS ADMISSIBLES POSITIFS AU NIVEAU DES APPUIS

NOTION DE PLAQUE D'ANCRAGE

La jonction panne(ferme)-poteau doit être capable de transmettre le moment positif le plus défavorable,pour cela des plaques d'appui sont placées.Leurs rôle consiste en la reprise des efforts de traction au niveau des appuis,dus au moments positifs(généralement dus au soulevement du vent).
Après soudure,les plaques empêchent le glissement entre la panne(ferme) et le poteau.



«guide fils»
Position des cables
et enroulage.



Poteau en Beton Précontrainte.

POTEAUX

1 POTEAU PRECONTRAINTE

Les aciers utilises pour la precontrainte des poteaux sont des aciers HEL craute, au lieu de fil comme dans le cas des pannes.

1.1 FLAMBEMENT

L'effort normal N est independant de la precontrainte. Les armatures de precontraintes sont liees beton (armatures adherentes), leurs longueurs reste egale a celle de l'element meme apres deformation, la tension intiale ne change pas, de meme que le potentiel interne W qui assure l'equilibre.

DONC le flambement ne peut avoir lieu.

1.2 DESCENTE DE CHARGE

Les solicitations qui s'exercent sur les sections du haut du poteau sont, les reactions trouvées grace aux differentes combinaisons (verticales et horizontales), le poids propre des poteaux et l'effort normal N, sans oublier les charges concentrees qui s'applique au poteaux du portique ferme.

Poids propre des poteaux

POTEAU	CENTRAL (BA)	SOUS FERME (BP)	SOUS PANNE (BP) (bloc A)	AUTOS- TABLE (BA)	SOUS PANNE (BP) (bloc B)
SURFACE	0.35x0.35	0.57x0.25	0.53x0.25	0.50x0.25	0.53x0.25
HAUTEUR	6.44	6.44	6.44	6.44	8.30
POIDS	2.68	2.13	2.29	2.01	2.75
TOTAL					

-3

Le poids du bardage est de 12.10 T/m², la hauteur de notre bâtiment est de 7.3 m d'où P=87.6 E-3
Poteaux d'angles et poteaux autostables: dans leur cas l'effort à la base se calcule sous l'effet du vent (action horizontale) comme dans le cas d'une console (en réalité il sont liés par des lisses de bardage), il reprennent aussi une partie des charges verticales.

2 EXCENTRICITE DES FILS DE PRECONTRAINTE

L'excentricite des fils de precontrainte au niveau de la section haute du poteau ,au niveau de la jonction poteau-panne(ferme),est fixe puisque le system d'ancrage ne nous permet pas de changer l'excentricite.Ce qui n'est, pas le cas de la section basse,ou l'excentricite est determinee en fonction des moments en service (positif ou negatif).

3 MOMENT DU AU EFFORT DE SERRAGE

	M>0	M<0	Mrec.	e cm	P T	
	T.m	T.m	T.m	excen.	precon	
PANNE	7.41	-11.81	0.170	0.440	38.25	
FERME	11.13	-14.52	0.169	0.165	63.75	
AUTO-STABLE	5.03	-10.36	0.266	0.695	38.25	
PANNE bloc B	0.24	- 5.57	0.177	0.110	12.75	

4 EFFORTS SOLICITANT LES POTEAUX SOUMIS AUX CHARGES

EXTERIEURES

POTEAU	SECT.	M>0	M<0	Nmax	M>0	M<0	Nmax
SOUS PANNE	HAUT	9.03	-13.97	41.27	9.43	-16.55	41.84
bloc A	BAS	7.58	-11.84	43.56	11.59	-15.09	43.43
SOUS FERME	HAUT	14.3	-11.55	74.27	15.80	-1.91	77.97
	BAS	5.91	-10.55	76.40	7.59	- 8.01	80.00
SOUS PANNE	HAUT	0.42	- 5.75	14.1	2.00	-11.78	14.74
bloc B	INTER-MED.	1.08	- 6.18	14.80	4.65	-13.54	15.44
BAST		9.15	- 1.08	16.90	25.95	-15.84	17.54

5 FERRAILLAGE

Les sections sont calculees a la flexion composee. Le ferraillage choisit est symetrique lorsque les moments opposes sollicitant la section sont comparables. Dans les autres cas on determine le ferraillage minimal pour le moment le plus eleve en valeur absolue, puis nous verifions que ces aciers sont suffisant avec le moment de signe contraire. N.B: Le detail de calcul du ferraillage des poteaux ne se fait que pour un poteau. Pour les autres il ne sera donne que les resultats.

5.1 DETAIL DE CALCUL DU POTEAU

5.1.1 POTEAU SOUS PANNE LA PANNE LA PLUS SOLICITE

Donnes: $M_{ser} = 7.58 \text{ T.m}$ $M_u = 19.59 \text{ T.m}$
 $N_{ser} = 43.56 \text{ T}$ $N_u = 44.56 \text{ T}$

$\frac{M_u}{N_u} = \frac{19.59}{44.56} = 0.44 < 0.5$; la section est donc partiellement comprimees.

longueur de flambelement $l_f = 5.10 = 4.425$

d'où l'elancement $\lambda = \frac{l_f}{h} = 28.9$; $h = 0.53$

$\lambda > 50$ verifier
pour le coefficient de majoration
 $f = 1 + 0.2 \left(\frac{\lambda}{35} \right)^2 = 1.14$

$N = f N_u = .51 \text{ MN}$

d'où

$M/G = N (e + e) = .148 \text{ MN.m}$

d'où $\frac{M}{G} = \frac{N}{A} (d - \frac{e}{2}) = 0.26 \text{ MN.m}$

$\frac{M_u}{M_{ser}} = \frac{1.4}{1} = 1.4$

$\mu_{lu} = 0.341 - 0.1776 = 0.358$

$M_u = \mu_{lu}^2 b d f_{bu} = 0.352 \text{ MN.m}$

$\mu_{bu} = \frac{M_u}{b d} = \frac{0.352}{b d} = 0.234$

$= 1.25 (1 - \sqrt{1 - 2\mu_{bu}}) = 0.338$ donc pivot B; $f_s = f_{su} = 400 \text{ MPa}$

$Z = d(1 - 0.4) = 0.42 \text{ m}$

$A = M_u / Z = 15.34 \text{ cm}^2$

$\mu_{lu} < \mu_{bu}$ donc pas d'acier comprime $A's=0$

A l'ELS

$$\bar{f}_{bc}=0.6f_{c28}=15 \text{ MPa}$$
$$\bar{f}_s = \text{Min}(2/3f_{e}; 150n)=240 \text{ MPa}$$

$$r=n \bar{f}_{bc}/(n\bar{f}_{bc}+\bar{f}_s)=0.203$$

$$j_{urb}= r/2(1- r/3)=0.203$$

$$se=n \frac{bc}{2} (r-)/ r=187 \text{ MPa}$$

$$Mr_b=j_{urb} d b \bar{f}_{bc}=0.1828$$

$M_{ser}/A < Mr_b$ donc pas d'acier comprime

$$As=15.34 \text{ cm}^2 \text{ soit } 6 \varnothing 16$$

$$As=15.89 \text{ cm}^2$$

5.1.2 POTEAU CENTRAL

La section la plus sollicitee est la section basse "B".
nous avons les sollicitations suivante

A l'ELS

A L'ELU

$$N=0.32 \text{ T} \quad N=.44 \text{ T}$$
$$M_x=0.22 \text{ T.m} \quad M_x=.33 \text{ T.m}$$
$$M_y=0.25 \text{ T.m} \quad M_y=.82 \text{ T.m}$$

La section est soumise, a la flexion deviee, avec un effort normale de compression.

La methode utilisee pour le calcule est une methode approchee, car le calcul des sections BA soumises a une flexion deviee est assez complexe.

Donc nous calculerons la section, comme soumise a la flexion composee dans le sens le plus defavorable, et nous adopterons la meme section dans l'autre sens.

Et nous justifierons le resultat trouve, en verifions les contraintes dans les sections c-a-d:

$$\bar{f}'bx + \bar{f}'by < \bar{f}'b$$

$$\lambda=45.28<50 \text{ d'où } \gamma=1.26; e=3.66 \text{ cm}$$
$$e_0=21 \text{ cm}$$

$$N^*=N=0.56 \text{ T}$$

$$A=A'=5.95 \text{ cm}^2 \text{ soit } 3 \varnothing 16 \text{ soit } 6.03 \text{ cm}^2$$

Verification a l'ELS

$M/N=7 \text{ cm} > h/6$ la section est partiellement comprimee.

$$y_1=34.8 \quad K=0.133$$

$$\bar{f}'bx=4.63 \text{ MPa} < 240 \text{ MPa} \quad \bar{f}'s=61.45 \text{ MPa} < 240 \text{ MPa}$$

Nous avons: $\sigma_{bx} + \sigma_{by} = 9.26 \text{ MPa}$ donc inférieures à σ_{bc} soit
15 MPa

La section est vérifiée.

EFFORT TRANCHANT

Au dessus de la dalle

$$V_u = 0.05 \text{ T} \quad A_t = 1.5 \text{ cm}^2$$

$$\bar{\sigma}_u = 0.47 \text{ MPa} < \bar{\sigma}_{u_0}$$

$$\bar{\sigma}_u < 0.8 \text{ d'où } A_t / S_t = 0.4 b_0 / f_e$$

$$\text{donc } S_t < 43 \text{ cm}$$

$$\text{nous prenons } S_t = 24 \text{ cm}$$

Au dessous de la dalle

Nous prenons le même espacement que dans le cas précédent, car $V_u =$

5.1.3 POTEAUX D'ANGLES

Il sont calculés en flexion composite (ce genre de poteau est soumis essentiellement à l'action du vent)
sollicitations:

$$N = 0.041 \text{ MN}$$

$$M_w = 0.11 \text{ MN.m}$$

nous avons

$$A = A' = 9.48 \text{ cm}^2$$

EFFORT TRANCHANT

$$\bar{\sigma}_u = 0.232 < \bar{\sigma}_{u_0} ; S_t = 24 \text{ cm}; A_t = 1.5 \text{ cm}^2$$

CONTREVENTEMENTS

1 INTRODUCTION

"L'utilisation de la precontrainte pour les elements de contreventement est interdite en zone II et III. Toutefois, s'il est justifie d'une etude de la structure dans le domaine post-elastique, l'emploi de celle-ci pourra etre admis"

-Extrait de l'article 2.4 du RPA88-

La lecture de cet extrait, traduit une certaine meconnaissance du comportement du beton preconstraint lorsqu'il est soumis a des charges sismiques, d'où l'interdiction en un premier temps, puis une permission conditionnee par une etude post-elastique en un deuxième temps.

Le procede GUIRAUDI-AUFFEVE est touche par l'article cite precedament, ces problemes ont fait alors l'objet de plusieurs reunions et rencontres entre le CTC, l'entreprise GUIRAUDI-AUFFEVE, et l'EBA, l'étude post-elastique n'étant pas realisee, il a été propose de solliciter au minimum les portiques en beton preconstraint, en utilisant un diaphragme rigide qui transfererait les forces laterales dynamiques aux palees de stabilite.

2 PRINCIPE DE CONTREVENTEMENT

Le contreventement choisi est celui du contreventement verticale par des pales de stabilite en croix de SAINT-ANDRE, en acier, pour reprendre la totalite des efforts horizontaux dues a l'action du seisme ou du vent. Le contreventement horizontal utilise est celui du contreventement horizontal en trellis au niveau de la toiture. Le transfert de la force horizontale se fait grace au diaphragme rigide, constituer par un assemblage IPE-Corniere, de ce fait, il est necessaire que les pignons soient parfaitement raides et capable de dissiper l'energie. L'assemblage IPE-Corniere se comporte comme l'ame d'une poutre elancee à ame en treillis, situee entre deux plans verticaux.

Dans le cas de notre ouvrage, des contraintes architecturales dans le sens longitudinale pour le bloc A, et dans le sens transversale pour le bloc B, nous ont amene a placer un seul pale de stabilite, provoquant une certaine dissymetrie dans les blocs indiques ci dessus, dans les sens respectifs.

Cette dissymetrie entrainera un accroissement de la majoration de la charge horizontale, majoration due au moment de torsion provoqué par la dissymetrie.

N.B: Les reglements prescrivent de prendre en compte, une majoration minimale provoqué par un excentrement égale à 5% de la plus grande dimension de l'ouvrage, dans le cas où l'excentrement est inférieur à 5% .

3 CALCUL DU CONTREVENTEMENT

3.1 EVALUATION DES RIGIDITES DES PORTIQUES

L'évaluation de la rigidité de chaque portique s'obtient en faisant le rapport $\frac{F_i}{K_i}$ où F_i est la somme des forces horizontales, et Δ_i le déplacement moyen sous l'effet de la force F_i .

3.1.1 DEPLACEMENTS MOYENS

Les déplacements moyens sont obtenus sous l'effet de force unitaire, dans le cas du bloc A, et égales à deux fois l'unité dans le cas du bloc pont roulant

DEPLACEMENT MOYEN		
SENS	BLOC A m	BLOC B m
LONGITUDANALE	6.392565 E-5	9.42 E-4
TRANSVERSALE	4.09974 E-4	5.04 E-4

1.2 RIGIDITES

RIGIDITE		
SENS	BLOC A T/m	BLOC B T/m
LONGITUDANALE	15643.17	2123.0
TRANSVERSALE	2439.20	39693.0

2 EVALUATION DE LA FORCE REVENANT A LA CHAQUE PORTIQUE

Le calcul de la force chargeant chaque portique, se fait suivant la formule ci-dessous:

$$F_{i,x} = K_{i,x} \left(\frac{F_x}{n} + \frac{F_x E_x D_x}{\sum_{i=1}^m K_i D_i^2} \right)$$

Où F_x : Est la force dynamique chargeant la structure dans le sens X.

K_i : Rigidité du portique i.

$K_{i,x}$: Rigidité du portique i, dans le sens X

n : Nombre de portiques dans le sens x

m : Nombre de portiques dans le sens y

E_x : excentrement dans le sens x (centre de gravité par rapport au centre de torsion).

D_x : excentrement dans le sens x (Portique par rapport au centre de gravité de la structure).

		BLOC A	BLOC B
SENS	e	19.8 m	0.6 m
TRANSVERSAL	d	18.0 m	6.0 m
K		15643.17 T/m	2123.00 T/m
FORCE	F	66.8 T	7.14 T

		BLOC A	BLOC B
SENS	e	2.0 m	22.0 m
LON-			
GITUDINAL	d	20.0 m	20.0 m
K		2439.17 T/m	39693.00 T/m
FORCE	F	30.74 T	113.31 T

3 VERIFICATION DES SECTIONS

Les sections sont verifiees

Anette Ven

N<-

1.25

Dans le cas du block A

Sens longitudinale N<=192 T.
Sens transversale N<=45.46T.

Dans le cas du bloc B

Sens longitudinale N<=45.46T.
Sens transversale N<=192 T.

3.1 SECTIONS LES PLUS SOLLICITEES

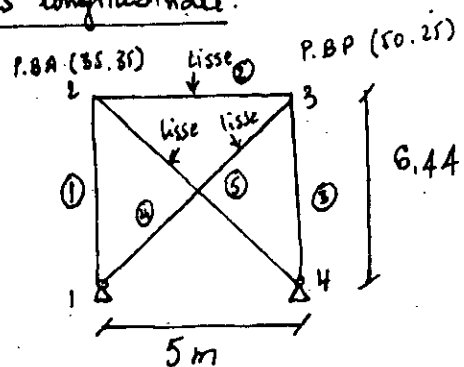
	SENS	EFFORT DANS LA SECTION LA PLUS SOLLICITEE	
BLOC A	LONGITUDINALE	N4 =48.80T	SECTION VERIFIEE
	TRANSVERSALE	N4 =44.88T	SECTION VERIFIEE
BLOC B	LONGITUDINALE	N7 =22.50T	SECTION VERIFIEE
	TRANSVERSALE	N24=89.51T	SECTION VERIFIEE

N.B:Le cacule des efforts a ete realise grace au logiciel de calcul de structure STAPBEAM

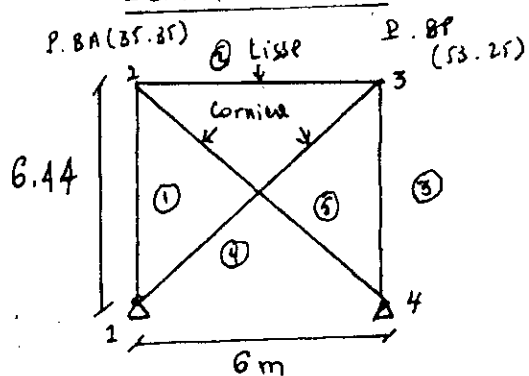
Représentation schématique des portiques de contreventement.

BLOC A :

Sens longitudinal.

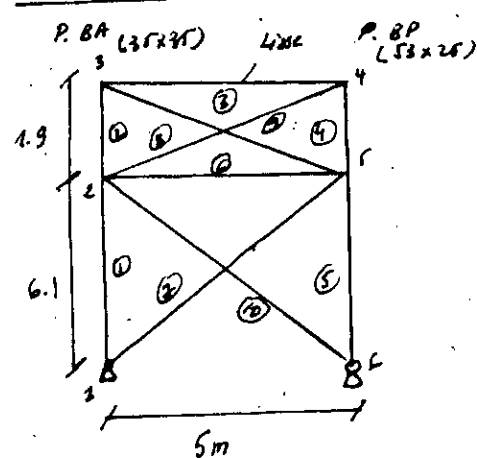


Sens transversal.

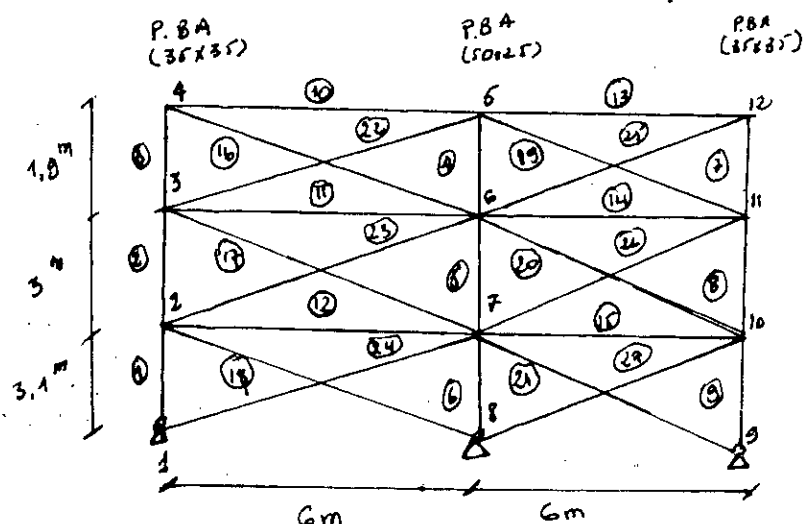


BLOC B :

Sens longitudinal



Sens transversal



route des éléments : lisse 100x100 .

PONT ROULANT

PONT ROULANT-voie de roulement

1- Caracteristiques du pont roulant

Ces caracteristiques sont donnees par le constructeur.

Charge au crochet....=10 tonnes
Poids du pont.....=10 tonnes
Poids du chariot....=3.5tonnes
Reaction verticale maximale par galet...=7 tonnes
Reaction verticale minimale par galet...=2.2tonnes
Reaction horizontale.=0.8tonnes
Reaction longitudinale1.2tonnes
Empattement.....=2.4tonnes

2- Calcul de la poutre de roulement

2.1-Predimentionnement

Les dimentions de la poutre doivent respecter les conditions suivantes:

$$*b>=20\text{cm}; h>=30\text{cm}; \frac{h}{b} \leq 3$$

$$\frac{1}{15} \leq \frac{h}{b} \leq \frac{1}{10}; \text{Condition de la felle pour une poutre isostatique.}$$

$$\frac{h}{1} = \frac{Mt}{10Mo} \quad \text{avec } Mt=0.8Mo \text{ d'où } \frac{h}{1} = 0.08$$

Pour l=5m $h>=0.08 \times 5$ d'où $h>=0.4$
La valeur prise est $h=0.4\text{m}$

$\frac{h}{b} = \frac{0.4}{0.25} = 1.6$ donc $b>=0.13\text{m}$
La valeur prise est $b=0.25\text{m}$

CONCLUSION: $h=0.40\text{m}; b=0.25\text{m}$

2.2 DETERMINATION DES EFFORTS DANS LA POUTRE DE ROULEMENT

2.2.1 EVALUATION DES CHARGES

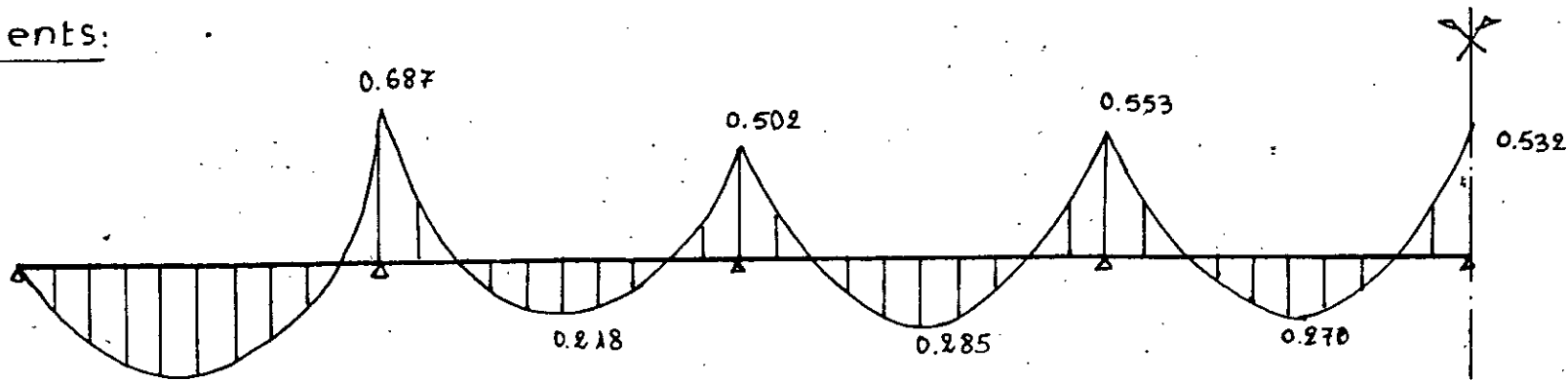
Le poids propre est égal à: $0.25 \times 0.4 \times 2.5 = 0.25 \text{ T/m}$
d'où

Poids propre.....	0.25T/m
Rails et accessoires.....	0.01T/m

Total	=0.26T/m
-------	----------

SOLlicitations dues au poids propre

Moments:



Efforts tranchants:

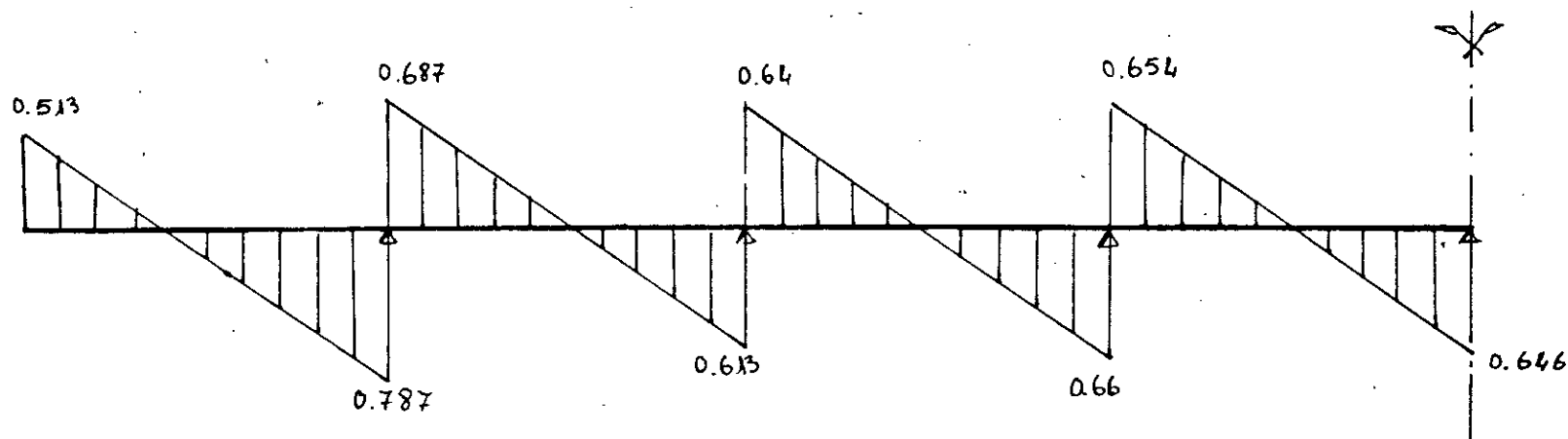


Fig a.

Fig a.

2.2.2 SOLICITATIONS DUES AU CHARGES PERMANENTES

Ces sollicitations sont déterminées par la méthode des trois moments. La poutre de roulement est une poutre continue, de huites travées, reposant sur neuf appuis, à inerties et portes constantes.

La relation des trois moments est :

$$\sum_{i=1}^3 M_i + (a+c)M_i + b_i M_i = \phi'' - \phi'$$

a, b, c sont des constantes mécaniques

ϕ'' et ϕ' sont les déformations angulaires d'une poutre isostatique d'où

$$\phi'' - \phi' = \frac{P_{11}}{i_1 i_2 24EI_1}$$

Les moments et efforts tranchants sont représentés dans la figure a.

2.2.3 SOLICITATIONS DUES AU SYRCHARGES D'EXPLOITATIONS

CHARGES VERTICALES

Il y a deux charges concentrées distantes de $a=2.4\text{m}$, mobiles le long de la poutre de roulement. Les efforts dues à ces charges sont obtenus à partir du trace des lignes d'influence. Ces lignes d'influence ont été déterminées par la méthode des foyers.

La réaction maximale par galet $R=7\text{T}$
Longueur des travées $l=5\text{m}$

SOLICITATIONS

a	MOMENTS AUX APPUIS		MOMENTS EN TRAVÉE		REACTIONS D'APPUIS	
	APPUI 1	APPUI 2	TRAVÉE 1	TRAVÉE 2	MÁXIMALES	
1					R_o	R_1
					M_{max}	M_{max}
	$x/1$	$.196$	$x/1$	$.161$	$x/1$	$.261$
	P_1	P_1	P_1	P_1	P	P
0.48	0.7	6.24	0.7	5.64	0.35	7.56
					T	T

CHARGES HORIZONTALES TRANSVERSALES

Ces charges ont été estimées au 1/10 des charges verticales, donc la poutre de roulement doit être étudiée en flexion sous l'effet du système de charges précédent.

Cette est supposée reposer sur des appuis fixes (poteaux), l'étude se ramène donc à celle d'une poutre soumise à un système de charges verticales (cas déjà étudié). Ces charges horizontales étant dix fois plus faibles, donc $H=R/10$ et $M=M_0/10$

$$t_H = t_R$$

SOLlicitations

	MOMENTS AUX APPUIS		MOMENTS EN TRAVEE		REACTIONS D'APPUIS	
	APPUI 1	APPUI 2	TRAVEE 1	TRAVEE 2	MAXIMALES	
a					Ro	R1
1					Mmax	Mmax
	x/1	.196	x/1	.161	x/1	.261
	P 1		P 1		P 1	.271
					P	P
0.48	0.7	.624	0.7	.564	0.35	.756
	T.m		T.m		T.m	T.m
					T	T

EFFORT TRANCHANT DU AUX CHARGES D'EXPLOITATIONS

L'effort tranchant pris en compte, est égal à la réaction au niveau de l'appui 1.

RESUME DES SOLlicitations A PRENDRE EN COMPTE DANS LES CALCULS

-CHARGEMENT	MOMENTS MINIMUM		MOMENTS EN TRAVES			
	AUX APPUIS (T.m)	T.m	APPUI DE RIVE	APPUI INT- -TERMEDIAIRE	TRAVEE DE RIVE	TRAVEE INTER- MEDIAIRE
G	0.687	0.553			0.469	0.289
R	6.242	5.635			7.560	5.985
H		0.563			0.756	0.598
	0.642					

3 FERRAILLAGES

La poutre de roulement est ferraille en laconsidérant soumise à la flexion simple dans les deux sens X-X et Y-Y ,pour faciliter le calcul, il ne sera pas tenue compte de l'effort normal,vue que la contrainte provoquée par l'effort normale est petite devant celle due à la flexion.

COMBINAISON DE SOLICITATION PRIS EN COMPTE

$$\begin{aligned} M_u &= 1.35 M_G + O_d 1.5 M_Q \\ M_{ser} &= M_G + O_d M_Q \end{aligned}$$

O_d:Coefficient de majoration dynamique

DIMENSION DES SECTIONS

SENS X-X b=0.25m ; h=0.40 m
SENS Y-Y b=0.40m ; h=0.25 m

CONTRAINTE ULTIMES

Nous utilisons des aciers FE40 ,la fissuration dans notre cas est considérée préjudiciable.

Pour le béton: f_{c28}=25 MPa f_{t28}=2.1 MPa

		er		trave in-			
	1	travee	appui	-termed.	appui in-		
			de			_termed.	
			rive				
	SENS	X-X	Y-Y	X-X	Y-Y	X-X	Y-Y
Mu	T.m	14.3	1.36	12.2	1.12	11.2	1.08
Mser	T.m	9.54	0.91	8.18	0.75	7.74	0.72
	2						
Asu	cm	12.8	1.77	10.6	1.45	9.57	1.4
Aser	cm	12.3	1.72	10.3	1.41	9.28	1.35
	2						
Amin	cm	1.13	1.09	1.13	1.09	1.13	1.09
	3020		3020		3020		3020
	+	2016	+	2016	+	2016	+
A	2016		2016		2016		2016
	2						
Apris	cm	13.5	4.02	13.5	4.02	13.5	4.02

Vu	u	u	St	At	At	At	
				min	pris		
MN	MPa	MPa	cm	cm	cm	cadre 010 et epingle 010 2	cm
17.41	1.39	2.5	20	2.01	1.08	2.35	
E-2							
20.71	2.30	2.5	20	2.30	1.30	2.35	
E-2							

VERIFICATION A LA TORSION

les réactions R et H sont excentrées, elles provoquent donc un moment de torsion M_t .

$$M_t = R \cdot e + H \cdot h \quad ; e \text{ et } h \text{ excentrements respectifs de } R \text{ et } h$$

Pour $R=7 \text{ T}$; $e=0.01 \text{ m}$; $H=0.8 \text{ T}$; $h=0.24 \text{ m}$

$$M_t = 0.262 \text{ T.m}$$

M_u

$$\frac{\epsilon}{u} = \frac{M_u}{2\Omega b_o} \quad ; M_u = 1.5 \text{ Mt} = 0.393 \text{ T.m}$$

a

$$b_o = -0.0416 \text{ m}$$

6

2

$$\text{D'où } \frac{\epsilon}{u} = 0.63 \text{ MPa} \quad \Omega = (a - b_o)(h - b_o) = 0.075 \text{ m}^2$$

$\frac{\epsilon}{u} < \text{Min}(0.13 f_c 28; 4 \text{ MPa})$ car $\frac{\epsilon}{u} < 3.25 \text{ MPa}$; La section est donc vérifier

ARMATURES TRANSVERSALES DE TORSION

$$A_t \frac{b_o u s}{s} = 1.15$$

St Fe

$$A_t = 2$$

$$= 0.75 \text{ cm}^2 / \text{ml}$$

St

ARMATURES LONGITUDINALE DE TORSION

$$\frac{u \epsilon}{A_l \frac{Fe}{0.85 \text{ cm}^2}}$$

Ces valeurs sont très faibles, donc notre poutre est bien ferrailleur pour la torsion.

VERIFICATION AU LEVAGE

Lors de la manutention la poutre n'est soumise qu'à son poids propre. Les crochets de levage sont disposés à 1.20 m à partir de l'extrémité de , part et d'autre.

$$R_a = R_b = \frac{G_1}{2} = 0.625 \text{ T}$$

$$M_a = M_b = \frac{G_a}{2} = 0.18 \text{ T.m}$$

$$M_t = \frac{G_b M_a + M_b}{8 \cdot 2} = 0.031 \text{ T.m}$$

Ce moment est inferieur au moment minimal, ayant servi au ferraillage de la poutre ($M_{min}=7.31 \text{ T.m}$). Le levage est donc vérifié.

4LES JONCTIONS

La continuité de la poutre est assurée par l'assemblage de travées préfabriquées, qui présentent des barres d'attentes, à fin d'assurer le recouvrement.

Les aciers transversaux à ce niveau sont relevés, il seront pliés après avoir placé les aciers de recouvrement.

L'ultime opération est le coulage du béton de jonction.

Evidemment, il y'a deux types d'élément préfabriqués:

-Element de rive avec une seul réservation.

-Element intermédiaire avec deux réservations.

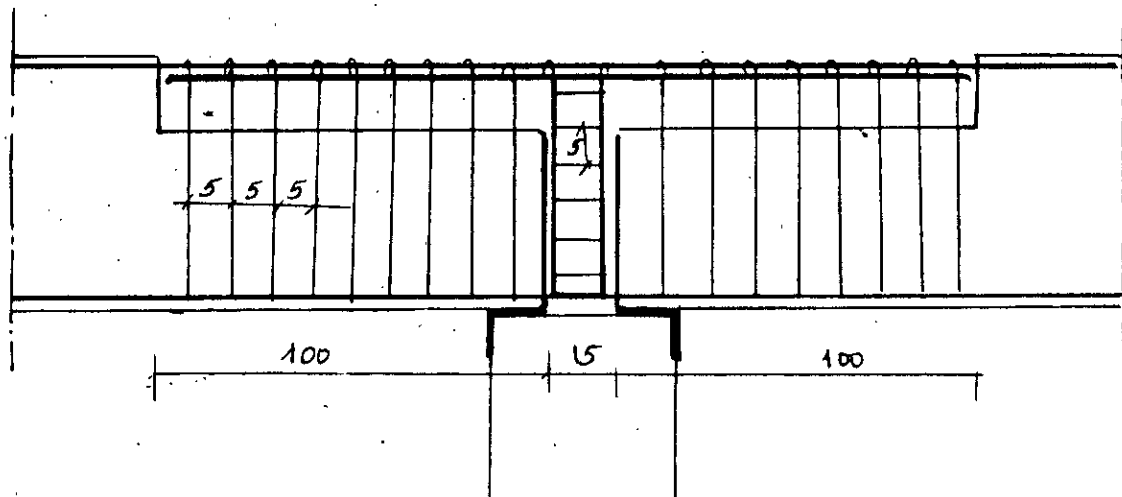
CALCUL DE LA LONGUEUR DE SCELLEMENT

elle est égale de scellement droit .

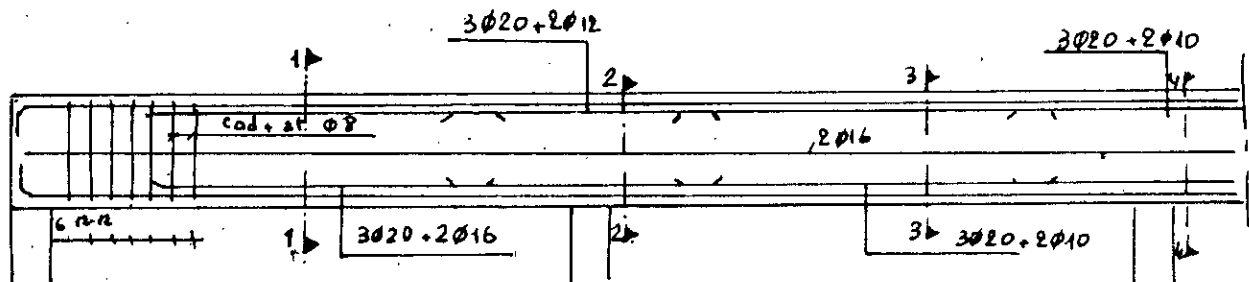
$$ld=lr=\frac{0}{4}a ; d=2 \text{ cm} \quad b=1.5 \text{ et } b=6.89 \text{ dan/cm}^2$$

$lr=67.8 \text{ cm}$; La longueur prise est $lr=1m$

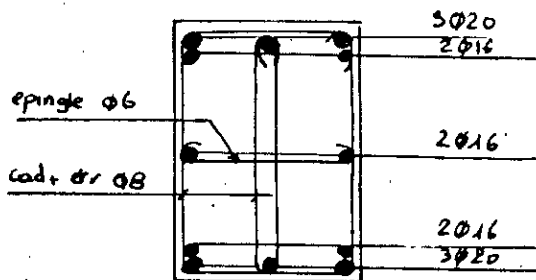
Détail de la jonction



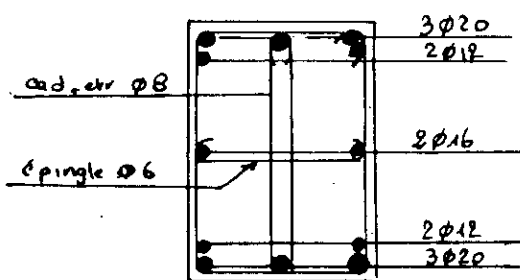
Ferraillage de la poutre de roulement.



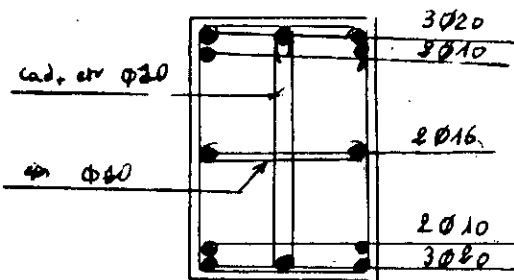
Section 1-1



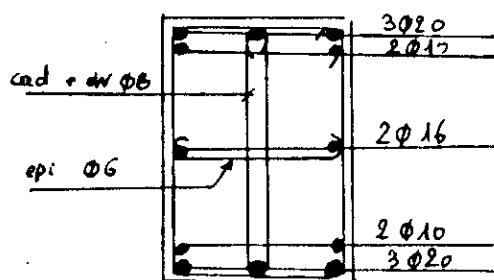
Section 2-2



Section 3-3



Section 4-4



85.a

CALCUL D'ELEMENTS DIVERS

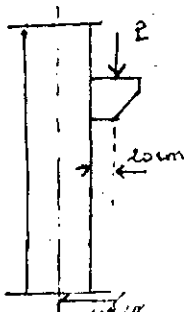
LE CORBEAU

1 DEFINITION

Le corbeau est un élément préfabriqué en usine. Il supporte la poutre de roulement. Son assemblage avec le poteau est réalisé à l'aide de tiges de haute résistance. Il a été ferraille par le bureau d'étude de GUILRAUDI-AUFFEVE

2 VERIFICATION DU CORBEAU

Il est admis que la force P provenant du pont roulant, est transmise par la bielle de béton oblique. Elle est équilibrée deux à deux par les armatures. La force F est reprise par les armatures longitudinales. La force P est reprise par les armatures transversales.



3 FERRAILLAGE

3.1 HYPOTHESES

$$d=0.6m; b_0=0.25m; a=0.22m \\ f_{c28}=25 \text{ MPa}; \text{Acier HA Fe40}$$

La fissuration est très préjudiciable. $\sigma_{er}=240 \text{ MPa}$.
 $\sigma_e=400 \text{ MPa}; f_{su}=348 \text{ MPa}$

3.2 ARMATURES LONGITUDINALES

A 1'ELS	$F_{ser} = 12.4$	$A_{ser} = 5.16 \text{ cm}^2$
	$\sigma_{er} = 240$	
	$F_{ul} = 19.2$	
A 1'ELU	$A_{ul} = 4.8 \text{ cm}^2$	$\sigma_{ul} = 348$

La section prise est :

3.3 ARMATURES TRANSVERSALES

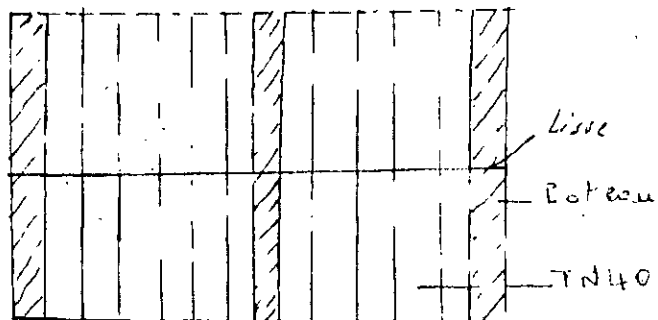
$$\begin{aligned} & Vu = 1.17 \\ & \zeta_u = \frac{Vu}{f_{c28} b_0 d} = \frac{1.17}{25 \times 0.25 \times 0.6} = 1.267 \\ & \zeta_u = \min \left(0.03 \left(2 + \frac{d}{a} \right) f_{c28}, 4 \right) = 3.25 \text{ MPa} \\ & \zeta_u < \zeta_u: \text{Les armatures prises sont donc droites, cadres plus} \\ & \text{étrier } At = 2 \text{ cm}^2 : 4 \varnothing 8 \end{aligned}$$

$$\begin{aligned} & 0.8 \text{ Fe At} \\ & St = \frac{0.8 \times 2}{(u-0.5)bo} = \frac{1.6}{(u-0.5)bo} = 33 \text{ cm} \end{aligned}$$

ELEMENTS DE BARDAGE

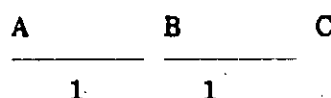
1 LES LISSES

les lisses sont considérées appuyées sur trois poteaux, et supportant l'action horizontale du vent.
Nous avons un nombre de trois lisses, séparées de deux mètres.
Nous négligerons les charges verticales (poids de la TN40, poids propre).



Schema statique

q (dan/ml)



Le moment maximum est: $q^2 / 8$

$$Mb = \frac{q^2}{8}$$

Exprimons la surcharge du vent par mètre linéaire: $q=76 \times 2$ d'où $q=152$ dan/ml

Les lisses étant sollicitées en flexion simple, le dimensionnement se fera à la résistance:

$$\frac{My}{Wy} <= 1 \text{ en d'où } Wy = \frac{My}{F_{en}} \text{ avec } F_{en} = 2400 \text{ dan/ml}$$

Nous trouvons $Wy = 28.5 \text{ cm}^3$

Les lisses utilisées sont des tubes carrés $100 \times 100 \times 4$ avec $I = 47.16 \text{ cm}^3$

$$Wy = \frac{I}{v} = 47.16 \text{ cm}^3$$

2 LE REMPLISSAGE

Il se fait avec des dalles préfabiquées, posées entre deux poteaux consécutifs, et ancrées dans le sol.

3 BARDAGE

Il est assuré également, par des toiles de TN40, à partir du remplissage, jusqu'à l'acrotère.

N.B: La fixation des toiles sur les lisses, doit être soigneusement réalisée, pour éviter le soulevèment de celle-ci, sous l'action du vent.

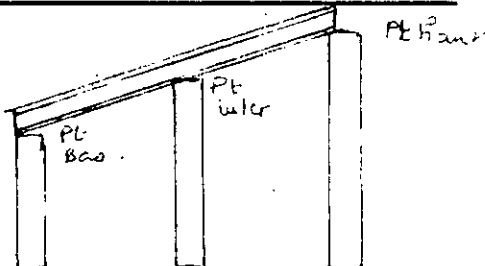
DIMENSIONNEMENT DES IPE

1 DISPOSITION DES PANNES

Les panes sont disposees sur les poutres en etant espacees de 2.5m, car le type de panneau utilise permet ce choix.

La pente de 5% du versant de la toiture, est realise grace a trois portiques successifs, de differente hauteur.

1.1 DISPOSITION DES CHARGES SOLICITANT LE PROCEDE



1.2 SCHEMA STATIQUE

Pour le calcul, la panne IPE sera consideree comme une poutre continue sur trois appuis.

Toutefois, nous negligerons l'effort normal du a l'inclinaison de la poutre car cette inclinaison, n'est que de 5% .

2 EVALUATION DES EFFORTS

2.1 CHARGES

2.1.1 CHARGES PERMANENTES

2.1.1.1 POIDS DE LA TOITURE

Couche d'étanchéité----- 12.00 dan/m²

Couche de toile TN40----- 8.00 dan/m²

Couche d'isiant ----- 6.00 dan/m²

total Ct=26.00 dan/m²

soit

$$Ct=65.00 DAN/m^2$$

2.1.1.2 POIDS PROPRE DE LA PANNE

$$Pp=10.4 \text{ DAN/ML}$$

2.2 CHARGES D'EXPLOITATIONS

La charge d'exploitation consideree dans notre cas, est le poids de deux ouvriers avec leurs outils, places sur la toiture dans les position les plus defavorables, la toiture etant inaccessible. Nous modelisons cette situation, avec deux charges concentrees $P=100\text{kg}$, l'estimation des moments et des efforts tranchants maximum se fera grace au trace des lignes d'influence d'ou:

$$\begin{aligned} \text{d'où } M_{\max} &= 0.096 \cdot 1.2 \cdot P; l = 6\text{m}; P = 100\text{kg} \\ M_{\max} &= 116 \text{ dan.m} \\ \text{d'où } T_{\max} &= 2 \cdot P \\ T_{\max} &= 200 \text{ dan} \end{aligned}$$

2.3 SURCHARGES CLIMATIQUES

VENT

- Pour un vent normal $V_n = 98.8 \text{ dan}$
- Pour un vent extreme $V_e = 173 \text{ dan}$

Le vent tend a soulever la toiture, nous sommes dans le cas de la charge ascendante.

NEIGE

- Dans le cas de neige normale $N_n = 60 \text{ dan/m}$
- Dans le cas de neige extreme $N_e = 100 \text{ dan/m}$

2.4 COMBINAISON DE CHARGE

Celle pris en compte, est celle qui donne les efforts les plus defavorables.

$$\begin{aligned} Q &= G + N_n; M_Q = MG + Mn \\ &\begin{array}{cccc} 4 & 3 & 4 & 3 \\ 3 & 2 & 3 & 2 \\ (Ct + Pp) & 2 & & \\ MG = \frac{1}{8} & & & = 339.3 \text{ dan.m} \end{array} \\ Mn &= \frac{1}{8} = 270 \text{ dan.m} \end{aligned}$$

d'où $M_Q = 857.40 \text{ dan.m}$

3. PREDIMENTONNEMENT

La panne etant consideree sollicitee en flexion simple.

$$\begin{aligned} \frac{M_x}{W_x} &= \frac{M_x}{I_e} ; M_x = 857.4 \text{ dan.m} \quad I_e = 2400 \text{ cm}^3 \\ \text{d'où } W_x &= \frac{35.73 \text{ cm}^3}{I_e} \end{aligned}$$

d'où $W_x = 35.73 \text{ cm}^3$
Le profile pris est un IPE120 dont $W_x = 53 \text{ cm}^3$.

4 VERIFICATIONS

4.1 A LA RESISTANCE

$$\frac{M_x}{W_x} < \frac{\sigma_e}{\sigma} ; M_x = 857.4 \text{ dan.m} ; \sigma_e = 2400 \text{ dan} ; W_x = 53 \text{ cm}^2$$

$$\frac{M_x}{W_x} = \frac{da}{m^2} ; \frac{M_x}{W_x} = 1620 \text{ m}^2 ; \frac{M_x}{W_x} < \sigma_e ; \text{La resistance est verifiee.}$$

4.2 A L'EFFORT TRACHANT

$$T_{max} = 0.625 Q_1$$
$$T_{max} = 714.50 \text{ dan} ; \frac{T_{max}}{\max} = \frac{S}{I_a}$$

Avec $S = 30.40 \text{ cm}^3$; $a = 0.44 \text{ cm}$; $I_a = 318 \text{ cm}^4$

$$\text{D'où } \frac{\sigma}{\max} = 155 \text{ dan/m}^2 ; 1.54 \frac{\sigma}{\max} = 238.70 \text{ dan/m}^2$$

Donc $1.54 \frac{\sigma}{\max} < \sigma_e$.

L'effort tranchant est verifie.

4.3 VERIFICATION DE LA FLECHE

$$f_x = \frac{Q_x \cdot 1}{192EI} \quad \text{avec } Q_x = G + N_n = 135.4 \text{ dan}$$

d'où $f_x = 1.35 \text{ cm}$

D'apres les regles CM66, en ce qui concerne les elements de toiture flechies, la fleche admissible est $1/200$ de la portee. (art-5.253 CM66).

Donc $\frac{f_x}{200} = 3 \text{ cm}$; Nous avons bien $f_x < \frac{f}{200}$, la fleche est verifiee.

4.4 VERIFICATION AU DEVERSEMENT

$$d = 4 \quad 10 = \frac{6I_y h^2}{Ix} (-) (D-1) \quad B \quad C$$

Determination des coefficients D, B et C.

$$D = \frac{0.56 J_1}{1 + \frac{I_y h^2}{Iy^2}} ; D = 5.01 \text{ J} ; \text{Moment de torsion } J = 1.71 \text{ cm}^4$$
$$C = 1.132$$

$$B = \frac{BC}{1 + (0.405 - \frac{BC}{D}) - (0.405 - \frac{BC}{D})} = 0.913 ; B = 1$$

$d = 37.487.66 \text{ dan/m}^2 > \sigma_e$

La vérification au déversement n'est donc pas nécessaire.

FONDATIONS

FONDATIONS

1 GENERALITES

La fondation est l'organe qui permet de transmettre les charges au sol. Pour la calculer, il est nécessaire de savoir la valeur de la contrainte du sol qui sera utilisée.

Cette contrainte est en fonction des trois paramètres suivants:

- La contrainte de rupture du sol .
- La contrainte correspondant au tassement maximal acceptable.
- La contrainte maximale autorisée par les règles parasismiques

D'une manière pratique, la contrainte du sol introduite, notée σ_{sol} est soit définie expérimentalement, soit appréciée par l'ingénieur grâce aux renseignements obtenus auprès des constructeurs des ouvrages environnants. ce qui est le cas de notre projet.

2 CALCUL

La méthode de calcul adoptée, est la méthode des massifs. Dans cette méthode, l'encastrement du poteau est considéré réalisé par le massif, qui va reprendre une hauteur suffisante.

La vérification du massif se fait par la méthode de LAZARD.

2.1 ETAPES DE CALCUL

2.1.1 PRINCIPE ET DIMENSIONNEMENT

les données nécessaires pour le prédimensionnement sont les suivantes:

A l'ELS : $N_{min}, N_{max}, M_{ser}, \sigma_{sol}$ ser

A l'ELU : $N_{ul}, M_{ul}, \sigma_{sol ul}$

a

$\frac{g}{b}$: rapport de la dimension de la section du poteau.

N: Effort normal; M: Moment fléchissant; σ_{sol} : contrainte du sol

Que l'on soit à l'ELS ou à l'ELU, le prédimensionnement se fait grâce à la formule:

ou N : Effort normal maximal.

$$\frac{N_{max}}{A} < \sigma_{sol}$$

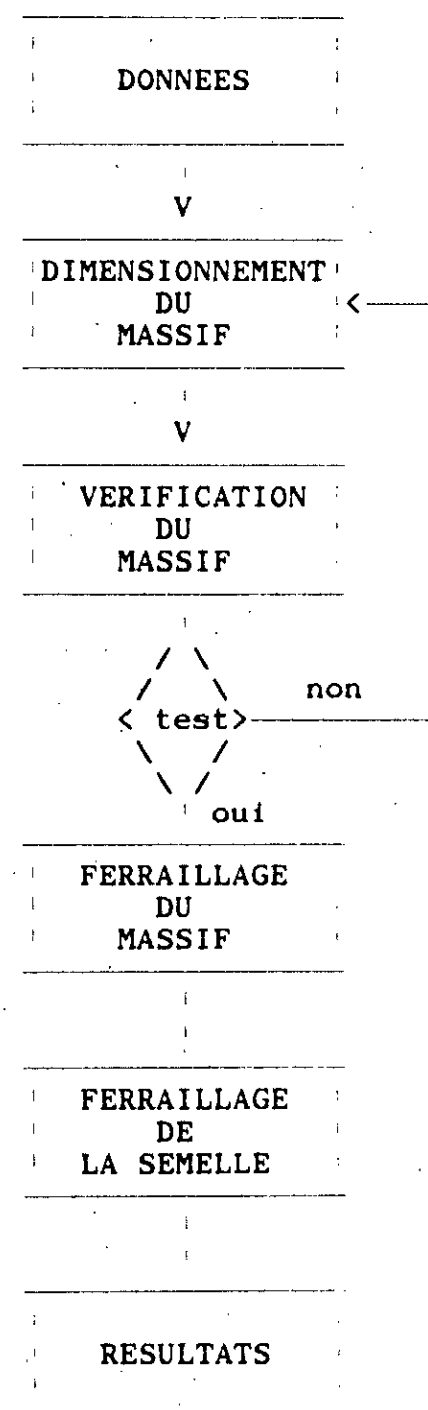
A B

A et B: Dimension de la section du massif avec : A

$$\frac{g}{B}$$

La section qui vérifiera les deux états limites sera prise.

3 ORGANIGRAMME DE CALCUL DE LA FONDATION



2.1.2 VERIFICATION DU MASSIF

Pour operer cette verification les
donnees suivantes sont necessaires:

- h:Hauteur du massif
 - b:La plus grande dimension en plan du massif
 - a:La plus petite dimension en plan du massif
 - e:La plus petite des (a et b)
 - Δ :Masse volumique du massif.

Cette vérification s'opère pour l'ELS.

Nous devons vérifier que le coefficient de sécurité est supérieur à 1.5. Ce coefficient de sécurité n'est autre que le rapport du moment de rupture sur le moment de service.

donc $\frac{M_{rup}}{M_{ser}} > 1.5$ (2/3)

K'' et K''' sont des coefficients dont voici les expressions:

$$K'' = 0.5136 - \frac{0.175}{\frac{b}{1} + \frac{0.544}{e}} ; \quad K'' = 2.8 - \frac{96.5}{68.5 + \left(\frac{N_{min}}{10^{abea}} \right)} (1 + 0.45 \frac{e}{a})$$

2.1.3 FERRAILLAGE

Les données nécessaires pour le calcul du fer-
raillage sont:

- La nature de la fissuration tolérée.
 - La nature de l'acier et sa contrainte limite.

Le but des armatures du massif est de l'interresser dans sa totalite à la flexion.

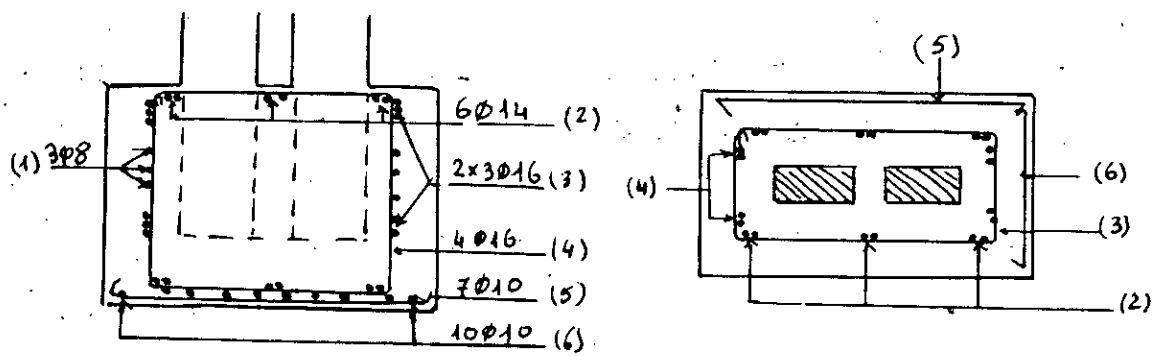
-resser dans sa totalité, à la traction. Les couples formés par les forces F_1 dans les armatures horizontales du massif, et les forces F_2 dans celle verticale, doivent équilibrer le moment, que l'on soit à l'ELU ou à l'ELS.

Le feraillage est calcule de la maniere suivante/

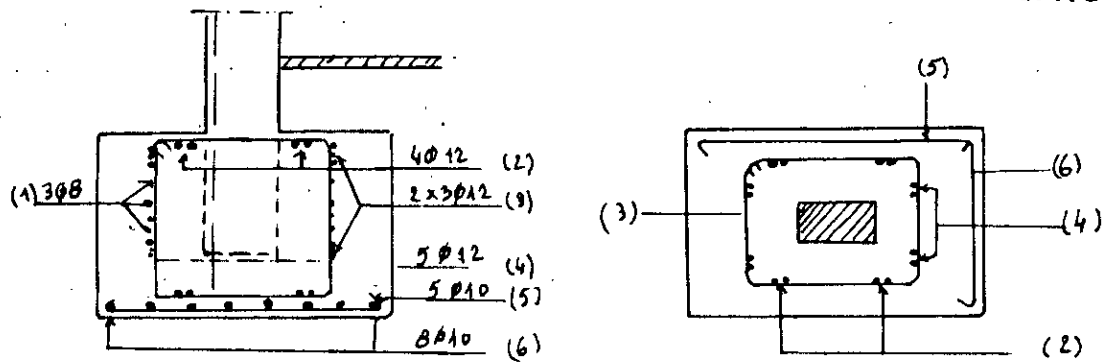
$$F_i = \frac{M}{L_i} \quad \text{et} \quad A_i = \frac{F_i}{S}$$

PRINCIPALES DIMENSION
ET ARMATURES POUR
LES FONDATIONS

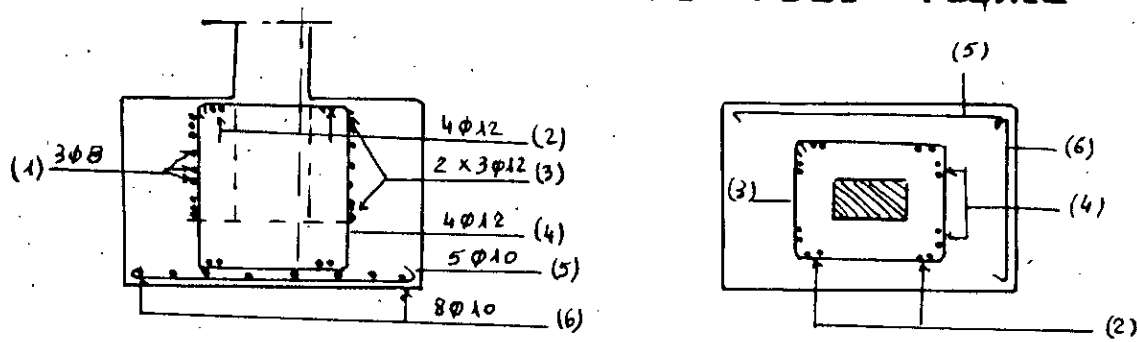
FONDATIONS	LONGUEUR DU MASSIF	LARGEUR DU MASSIF	ARMATURES HORIZONT.	ARMATURES VERTIC.
POTEAUX SOUS PANNE	2.8m	1.8m	10.8 cm	7.95cm
NIVEAU JOINT				
POTEAU SOUS PANNE	2.2m	1.1m	6.79cm	5.65cm
POTEAU SOUS FERME	1.8m	1.0m	6.68cm	5.35cm



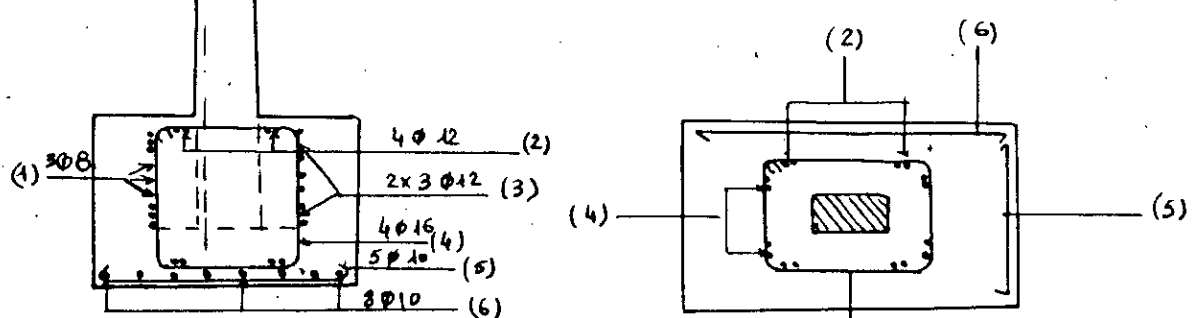
**Encastrement et Fondation
Poteaux sous Parre (niveau joint)**



**Encastrement et Fondation
Poteau sous Parre**



Poteau sous Parre de rive



Poteau sous ferme

CONCLUSION

Ce procede parait parfaitement adapte a la realisation d'usine,fabriques,entrepots,magazins,supermarches,gymnases garage,salles de reunion etc... .

Les avantages de ce procede sont dus d'une part a la structure proprement dite c-a-d:

*Absence d'entretient,tenue au feu importante

*Legerete de cette ossature (55 kg/m²) d'où facilite de transport,economie sur les engins de levage,economie sur les materiaux,economie sur les descentes de charge et donc sur les fondations

*Grande portee

*Temps de montage de l'ossature extremement court (0.10 H/m²) Par ailleur les avantages de ce procede depassent ceux de l'ossature proprement dite.

-En effet,du fait de la facilite de montage de la couverture en bacs d'acier de 12m de longeur fixes tous les 6m (TN40),le temp de pose est de l'ordre de 0.70 H/m² et en outre ,cette operation peut etre realiser a la main

-Les corps d'état secondaires peuvent travailler a l'abris dans un delai tres brefs

-Du fait de l'écartement des poteaux de facade (trame de 5 a 6m),la pose de la facade est egalement accelerée.

Il s'agit donc d'un procede au caracteristiques technique exceptionnelles de fabrication simples,de faible poids ,de pose rapide sur de grande surface et de bon marche,que nous avons eu plaisir a decouvrir et a etudier ,neanmoins,tant que des equivoques existeront pour son utilisation en zone II et III ce procede sera en desaccord avec l'article 2.4 du RPA88,RPA88,et cela causera des problemes a tout ceux qui auront a l'utiliser,dans notre pays.

BIBLIOGRAPHIE

EGLEMENTS

REGLES BPEL 83 ET ANNEXES

REGLES NEIGE ET VENT

REGLES CM66

REGLEMENT PARASISMIQUE ALGERIEN (RPA 88)

REGLES BAEL80

-OVRAGES

PROJET DE BETON PRECONTRAINTE <LACROIX ET FUNTES>

PRATIQUE DU BETON PRECONTRAINTE
<DREUX>

CALCUL DES OUVRAGES EN BETON PRECONTRAINTE <LACROIX ET FUENTES>

GUIDE PRATIQUE DUTILISATION DES REGLES BAEL80 <CAPRA ET
AVDOVICI>

COURS SUPERIEUR DE BETON ARME SUIVANT RBAEL80 <PAUL DINNEQUIN>

DM

LA METHODE DE CROSS <CHARON>
THEOREME ET APPLICATION

RDM APPLIQUEE TOME I ET II <COIN ET ALBIEGES>

IDE MEMOIRE

RDM

BETON PRECONTRAINTE

OCUMENT PARTIQUILIER

NOTICE DE GUIRODIE AUFFEVE

OGICIEL UTILISE

SAP80

STAPBEAM

HESE

BATIMENTS INDUSTRIELS A OSSATURE EN BP

MAMERI-L, SETTOUANE KL> ENP JUIN 1986.

ETUDE DE LA STRUCTURE EN BETON PRECONTRAINTE D'UN BATIMENT

INDUSTRIEL <BAHI N.M.DAoudi> IN.FOR.BA

BIBLIOGRAPHIE

REGLEMENTS

- REGLES BPEL 83 ET ANNEXES
 - REGLES NEIGE ET VENT
 - REGLES CM66
 - REGLEMENT PARASISMIQUE ALGERIEN (RPA 88)
 - REGLES BAEL80

OUVRAGES

- PROJET DE BETON PRECONTRAINTE < LACROIX ET FUNTES >
 - PRATIQUE DU BETON PRECONTRAINTE
< DREUX >
 - CALCUL DES OUVRAGES EN BETON PRECONTRAINTE < LACROIX ET FUENTES >
 - GUIDE PRATIQUE D'UTILISATION DES REGLES BAEL80 < CAPRA ET DAVIDOVICI >
 - COURS SUPERIEUR DE BETON ARME SUIVANT RBAEL80 < PAUL DINNEQUIN >

RDM

- LA METHODE DE CROSS <CHARON>
THEOREME ET APPLICATION
 - RDM APPLIQUEE TOME I ET II <COIN ET ALBIEGES>

AIDE MEMOIRE

- ## **-RDM -BETON PRECONSTRAINT**

DOCUMENT PARTICULIER

- ## -NOTICE DE GUIRODIE AUFFEVE

LOGICIEL UTILISE

- SAP80
-STAPBEAM

THESE

- BATIMENTS INDUSTRIELS A OSSATURE EN BP
<MAMERI-L, SETTOUANE KL> ENP JUIN 1986.
 - ETUDE DE LA STRUCTURE EN BETON PRECONTRAINTE D'UN BATIMENT
INDUSTRIEL <BAHI N.M.DAoudi> IN.FOR.BA

9/90

وزارة التعليم العالي
MINISTERE DE L'ENSEIGNEMENT SUPERIEUR

المدرسة الوطنية المتعددة التقنيات
BIBLIOTHEQUE — المكتبة
Ecole Nationale Polytechnique

ECOLE NATIONALE POLYTECHNIQUE

DEPARTEMENT : GENIE CIVIL

2ex

PROJET DE FIN D'ETUDES

SUJET

ETUDE D'UNE STRUCTURE MIXTE

(BA. BP. CM)
ANNEXE

Proposé par :

E.B.A

Etudié par :

M.S. BRAHAM CHAOUCH

M. SEDAQUI

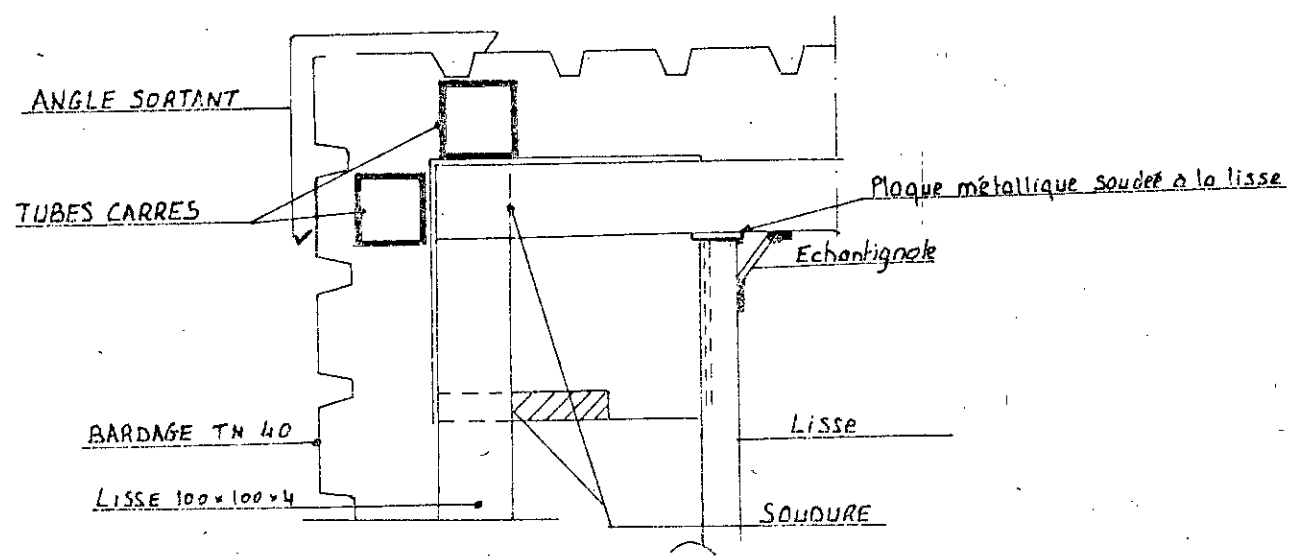
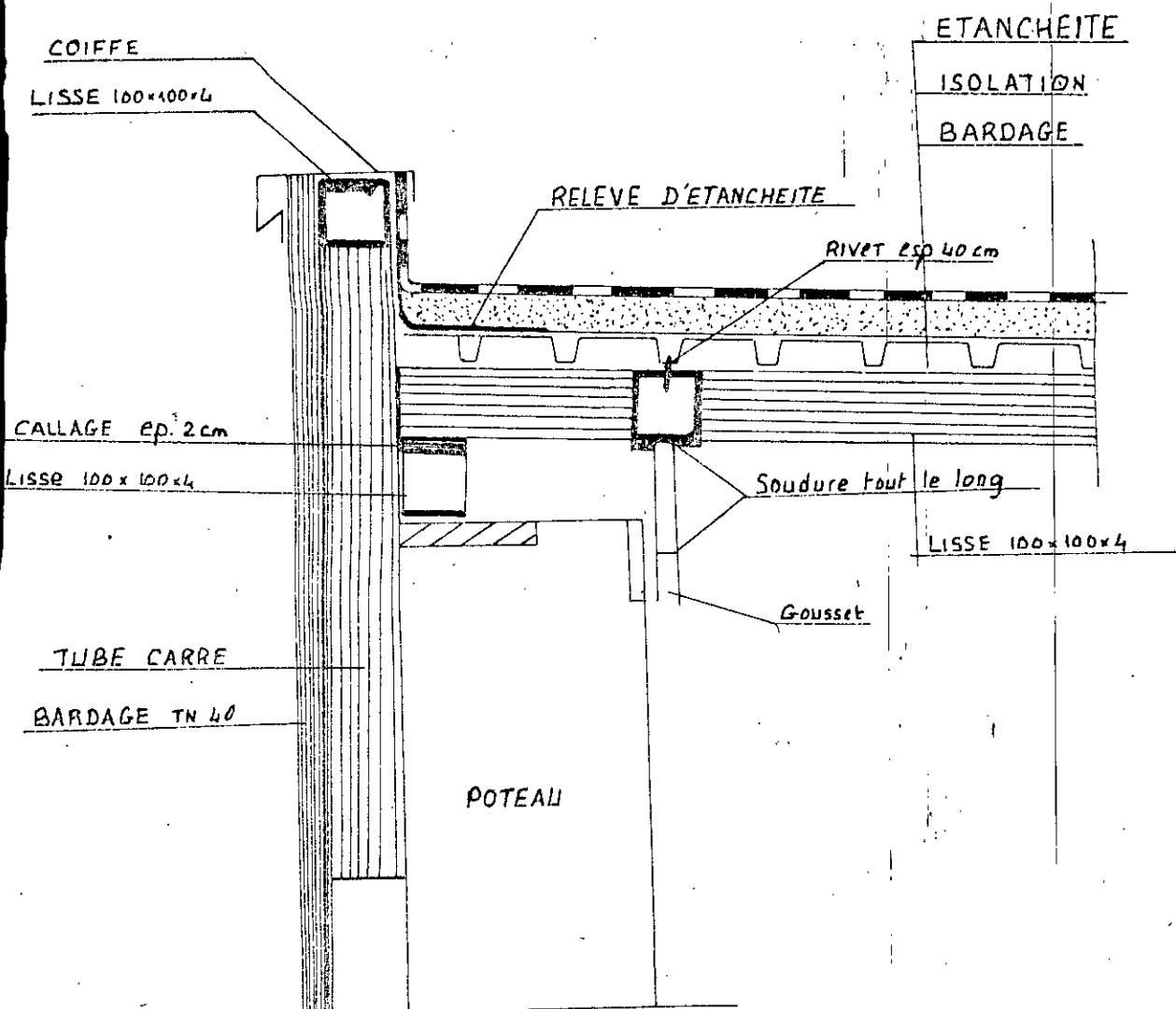
Dirigé par :

Mr BOUTEMEUR

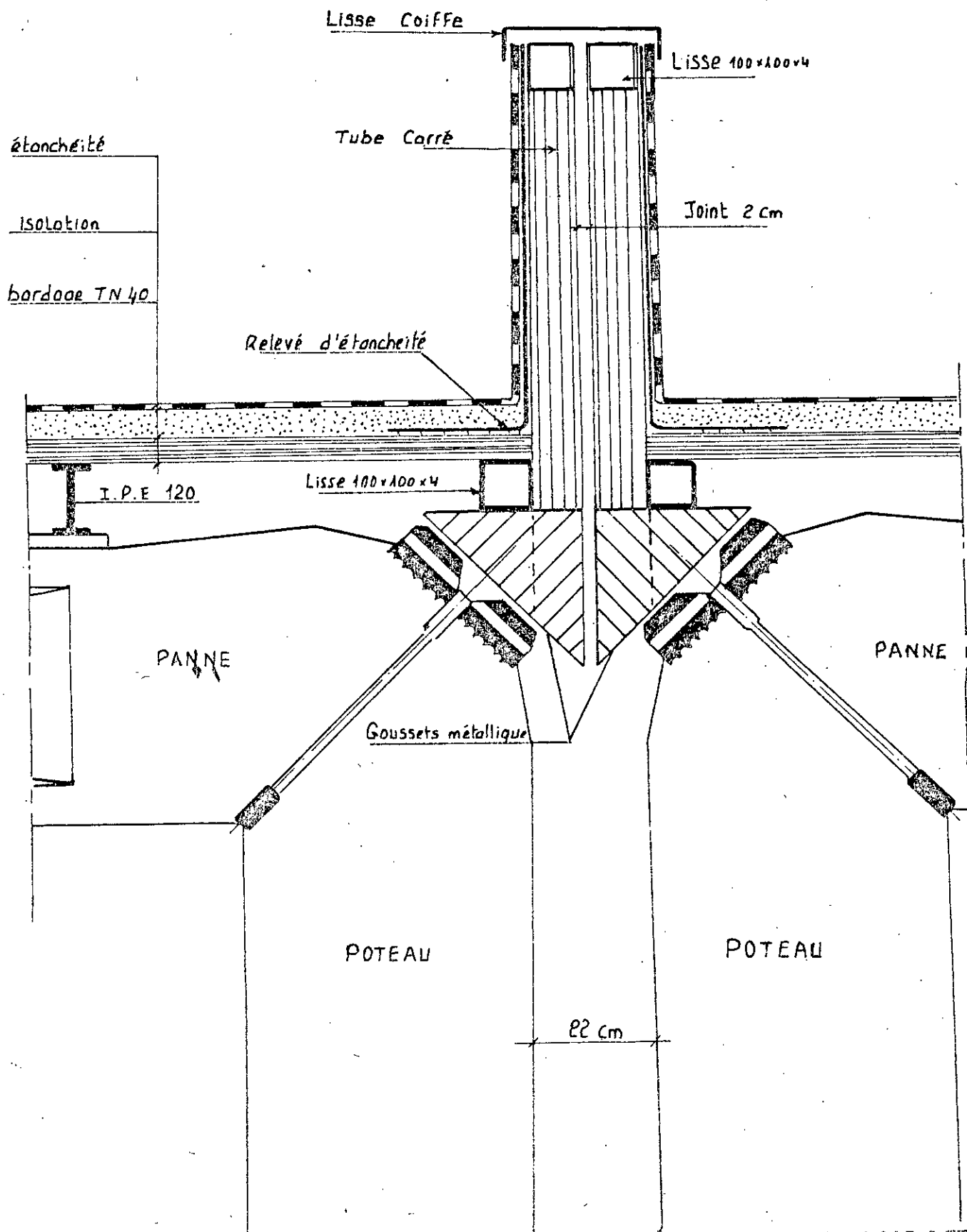
Mr LEFKI

المدرسة الوطنية المتعددة التقنيات
BIBLIOTHEQUE —
Ecole Nationale Polytechnique

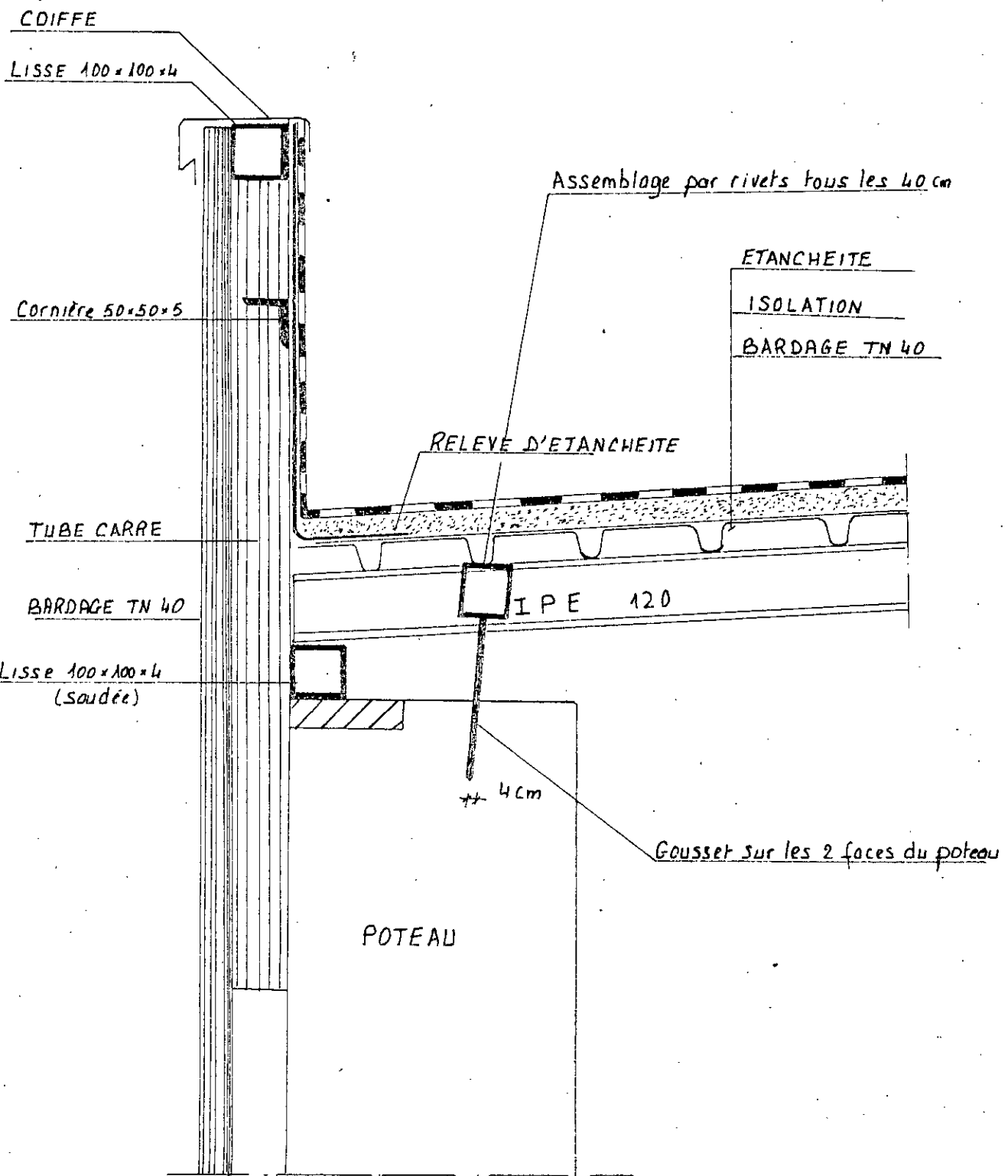
JONCTION POTEAU D'ANGLE

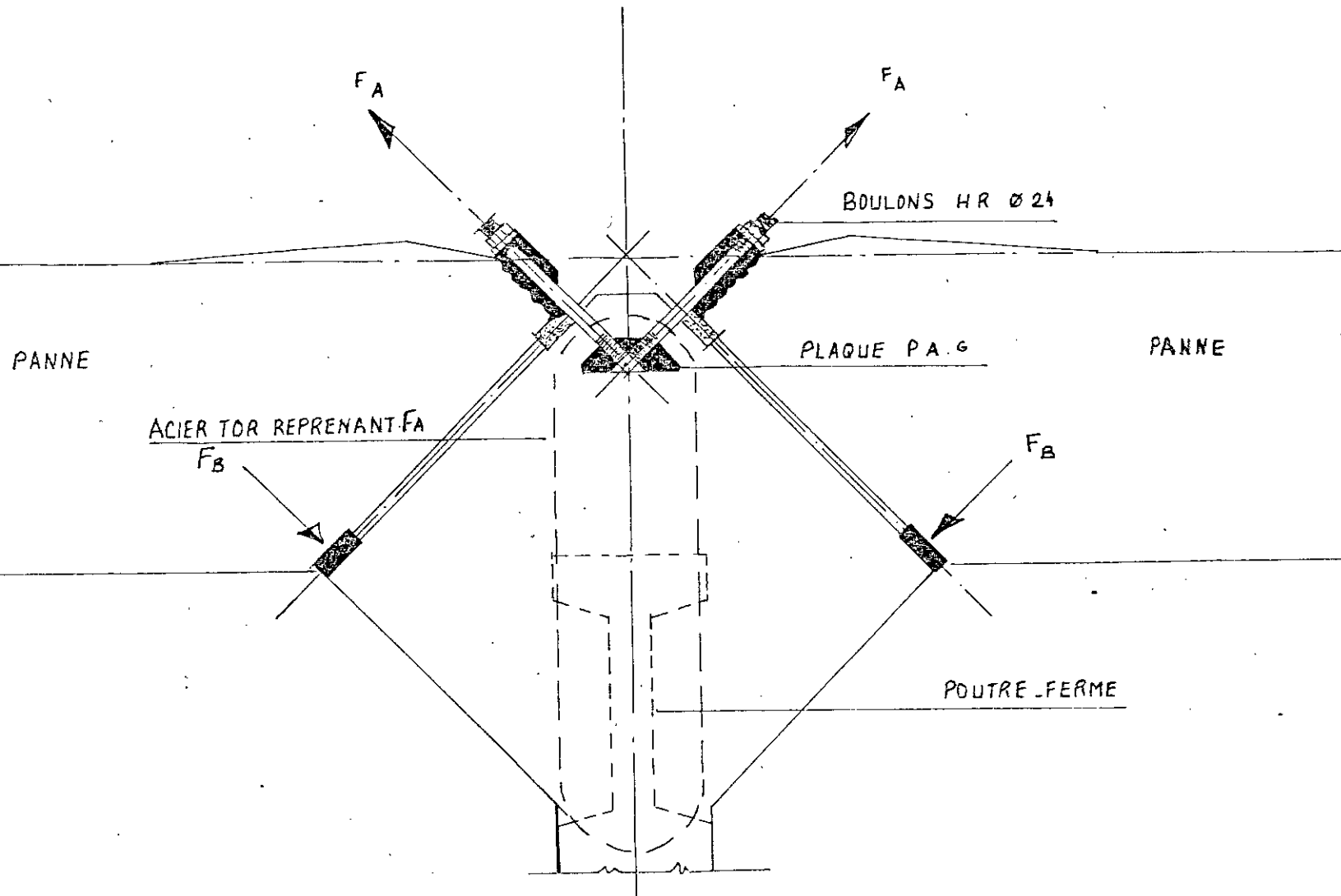


JONCTION POTEAU AU NIVEAU DU JOINT



JONCTION POTEAU AUTOSTABLE

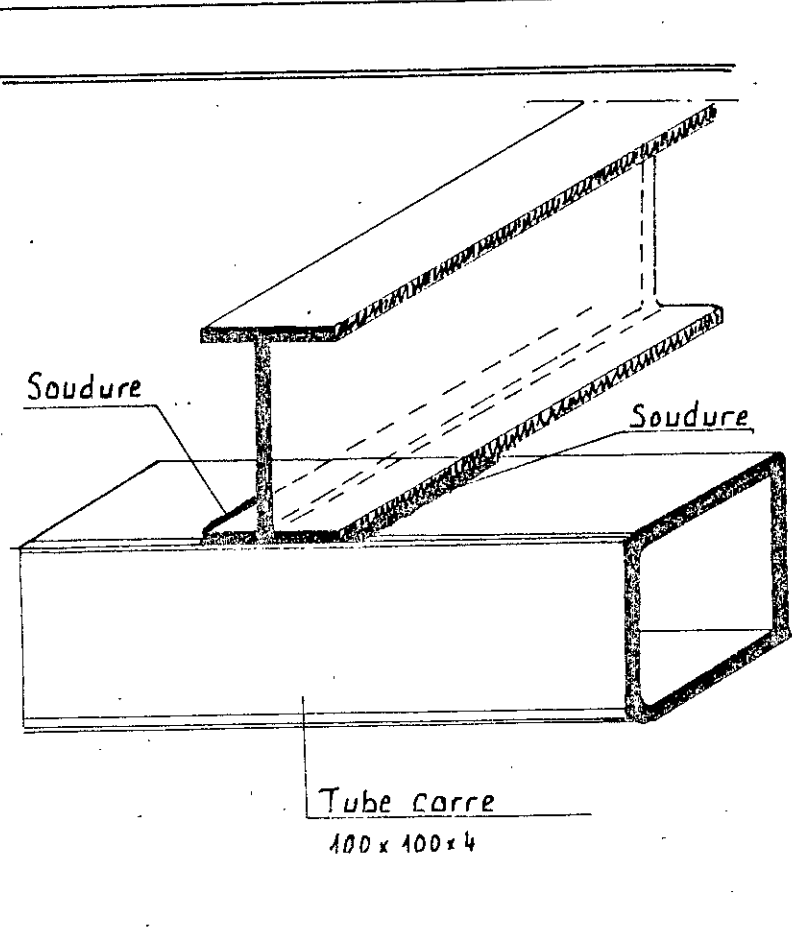
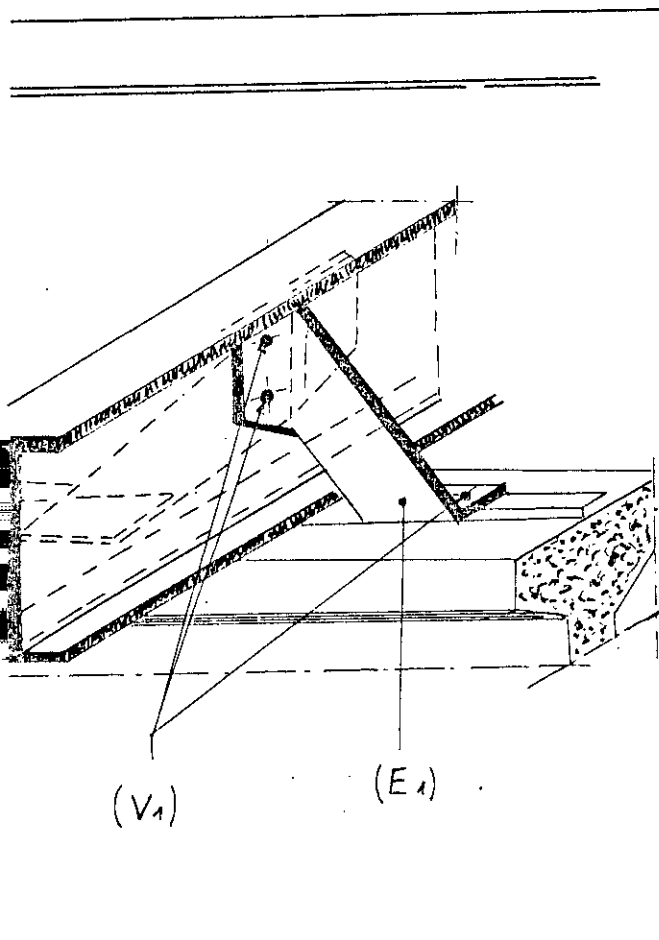
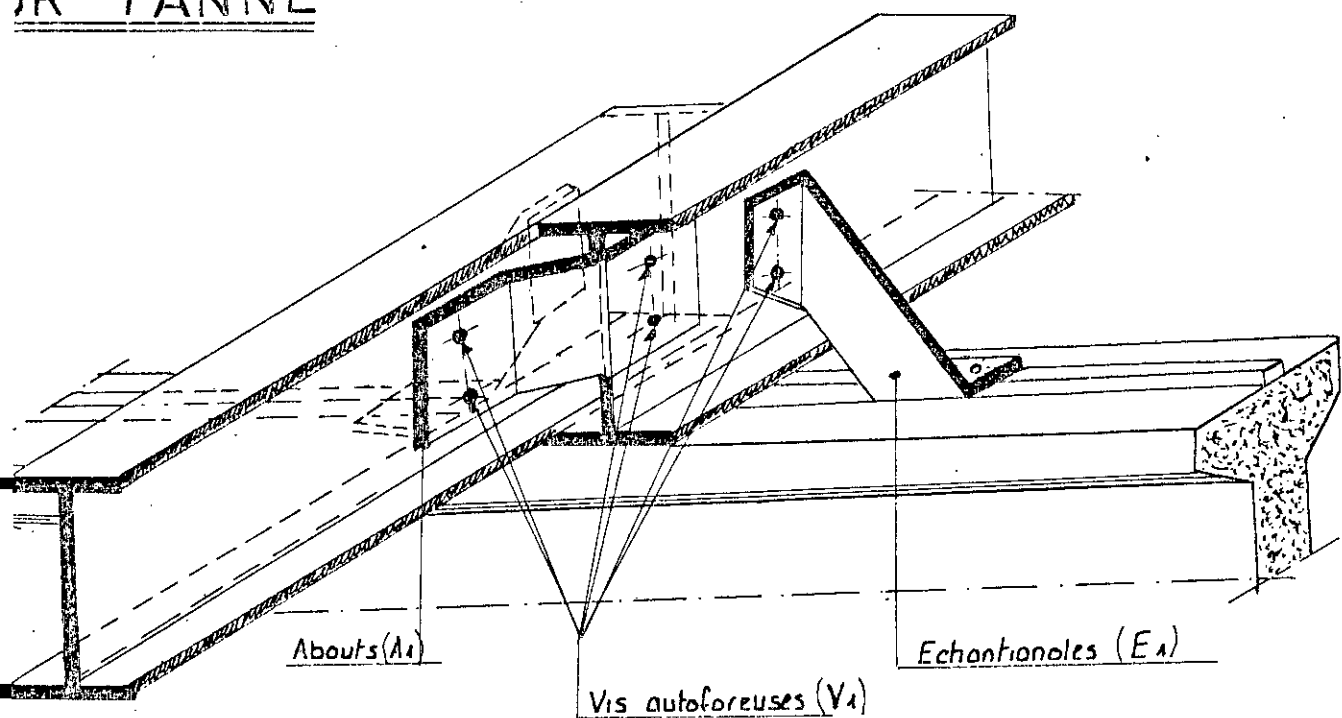




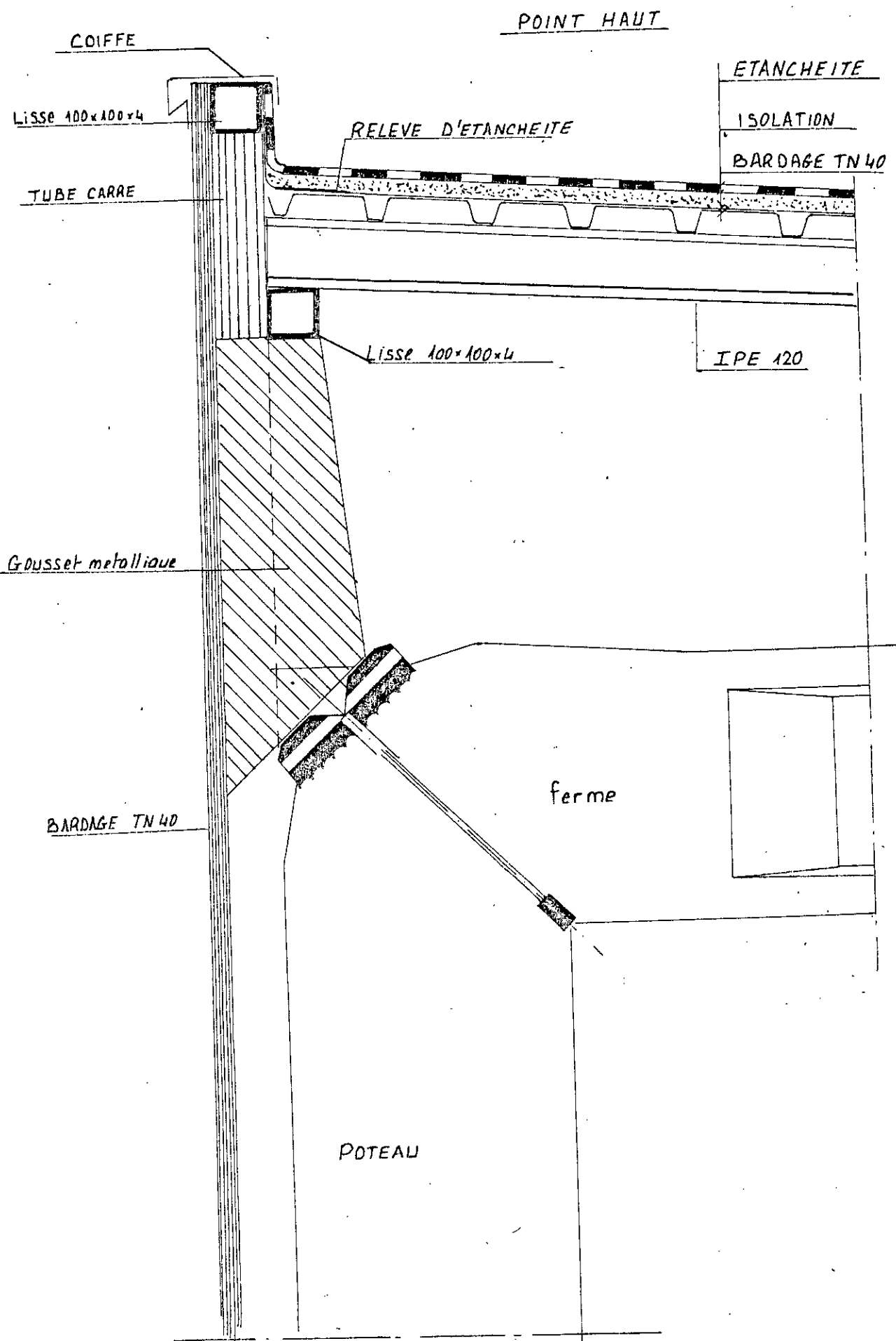
NOEUD CENTRAL

SEMBLAGE DE 2 I.P.E ET FIXATION

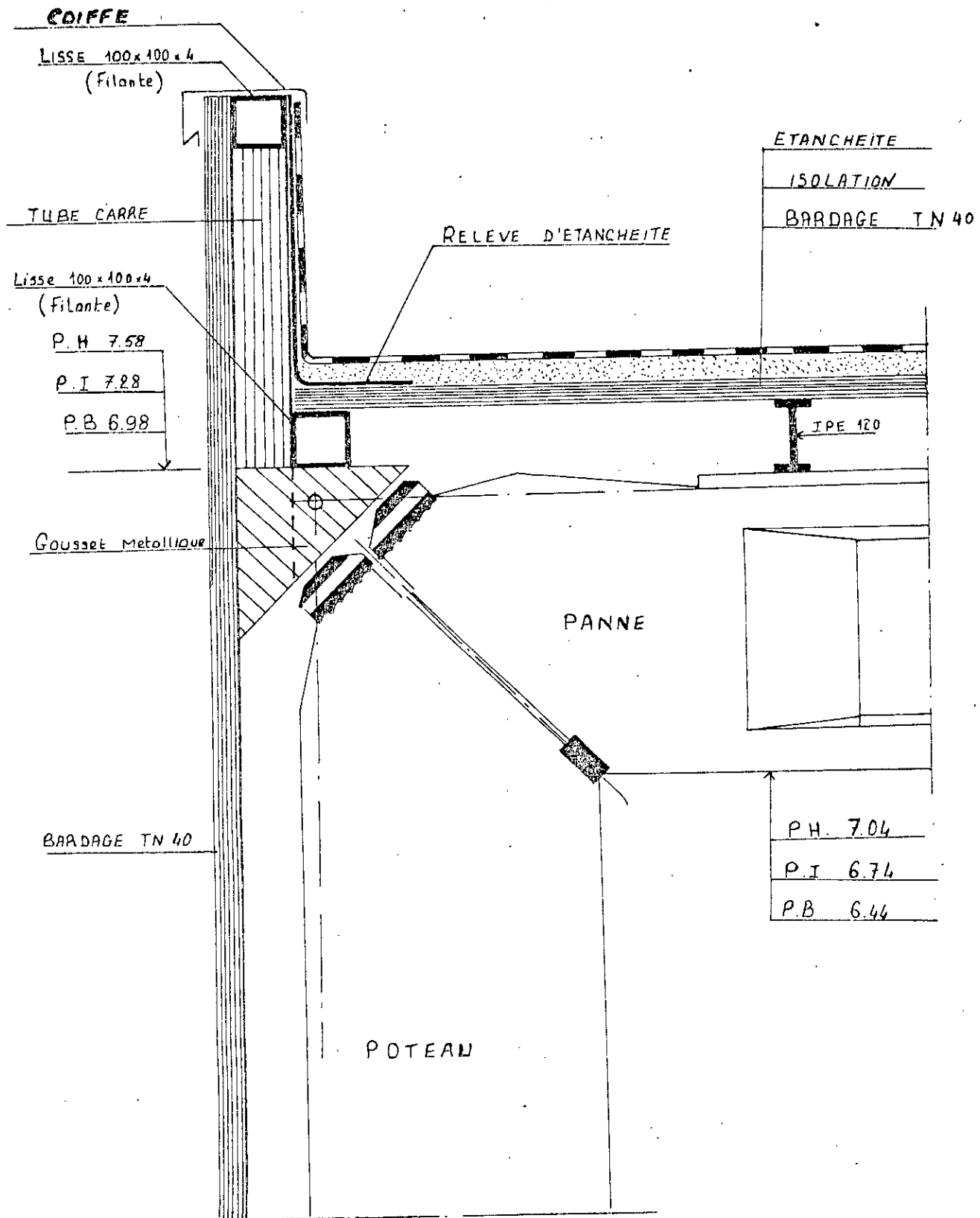
JR PANNE



JONCTION POTEAU FERME

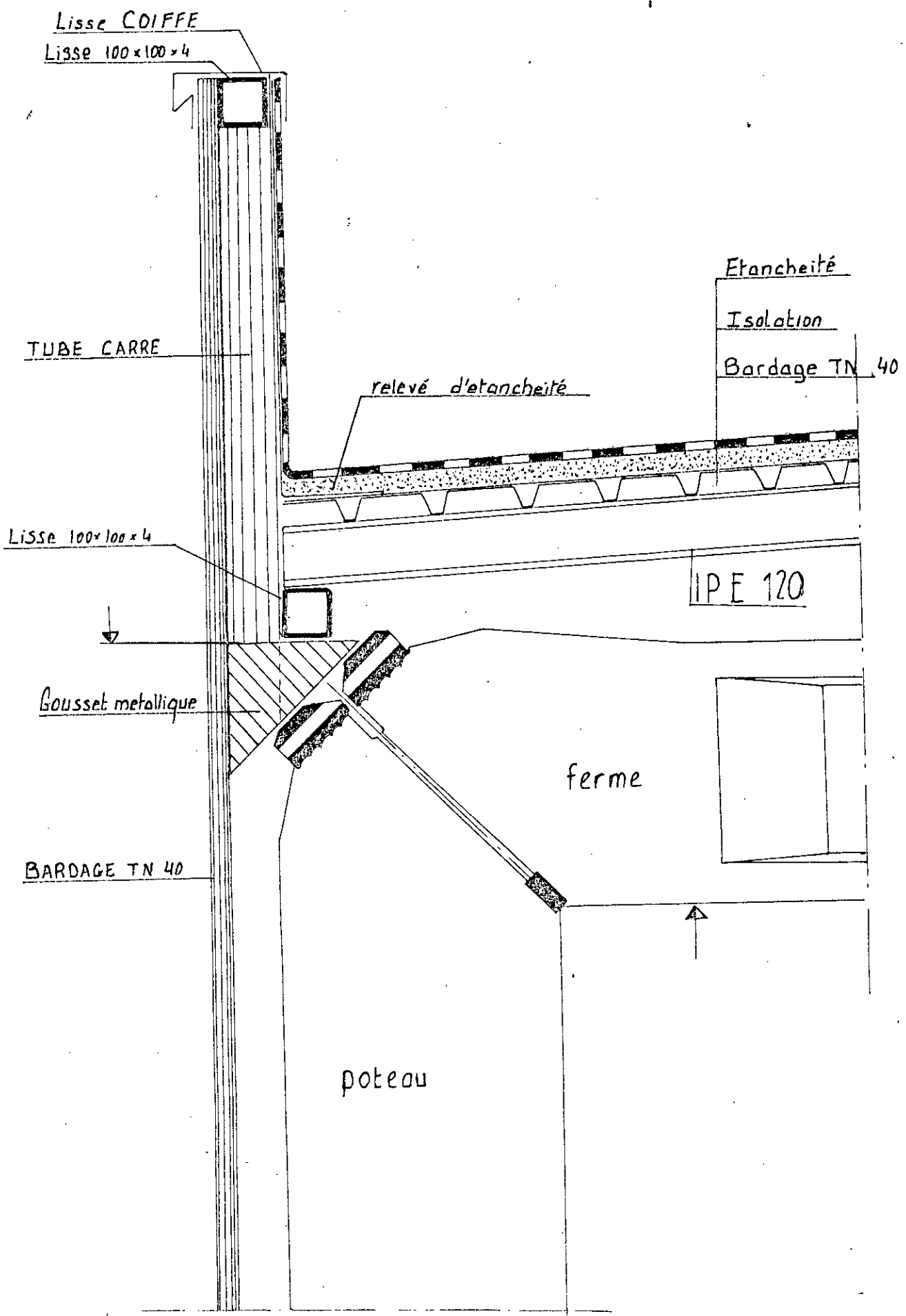


JONCTION POTEAU PANNE



JONCTION POTEAU FERME

point bas



PORTIQUE FERME SOUS CHARGES VERTICALES

SYSTEM

N=11 L=7 : NOMBRE DE NOEUD ET CONDITIONS DE CHARGEMENT
 JOINTS

1 X=0.0 Y=0.0 : COORDONNES DES ELTS
 2 X=11.686 Y=0.00
 3 X=23.372 Y=0.00
 4 X=35.053 Y=0.0
 5 X=0.0 Y=6.71
 6 X=5.843 Y=6.71
 7 X=11.686 Y=6.71
 8 X=17.529 Y=6.71
 9 X=23.372 Y=6.71
 10 X=29.215 Y=6.71
 11 X=35.058 Y=6.71

RESTRAINTS

1,4,1 R=1,1,1,1,1,1 : DEGRES DE LIBERTES
 5,11,1 R=0,0,1,1,1,0

FRAME

NM=3

1	A=738E-4	I=268889E-8	E=3.79E6: POUTRE EN BP
2	A=1425E-4	I=325819E-8	E=3.79E6: POTEAU EN BP
3	A=1225E-4	I=125052E-8	E=3.51E6: POTEAU CENTRAUX EN BA
1	WL=0,-.1976		
2	WL=-.285		
3	WL=.2166		

1,1,5	M=2	NSL=2	LP=1,0
2,2,7	M=3		
3,3,9	M=3		
4,4,11	M=2	NSL=3	
5,5,6	M=1	NSL=1	
6,6,7	M=1	NSL=1	
7,7,8	M=1	NSL=1	
8,8,9	M=1	NSL=1	
9,9,10	M=1	NSL=1	
10,10,11	M=1	NSL=1	

LOADS

5,11,6	F=0,-3.46	L=4
6,10,1	F=0,-6.92	
5,11,6	F=0,-.6	L=5
6,10,1	F=0,-1.2	
5,11,6	F=0,-1.44	L=6
6,10,1	F=0,-2.88	
5	F=4.35	L=7

COMBO

1	C=0,0,0,1	:G
2	C=0,0,0,0,1	:Q
3	C=0,0,0,0,0,1	:N
4	C=0,0,0,1.35,1,1.5	:ELU
5	C=0,0,0,1,1,1	:ELS
6	C=1,1,1	:VENT
7	C=0,0,0,0,0,0,1	:S
8	C=1.2,1.2,1.2,1,1,1	:V G O N
9	C=0,0,0,1,1,1,1.2	

PORTIQUE FERME

FRAME	ELEMENT	FORCES	
ELT LOAD	AXIAL DIST	1-2 PLANE	
ID COMB	FORCE ENDI	SHEAR	MOMENT
<hr/>			
1	-6.62		
		.0	-1.65
		6.7	-1.65
2	-1.15		
		.0	.29
		6.7	-.29
3	-2.76		
		.0	-.69
		6.7	-.69
4	-14.22		
		.0	-3.54
		6.7	-3.54
5	-10.52		
		.0	-2.62
		6.7	-2.62
6	.96		
		.0	.00
		6.7	.00
7	.42		
		.0	1.42
		6.7	1.42
8	-9.38		
		.0	-2.62
		6.7	-2.62
9	-10.02		
		.0	-.91
		6.7	-.91
10	-10.19		
		.0	-1.48
		6.7	-1.48
<hr/>			
2	-14.14		
		.0	.11
		6.7	.11
2	-2.45		
		.0	.02
		6.7	.02
3	-5.88		
		.0	.05
		6.7	.05
4	-30.37		
		.0	.25
		6.7	.25
5	-22.48		
		.0	.18
		6.7	.18
6	.00		
		.0	.00
		6.7	.00
7	-.30		
		.0	.80
		6.7	.80
8	-22.47		
		.0	.18

		.0	1.14	-3.73
10	-22.71	.0	.82	-2.63
		6.7	.82	2.87
3				
1	-14.14	.0	-.11	.26
		6.7	-.11	-.50
2	-2.45	.0	-.02	.04
		6.7	-.02	-.09
3	-5.88	.0	-.05	.11
		6.7	-.05	-.21
4	-30.37	.0	-.24	.55
		6.7	-.24	-1.07
5	-22.47	.0	-.18	.41
		6.7	-.18	-.79
6	.00	.0	.00	.00
		6.7	.00	.00
7	.28	.0	.78	-2.70
		6.7	.78	2.52
8	-22.47	.0	-.18	.41
		6.7	-.18	-.79
9	-22.14	.0	.76	-2.84
		6.7	.76	2.23
10	-22.25	.0	.44	-1.75
		6.7	.44	1.23
4				
1	-6.62	.0	1.65	-3.63
		6.7	1.65	7.44
2	-1.15	.0	.29	-.63
		6.7	.29	1.29
3	-2.76	.0	.69	-1.51
		6.7	.69	3.10
4	-14.22	.0	3.54	-7.79
		6.7	3.54	15.98
5	-10.52	.0	2.62	-5.77
		6.7	2.62	11.83
6	.00	.0	.00	.00
		6.7	.00	.00
7	-.40	.0	1.35	-6.19
		6.7	1.35	2.88

8	-10.52	.0	2.62	-5.77
		6.7	2.62	11.83
9	-11.00	.0	4.24	-13.19
		6.7	4.24	15.29
10	-10.84	.0	3.70	-10.72
		6.7	3.70	14.13

5	-	-	-	-
1	-1.65	.0	3.16	-7.43
		5.8	3.16	11.03
2	-.29	.0	.55	-1.29
		5.8	.55	1.91
3	-.69	.0	1.32	-3.09
		5.8	1.32	4.59
4	-3.54	.0	6.79	-15.97
		5.8	6.79	23.70
5	-2.62	.0	5.02	-11.82
		5.8	5.02	17.54
6	.00	.0	.00	.00
		5.8	.00	.00
7	-2.93	.0	-.42	3.03
		5.8	-.42	.58
8	-2.62	.0	5.02	-11.82
		5.8	5.02	17.54
9	-6.13	.0	4.52	-8.18
		5.8	4.52	18.24
10	-4.96	.0	4.69	-9.39
		5.8	4.69	18.00

6	-	-	-	-
1	-1.65	.0	-3.76	11.03
		5.8	-3.76	-10.93
2	-.29	.0	-.65	1.91
		5.8	-.65	-1.90
3	-.69	.0	-1.56	4.59
		5.8	-1.56	-4.55
4	-3.54	.0	-8.07	23.70
		5.8	-8.07	-23.48
5	-2.62	.0	-5.98	17.54
		5.8	-5.98	-17.38
6	.00	.0	.00	.00
		5.8	.00	.00

7	-2.93	.0	-.42	.58
		5.8	-.42	-1.87
8	-2.62	.0	-5.98	17.54
		5.8	-5.98	-17.38
9	-6.13	.0	-6.48	18.24
		5.8	-6.48	-19.62
10	-4.96	.0	-6.31	18.00
		5.8	-6.31	-18.87

7	-----			
1	-1.53	.0	3.46	-10.43
		5.8	3.46	9.79
2	-.27	.0	.60	-1.81
		5.8	.60	1.70
3	-.64	.0	1.44	-4.34
		5.8	1.44	4.07
4	-3.29	.0	7.43	-22.40
		5.8	7.43	21.02
5	-2.44	.0	5.50	-16.58
		5.8	5.50	15.56
6	.00	.0	.00	.00
		5.8	.00	.00
7	-2.13	.0	-.12	.72
		5.8	-.12	.00
8	-2.44	.0	5.50	-16.58
		5.8	5.50	15.56
9	-4.99	.0	5.35	-15.72
		5.8	5.35	15.55
10	-4.14	.0	5.40	-16.00
		5.8	5.40	15.56

8	-----			
1	-1.53	.0	-3.46	9.79
		5.8	-3.46	-10.43
2	-.27	.0	-.60	1.70
		5.8	-.60	-1.81
3	-.64	.0	-1.44	4.07
		5.8	-1.44	-4.34
4	-3.29	.0	-7.43	21.02
		5.8	-7.43	-22.40
5	-2.44	.0	-5.50	15.56
		5.8	-5.50	-16.58

6	.00	.00	.00
	.0	.00	.00
7	-2.13	.0	.00
	5.8	-.12	.00
8	-2.44	.0	-.72
	5.8	-.12	
9	-4.99	.0	15.56
	5.8	-5.50	-16.58
10	-4.14	.0	15.55
	5.8	-5.65	-17.45
9	-----	-----	-----
1	-1.64	.0	-10.93
	5.8	3.76	11.03
2	-.29	.0	-1.90
	5.8	.65	1.91
3	-.68	.0	-4.55
	5.8	1.56	4.59
4	-3.53	.0	-23.47
	5.8	8.07	23.69
5	-2.61	.0	-17.37
	5.8	5.97	17.54
6	.00	.00	.00
	5.8	.00	.00
7	-1.35	.0	1.80
	5.8	-.40	-.54
8	-2.61	.0	-17.37
	5.8	5.97	17.54
9	-4.24	.0	-15.21
	5.8	5.49	16.89
10	-3.70	.0	-15.93
	5.8	5.65	17.10

10 -----

1	-1.64			
		.0	-3.16	11.03
		5.8	-3.16	-7.44
2	-.29			
		.0	-.55	1.91
		5.8	-.55	-1.29
3	-.68			
		.0	-1.32	4.59
		5.8	-1.32	-3.10
4	-3.53			
		.0	-6.79	23.69
		5.8	-6.79	-15.98
5	-2.61			
		.0	-5.03	17.54
		5.8	-5.03	-11.83
6	.00			
		.0	.00	.00
		5.8	.00	.00
7	-1.35			
		.0	-.40	-.54
		5.8	-.40	-2.88
8	-2.61			
		.0	-5.03	17.54
		5.8	-5.03	-11.83
9	-4.24			
		.0	-5.51	16.89
		5.8	-5.51	-15.29
10	-3.70			
		.0	-5.35	17.10
		5.8	-5.35	-14.13

R E A C T I O N S E T R O T A T I O N S D E S F O R C E S

LOAD COMBINATION 4 - FORCES "F" AND MOMENTS "M"

JOINT	F(X)	F(Y)	M(Z)
1	3.5358	14.2189	-7.7601
2	-.2454	30.3668	.5647
3	.2416	30.3654	-.5515
4	-3.5320	14.2209	7.7911
5	.0000	-7.4310	.0000
6	.0000	-14.8620	.0000
7	.0000	-14.8620	.0000
8	.0000	-14.8620	.0000
9	.0000	-14.8620	.0000
10	.0000	-14.8620	.0000
11	.0000	-7.4310	.0000

R E A C T I O N S A N D A P P L I E D F O R C E S

LOAD COMBINATION 5 - FORCES "F" AND MOMENTS "M"

JOINT	F(X)	F(Y)	M(Z)
1	2.6170	10.5240	-5.7436
2	-.1817	22.4758	.4180
3	.1788	22.4747	-.4082
4	-2.6142	10.5255	5.7665
5	.0000	-5.5000	.0000
6	.0000	-11.0000	.0000
7	.0000	-11.0000	.0000
8	.0000	-11.0000	.0000
9	.0000	-11.0000	.0000
10	.0000	-11.0000	.0000
11	.0000	-5.5000	.0000

R E A C T I O N S A N D A P P L I E D F O R C E S

LOAD COMBINATION 6 - FORCES "F" AND MOMENTS "M"

JOINT	F(X)	F(Y)	M(Z)
1	.0004	-1.9119	-.0001
2	.0001	-.0006	.0000
3	-.0002	.0002	.0007
4	-.0003	.0001	.0013
5	.0000	.0000	.0000
6	.0000	.0000	.0000
7	.0000	.0000	.0000
8	.0000	.0000	.0000
9	.0000	.0000	.0000
10	.0000	.0000	.0000
11	.0000	.0000	.0000

JOINT DISPLACEMENTS

LOAD COMBINATION 4 - DISPLACEMENTS "U" AND ROTATIONS "R"

JOINT	U(X)	U(Y)	R(Z)
1	.000000	.000000	.000000
2	.000000	.000000	.000000
3	.000000	.000000	.000000
4	.000000	.000000	.000000
5	.2285E-03	-.1767E-03	-.1883E-02
6	.000155	-.015775	.000334
7	.000081	-.000474	.000396
8	.000012	-.011439	.000000
9	-.000057	-.000474	-.000396
10	-.000130	-.015770	-.000333
11	-.000204	-.000176	.001879

JOINT DISPLACEMENTS

LOAD COMBINATION 5 - DISPLACEMENTS "U" AND ROTATIONS "R"

JOINT	U(X)	U(Y)	R(Z)
1	.000000	.000000	.000000
2	.000000	.000000	.000000
3	.000000	.000000	.000000
4	.000000	.000000	.000000
5	.1691E-03	-.1308E-03	-.1393E-02
6	.000114	-.011676	.000247
7	.000060	-.000351	.000293
8	.000009	-.008467	.000000
9	-.000042	-.000351	-.000293
10	-.000097	-.011672	-.000246
11	-.000151	-.000131	.001391

LOAD COMBINATION 6 - DISPLACEMENTS "U" AND ROTATIONS "R"

JOINT	U(X)	U(Y)	R(Z)
1	.000000	.000000	.000000
2	.000000	.000000	.000000
3	.000000	.000000	.000000
4	.000000	.000000	.000000
5	.1144E-05	.1187E-04	-.5412E-06
6	.1136E-05	.5935E-05	-.1254E-05
7	.1127E-05	.9952E-08	-.5361E-06
8	.1117E-05	-.8712E-06	.1167E-06
9	.1106E-05	-.2446E-08	.6289E-07
10	.1100E-05	.3583E-06	.3033E-07
11	.1095E-05	-.1486E-08	-.1837E-06

PORIQUE PONT ROULANT H=8.55

SYSTEM

N=8 L=13 : NOMBRE DE NOEUD ET CONDITIONS DE CHARGEMENT

JOINTS

1 X=0.0 Y=0.0 : COORDONNES DES ELTS
2 X=11.53 Y=6.1
2 X=0.0 Y=6.1
4 X=0.0 Y=8.55
5 X=11.53 Y=8.55
6 X=11.53 Y=0.0
7 X=11.045 Y=6.1
8 X=.485 Y=6.1

RESTRAINTS

1,6,5 R=1,1,1,1,1,1 : DEGRES DE LIBERTES
2,5,1 R=0,0,1,1,1,0
7,8,1 R=0,0,1,1,1,0

FRAME

NM=3 NL=6

1 A=638E-4 I=201256E-8 E=3.79E6: POUTRE EN BP
2 A=1325E-4 I=310160E-8 E=3.79E6: POTEAU EN BP
3 A=1325E-4 I=310160E-8 E=3.51E6: CORBEAU EN BA
1 WL=0,-.155 : SOUS G
2 WL=0,-0.05 : SOUS Q
3 WL=0,-.120 : SOUS N
4 WL=-.224
5 WL=.319
6 WL=-.232
1,1,2 M=2 NSL=5 LP=1,0
2,2,3 M=2 NSL=5
3,3,4 M=1 NSL=1,2,3,4
4,4,5 M=2 NSL=6
5,5,6 M=2 NSL=6
6,2,8 M=3
7,5,7 M=3

LOADS

7 F=-2.25,-7 L=11,7 : RMAX
8 F=-2.25,-2.2 L=11,8 : RMIN
2 F=-.8 L=9 : TRANS
5 F=.8 L=10 : TRANS
2 F=1.92 L=12
3 F=3;12 L=13

COMBO

1 C=1
2 C=0,1
3 C=0,0,1
4 C=0,0,0,1,1
5 C=1.35,1,1.5,1.2,1.2,0,1.5,1.5,1.5,1.5,1.35
6 C=1,1,1,1,1,1,1,1,1,0
7 C=1,1,1,0,0,0,1,0,1,0,.8,.8
8 C=0,0,0,0,0,0,0,0,0,1,1
9 C=0,0,0,1,1

STRUCTURAL ANALYSIS PROGRAM

PORTIQUE PONT ROULANT H=8.55

FRAME ELEMENT FORCES

ELT ID	LOAD COMB	AXIAL FORCE	DIST ENDI	1-2 PLANE SHEAR	MOMENT	
1		.86				POTEAU 1 (inf)
			.0	-.24	.69	
			6.1	-.24	-.79	
2		-.29				
			.0	-.08	.22	
			6.1	-.08	-.25	
3		-.69				
			.0	-.19	.53	
			6.1	-.19	-.61	
4		-.71				
			.0	-1.29	6.94	
			6.1	-1.29	-.93	
5		-15.36				
			.0	-6.25	24.78	
			6.1	-6.25	-13.36	
6		-9.82				
			.0	-2.45	8.97	
			6.1	-2.45	-5.99	
7		-7.36				
			.0	-2.07	7.32	
			6.1	-2.07	-5.30	
8		-.68				
			.0	-.93	4.81	
			6.1	-.93	-.85	
9		-.71				
			.0	-1.29	6.94	
6.1		-1.29				
				-.93		
2						POTEAU 1 (sup)
1		-.50				
			.0	-.24	-.79	
			2.5	-.24	-1.38	
2		-.29				
			.0	-.08	-.25	
			2.5	-.08	-.45	
3		-.69				
			.0	-.19	-.61	
			2.5	-.19	-1.07	
4		-.71				
			.0	-1.29	-.93	
			2.5	-1.29	-4.10	
5		-3.40				
			.0	-2.02	-6.67	
			2.5	-2.02	-11.60	
6		-1.99				
			.0	-1.65	-1.52	
			2.5	-1.65	-5.57	
7		-1.73				
			.0	-1.00	-1.90	
			2.5	-1.00	-4.36	
8		-.68				
			.0	-.60	-.85	
			2.5	-.60	-2.31	
9		-.71				
			.0	-1.29	-.93	
			2.5	-1.29	-4.10	

3 ----- panne

1	-.24		
	.0	.89	-1.38
	5.8	.00	1.19
	11.5	-.89	-1.38
2	-.08		
	.0	.29	-.45
	5.8	.00	.38
	11.5	-.29	-.45
3	-.19		
	.0	.69	-1.07
	5.8	.00	.92
	11.5	-.69	-1.07
4	.00		
	.0	.71	-4.10
	11.5	.71	4.10
5	-.47		
	.0	3.93	-11.60
	8.9	.00	5.95
	11.5	-1.14	4.47
6	-.36		
	.0	2.38	-5.57
	7.3	.00	3.13
	11.5	-1.37	.24
7	-1.00		
	.0	2.12	-4.36
	6.5	.00	2.54
	11.5	-1.63	-1.55
8	-.60		
	.0	.36	-2.31
	11.5	.36	1.85
9	.00		
	.0	.71	-4.10
	11.5	.71	4.10

4 ----- POTEAU 2 (sup)

1	-.61		
	.0	.24	-1.38
	2.5	.24	-.79
2	-.29		
	.0	.08	-.45
	2.5	.08	-.25
3	-.69		
	.0	.19	-1.07
	2.5	.19	-.61
4	.71		
	.0	-1.29	4.10
	2.5	-1.29	.93
5	-.75		
	.0	-1.08	4.47
	2.5	-1.08	1.82
6	-1.09		
	.0	-.93	.24
	2.5	-.93	-2.04
7	-1.35		
	.0	1.00	-1.55
	2.5	1.00	.91
8	.36		
	.0	.60	1.85
	2.5	.60	3.32
9	.71		

		.0	-1.29	4.10	
		2.5	-1.29	.93	
5		POTEAU 2 (inf)			
1	.38				
		.0	.24	-.79	
		6.1	.24	.69	
2	-.29				
		.0	.08	-.25	
		6.1	.08	.22	
3	-.69				
		.0	.19	-.61	
		6.1	.19	.53	
4	.71				
		.0	-1.29	.93	
		6.1	-1.29	-6.94	
5	.58				
		.0	-2.92	1.82	
		6.1	-2.92	-16.01	
6	-.09				
		.0	-.13	-2.04	
		6.1	-.13	-2.83	
7	-.35				
		.0	-.80	.91	
		6.1	-.80	-3.32	
8	.36				
		.0	-1.65	3.32	
		6.1	-1.65	-6.76	
9	.71				
		.0	-1.29	.93	
		6.1	-1.29	-6.94	

6 ----- corbeau1

1	.00	.0	.00	.00
		.5	.00	.00
2	.00	.0	.00	.00
		.5	.00	.00
3	.00	.0	.00	.00
		.5	.00	.00
4	.00	.0	.00	.00
		.5	.00	.00
5	-3.04	.0	13.80	-6.69
		.5	13.80	.00
6	.00	.0	9.20	-4.46
		.5	9.20	.00
7	-1.80	.0	7.00	-3.40
		.5	7.00	.00
8	-2.25	.0	.00	.00
		.5	.00	.00
9	.00	.0	.00	.00
		.5	.00	.00

7 ----- corbeau 2

1	.00	.0	.00	.00
		.5	.00	.00
2	.00	.0	.00	.00
		.5	.00	.00
3	.00	.0	.00	.00
		.5	.00	.00
4	.00	.0	.00	.00
		.5	.00	.00
5	3.04	.0	.00	.00
		.5	.00	.00
6	.00	.0	.00	.00
		.5	.00	.00
7	1.80	.0	.00	.00
		.5	.00	.00
8	-2.25	.0	.00	.00
		.5	.00	.00
9	.00	.0	.00	.00
		.5	.00	.00

PORTIQUE AUTOSTABLE H=7.29

F R A M E E L E M E N T F O R C E S

ELT LOAD ID COMB	AXIAL DIST FORCE ENDI	1-2 PLANE	
		SHEAR	MOMENT
1	-1.75		
	.0	-.99	2.38
	7.3	-.99	-4.87
2	-.56		
	.0	-.32	.77
	7.3	-.32	-1.57
3	-1.35		
	.0	-.77	1.84
	7.3	-.77	-3.77
4	-4.95		
	.0	-2.82	6.75
	7.3	-2.82	-13.80
5	-3.67		
	.0	-2.09	4.99
	7.3	-2.09	-10.21
6	-2.31		
	.0	-1.32	3.15
	7.3	-1.32	-6.44
2	-3.86		
	.0	.00	.00
	7.3	.00	.00
2	-1.24		
	.0	.00	.00
	7.3	.00	.00
3	-2.99		
	.0	.00	.00
	7.3	.00	.00
4	-10.93		
	.0	.00	.00
	7.3	.00	.00
5	-8.09		
	.0	.00	.00
	7.3	.00	.00
6	-5.10		
	.0	.00	.00
	7.3	.00	.00
3	-1.75		
	.0	.99	-2.38
	7.3	.99	4.87
2	-.56		
	.0	.32	.77
	7.3	.32	1.57
3	-1.35		
	.0	.77	-1.84
	7.3	.77	3.77
4	-4.95		
	.0	2.82	6.75
	7.3	2.82	-13.80

5	-3.67			
		.0	2.09	-4.99
		7.3	2.09	10.21
6	-2.31			
		.0	1.32	-3.15
		7.3	1.32	6.44
4	-----			
1	-.99			
		.0	1.75	-4.87
		9.4	.00	3.35
		19.8	-1.93	-6.65
2	-.32			
		.0	.56	-1.57
		9.4	.00	1.08
		19.8	-.62	-2.14
3	-.77			
		.0	1.35	-3.77
		9.4	.00	2.59
		19.8	-1.49	-5.15
4	-2.82			
		.0	4.95	-13.80
		9.4	.00	9.49
		19.8	-5.46	-18.83
5	-2.09			
		.0	3.67	-10.21
		9.4	.00	7.02
		19.8	-4.04	-13.93
6	-1.32			
		.0	2.31	-6.44
		9.4	.00	4.43
		19.8	-2.55	-8.79
5	-----			
1	-.99			
		.0	1.93	-6.65
		10.4	.00	3.35
		19.8	-1.75	-4.87
2	-.32			
		.0	.62	-2.14
		10.4	.00	1.08
		19.8	-.56	-1.57
3	-.77			
		.0	1.49	-5.15
		10.4	.00	2.59
		19.8	-1.35	-3.77
4	-2.82			
		.0	5.46	-18.83
		10.4	.00	9.49
		19.8	-4.95	-13.80
5	-2.09			
		.0	4.04	-13.94
		10.4	.00	7.02
		19.8	-3.67	-10.21
6	-1.32			
		.0	2.55	-8.79
		10.4	.00	4.43
		19.8	-2.31	-6.44

```
210 CLS
20 PRINT"-----"
30 PRINT"
40 PRINT"      ENTRER LES DONNEES
50 PRINT"      SUIVANTES
60 PRINT"
70 PRINT"-----"
80 PRINT"      NATURE DE LA FOUTRE
90 PRINT"-----"
100 PRINT"      - Travee isostatique(AP)
110 PRINT"      - solidaire aux poteaux(PT)
120 INPUT A$
130 PRINT"-----"
140 PRINT" A l'etat limite de service
150 PRINT"-----"
160 PRINT"      DONNER LES MOMENTS
170 PRINT"      AVEC LEURS SIGNES
180 PRINT"-----"
190 IF A$="AP" THEN 280
200 PRINT"----- aux noeuds -----"
210 DIM M5(2),M6(2)
220 FOR L8=1 TO 2 STEP 1
230 PRINT"      Max   ","MM(";L8;")="
240 INPUT M5(L8)
250 PRINT"      Min   ","Mm(";L8;")="
260 INPUT M6(L8)
270 NEXT L8
280 PRINT"----- en travee -----"
290 PRINT"      Le moment max MM":INPUT M1
300 PRINT"      Le moment min Mm":INPUT M2
310 PRINT"-----"
320 PRINT"      DONNER LES EFFORTS NORMAUX "
330 PRINT"      AVEC LEURS SIGNES "
340 PRINT"-----"
350 PRINT"      Min   ":"INPUT N5
360 PRINT"      Max   ":"INPUT N6
370 PRINT"-----"
380 PRINT"DONNER LES EFFORTS TRANCHANTS
390 PRINT"      AVEC LEURS SIGNES
400 PRINT"-----"
410 IF A$="PT" THEN 430
420 PRINT"      en appuis":GOTO 440
430 PRINT"      aux noeuds
440 PRINT"-----"
450 DIM V9(2),V8(2)
450 DIM V9(2),V8(2)
460 FOR L9=1 TO 2 STEP 1
470 PRINT"      Max   ":"PRINT"T(";L9;")=" "
470 PRINT"      Max   ":"PRINT"T(";L9;")=" "
480 INPUT V9(L9)
490 PRINT"      Min   ":"PRINT"T(";L9;")=" "
500 INPUT V8(L9)
500 INPUT V8(L9)
510 NEXT L9
520 PRINT"-----"
530 PRINT"      A l'etat limite ultime
530 PRINT"      A l'etat limite ultime
540 PRINT"-----"
```

```
550 PRINT"      DONNER LES MOMENTS
560 PRINT"      AVEC LEURS SIGNES
570 PRINT"-----
580 IF A$="AP" THEN 670
590 PRINT"----- aux noeuds -----
600 DIM U1(2),U2(2)
610 FOR L6=1 TO 2 STEP 1
620 PRINT" Max   ":PRINT"MM(";L6;")="
630 INPUT U1(L6)
640 PRINT" Min   ":PRINT"Min(";L6;")="
650 INPUT U2(L6)
660 NEXT L6
670 PRINT"----- en travee -----
680 PRINT"      Le moment max MM":INPUT UM
690 PRINT"      Le moment min Mm":INPUT UK
700 PRINT"-----
710 PRINT" DONNER L'EFFORT NORMAL MAX
720 PRINT"      AVEC SON SIGNE
730 PRINT"-----
740 INPUT NE
750 PRINT"-----
760 PRINT" DONNER L'EFFORT TRANCHANT
770 PRINT"      AVEC SON SIGNE
780 PRINT"-----
790 IF A$="PT" THEN 810
800 PRINT"      en appuis":GOTO 820
810 PRINT"      aux noeuds
820 PRINT"-----
830 DIM KW(2)
840 FOR LS=1 TO 2 STEP 1
850 PRINT" Max   ":PRINT"TU(";LS;")="
860 INPUT KW(LS)
870 NEXT LS
880 PRINT"-----
890 INPUT" fc28=";WFC28
900 WT28=.6+.06*WFC28
910 WEB28=11000*WFC28t(1/3)
920 PRINT" ----- Situation -----
930 PRINT"      -Durable(D)
940 PRINT"      -Accidentelle(L)
950 INPUT M$:IF M$="D" THEN 980
960 GB=1.15:GS=1
970 GOTO 990
980 GB=1.5:GS=1.15
990 PRINT"-----
1000 PRINT"      VERIFICATION
1010 PRINT"      DE LA SECTION DU BETON
1020 PRINT"-----
1030 GOSUB 3280,
1040 GOSUB 3780
1050 PRINT"----- CLASSE I -----
1060 S1=.6*WFC28:N=0
1070 LEM=M1-M2:K$="1"
1080 M3=M1:M4=M2
1090 GOSUB 4580
1100 IF HK=H9 THEN IF Z=1 THEN 1270
1100 IF HK=H9 THEN IF Z=1 THEN 1270
1110 IF K$="2" THEN 1130
1120 GOSUB 5730:GOTO 1100
```

```

1130 N=N+1:P=N*P0
1140 FOR Q=1 TO N
1150 H=H-Q/100
1160 GOSUB 6140
1170 IF Z=1 THEN
1180 IF HK=H9 THEN 1100
1190 NEXT Q
1200 GOTO 1130
1210 PRINT" VOULEZ VOUS CONTINUER LES
1220 PRINT"           CALCULS
1230 PRINT"     OUI (O);    NON (N)
1240 INPUT V$
1250 IF V$="O" THEN 1310
1260 GOTO 9580
1270 PRINT" LA SECTION PREFABRIQUEE
1280 PRINT"           EST VERIFIEE
1290 PRINT"H=";H:PRINT"N=";N
1300 GOTO 1210
1310 H1=H:H=H9
1320 BS=BAS:NC=N
1330 II=AII:R9=R8
1340 V=AV:VP=VAP
1350 C=CA:CP=ACP
1360 PIR=IRP:I0=I0
1370 RM=RIM:A0=AR0
1380 GOSUB 5830
1390 GOSUB 6140 :E#=K#
1400 PRINT"-----
1410 PRINT"      VERIFICATION DES
1420 PRINT"      CONTRAINTES NORMALES
1430 PRINT"      EN TRAVEES
1440 PRINT"-----
1450 NF=3
1460 FOR X=3 TO NF STEP 1
1470 EEP0=E1
1480 GOSUB 6360
1490 P3=1.02*P-.8*(S0-SP(X,1))*N*AP:P4=.98*P-1.2*(SP(X,1)-SP(X,N1))*N*AP
1500 X3(X)=(S0-SP(X,1))/S0*100:X4(X)=(SP(X,1)-SP(X,N1))/SP(X,1)*100
1510 IF (X3(X)+X4(X))<=20 THEN P4=P-20*P/100:P3=P-(20-X4(X))*P/100
1520 F#=K#: IF F$="1" THEN 1550
1530 PRINT" VERIFIEE EN CLASSE II
1540 S2=-WT28:S4=-1.5*YT
1550 GOSUB 6160
1560 Z(X)=Z: IF Z(X)=1 THEN 1600
1570 IF F$="2" THEN 1590
1580 F$="2":GOTO 1520
1590 PRINT" VERIFIEE EN CLASSE III
1600 W1(X)=W1:W2(X)=W2
1610 W3(X)=W3:W4(X)=W4
1620 'PRINT"-----
1620 'PRINT"-----

```

```

11620 'PRINT"-----
11630 'PRINT" Armatures longitudinales
11640 'PRINT" dans les zones tendues
11650 'PRINT"-----
11660 'PRINT" Partie sup de la poutre
11670 'PRINT"-----
11680 Y=ABS(W1)/(ABS(W1)+W2)
11690 IF S$="R" THEN 1720
11700 IF Y<=H0 THEN 1720
11710 BT=B*H0+(Y-H0)*B0:GOTO 1730
11720 BT=Y*B
11730 NBT=ABS(W1)*BT/2
11740 AS(X)=2*BT/1000+NBT*YT/(EF*ABS(W1))
11750 'PRINT"-----
11760 'PRINT" Partie inf de la poutre
11770 'PRINT"-----
11780 Y1=H*(1-W3/(ABS(W4)+W3))
11790 IF S$="R" THEN 1880
11800 IF S$="I" THEN 1860
11810 IF D$="A" THEN 1830
11820 BT=Y1*B0:GOTO 1890
11830 IF Y1<=A0 THEN 1850
11840 BT=2*A0*t2+B0*(Y1-A0):GOTO 1890
11850 BT=Y1*2*A0:GOTO 1890
11860 IF Y1<=H0 THEN 1880
11870 BT=H0*B+(Y1-H0)*B0:GOTO 1890
11880 BT=B*Y1
11890 NBT=ABS(W4)*BT/2
11900 SA(X)=2*BT/1000+NBT*YT/EF/ABS(W4)
11910 IF X=3 THEN 1930
11920 RETURN
11930 PRINT"-----
11940 PRINT" VERIFICATION DES
11950 PRINT" CONTRAINTES TANGENTIELLES
11960 PRINT"-----
11970 NF=2
11980 FOR X=1 TO NF STEP 1
11990 'ALFA=ASIN(ABS(V9(X)-V8(X))/2/P)
12000 'XK=2*ABS(E1)/TAN(ALFA)
12010 IF A$="AP" THEN 2050
12020 XK=5:ALFA=ATN((H-2*TP)/XK)
12030 E2=H-2.04*TP+E1:EEP0=E2
12040 GOTO 2060
12050 EEP0=0
12060 GOSUB 6360
12070 P5=1.02*P-.8*(S0-SP(X,1))*N*AF
12080 P6=.98*P-1.2*(SP(X,1)-SP(X,N1))*N*AF
12090 VR=ABS(V8(X))-P5*SIN(ALFA)
12100 VE=ABS(V9(X))-P6*SIN(ALFA)
12110 BS=(N5+P5)/BS:B6=(N6+P6)/BS
12120 IF S$="R" THEN 2150
12130 SY=B0*Ht2/2:YS=GY/B0/II
12140 GOTO 2160
12150 SY=B*Ht2/2:YS=SY/B/II
12160 'PRINT"----- en construction-----
12170 O1(X)=(YS*VR)t2:O2(X)=.4*YT*(YT+BS)
12180 IF O1(X)>O2(X) THEN C6=9
12190 O3(X)=2*YT/FY*(.6*FY-B5)*(YT+BS):IF O1(X)>O3(X) THEN C6=9
12200 'PRINT"----- en exploitation-----

```

```

2200 PRINT"---- en exploitation-----
2210 O4(X)=(SY*VE)t2:O5(X)=.4*WT28*(WT28+B6)
2220 IF O4(X)>O5(X) THEN C6=9
2230 O6(X)=2*WT28/WFC28*(.6*WFC28-B6): IF O4(X)>O6(X) THEN C6=9
2240 IF C6=9 THEN 2280
2250 PRINT" contraintes tangentielles
2260 PRINT" verifiees
2270 GOTO 2300
2280 PRINT" contraintes tangentielles
2290 PRINT" non verifiees
2300 NEXT X
2310 IF A$="AP" THEN 2570
2320 PRINT"-----"
2330 PRINT" VERIFICATION DES
2340 PRINT" CONTRAINTES NORMALES
2350 PRINT" aux noeux
2360 PRINT"-----"
2370 NF=2:EEP0=E2
2380 FOR X=1 TO NF STEP 1
2390 P3=1.02*P-.8*(S0-SP(X,1))*N*AP:P4=.98*P-1.2*(SP(X,1)-SP(X,N1))*N*AP
2400 X3(X)=(S0-SP(X,1))/S0*100:X4(X)=(SP(X,1)-SP(X,N1))/SP(X,1)*100
2410 IF X4(X)<=X6 THEN P4=X6*P/100
2420 J$=K$: IF J$="1" THEN 2460
2430 PRINT" VERIFICATION EN CLASSE II"
2440 S2=-WT28:S4=-1.5*YT
2450 M3=M5(X):M4=M6(X)
2460 GOSUB 6160
2470 Z(X)=Z: IF Z(X)=1 THEN 2510
2480 IF F$="2" THEN 2500
2490 GOTO 2430
2500 PRINT" VERIFIEE EN CLASSE III "
2510 W1(X)=W1:W2(X)=W2
2520 W3(X)=W3:W4(X)=W4
2530 NEXT X
2540 FOR X=1 TO 2
2550 GOSUB 1620
2560 NEXT X
2570 PRINT"-----"
2580 PRINT" Etat limite ultime(ELU)
2590 PRINT"-----"
2600 PRINT" Justification de la resistance
2610 PRINT"-----"
2620 PRINT" Sollicitation normales
2630 NF=3:U3=UK
2640 U4=UM
2650 FOR X=3 TO NF
2660 GOSUB 2710
2670 GOSUB 3110
2680 GOSUB 2790
2690 NEXT X
2700 GOTO 2960
2710 PM=P-(S0-SP(X,N1))*AP*N
2720 F1=PM/AP/N:G1=F1/EP
2730 F2=(PM+NE)/BS+(PM*E1+U3)*E1/II
2740 D1=5*F2/EP:F3=EF/GS
2750 G2(X)=.01:G3(X)=.0035
2760 Y3=.95*G3(X)/(G3(X)+G2(X))
2770 D2=(H-TP-Y3)*G3(X)/Y3:G4=G1+D1+D2
2780 RETURN
2790 Y3=.95*G3(X)/(G3(X)+G2(X))
2800 IF S$="R" THEN 2830

```

```

32800 IF S$="R" THEN 2830
2810 IF Y3<=H0 THEN 2830
2820 BC(X)=B0*Y3:GOTO 2840
2830 BC(X)=B*Y3
2840 NU1=BC(X)*.85*WFC28/GB-AP*N*D3-SA(X)*F3
2850 IF NU1>PM THEN 2900
2860 G2(X)=G2(X)-.0001
2870 IF G2(X)<.00174 THEN F3=200000*G2(X)
2880 IF ABS(NU1-PM)<.01 THEN 2930
2890 GOTO 2790
2900 G3(X)=G3(X)-.0001 :PRINT"G3(X)";G3(X)
2910 IF ABS(NU1-PM)<.01 THEN 2930
2920 GOTO 2790
2930 MB(X)=BC(X)*.85*WFC28/GB*(H-.4*Y3-TP)+SA(X)*(2*H-TP-.01)*F3
2940 IF MB(X)>ABS(U4) THEN Z9(X)=1
2950 RETURN
2960 PRINT" Sollicitation tangentes"
2970 IF S$="R" THEN 3100
2980 WA=B0
2990 T9=3*WA:ST=.B*H
3000 IF ST>T9 THEN ST=T9
3010 IF ST>1 THEN ST=1
3020 AT=6*WA*ST*GS/EF
3030 FOR X=1 TO 2
3040 KW(X)=ABS(KW(X))-(.98*P-1.2*(S0-SP(X,N1))*AP*N)*SIN(ALFA)
3050 SX=WA*Ht2/2:D0(X)=KW(X)*SX/II/WA
3060 DO=AT*EF/(WA*ST*GS)+WT28/3
3070 IF D0(X)<=DO THEN K6=1
3080 NEXT X
3090 GOTO 3190
3100 WA=B:GOTO 2990
3110 F4=(H-TP)*FEJ/GS
3120 Q8=F4/EP+(GS*F4/FEJ-H-TP)t5
3130 M9=G4-Q8
3140 IF ABS(M9)<.0005 THEN 3170
3150 F4=F4+2:PRINT"G4=";G4
3160 GOTO 3120
3170 D3=F4-F1
3180 RETURN
3190 IF A$="AF" THEN GOTO 3270
3200 PRINT"--Sollicitation normal aux noeuds--"
3210 FOR X=1 TO 2
3220 U3=U2(X):U4=U1(X)
3230 GOSUB 2710
3240 GOSUB 3110
3250 GOSUB 2790
3260 NEXT X
3270 GOTO 7760
3280 PRINT"---"
3290 PRINT" ENTRER UN DES CARACTERES"
3300 PRINT" ENTRE PARENTHESES"
3310 PRINT"---"
3320 PRINT" NATURE DE LA SECTION"
3330 PRINT"
3340 PRINT" - RECTANGULAIRE(R)
3350 PRINT" - EN I(I)
3360 PRINT" - EN Te(T)
3370 PRINT"
3380 PRINT" LA SECTION EST EN"
3390 INPUT S$
3400 IF S$="R" THEN GOTO 3590

```

```

??
3410 IF S$="I" THEN GOTO 3650
3420 PRINT" SECTION AVEC OU SANS TALON
3430 PRINT"           -AVEC TALON (A)
3440 PRINT"           -SANS TALON (S)
3450 INPUT D$
3460 PRINT"   ENTRER LA LARGEURE
3470 PRINT"   DE LA SEMELLE
3480 INPUT"b=";B
3490 PRINT"   ENTRER LA HAUTEURE
3500 PRINT"   DE LA SEMELLE
3510 INPUT"h0=";H0
3520 PRINT"   ENTRER LA LARGEURE
3530 PRINT"   DE L'AME
3540 INPUT"b0=";B0
3550 PRINT"   ENTRER LA HAUTEURE
3560 INPUT"h=";H9
3570 R9=.4
3580 GOTO 3770
3590 R9=1/3
3600 PRINT"   ENTRER LA LARGEURE
3610 INPUT "b=";B
3620 PRINT"   ENTRER LA HAUTEURE
3630 INPUT"h=";H9
3640 GOTO 3770
3650 PRINT"   ENTRER LA LARGEURE
3660 PRINT"   DE LA SEMELLE
3670 INPUT"b=";B
3680 PRINT"   ENTRER LA HAUTEURE
3690 PRINT"   DE LA SEMELLE
3700 INPUT "h0=";H0
3710 PRINT"   ENTRER LA LARGEURE
3720 PRINT"   DE L'AME
3730 INPUT"b0=";B0
3740 PRINT"   ENTRER LA HAUTEURE
3750 INPUT"h=";H9
3760 R9=.5
3770 RETURN
3780 PRINT"
3790 PRINT" LE NOMBRE DES DIFFERENTES
3800 PRINT"           PHASES DE TEMPS
3810 PRINT"           DE REALISATION
3820 INPUT N1
3830 DIM FC(N1),FT(N1),EB(N1),T(N1)
3840 PRINT" LES TEMPS AUX BORNES DE
3850 PRINT" CES PHASES (EN JOURS)
3860 FOR O=1 TO N1 STEP 1
3870 PRINT" T(";O;")=";:INPUT T(O)
3880 FC(O)=.685*LOG(T(O)+1)*WFC28
3890 FT(O)=.6+.06*FC(O)
3900 EB(O)=11000*FC(O)t(1/3)
3910 NEXT O
3920 PRINT"           LE NOMBRE DES
3930 PRINT"           SECTIONS A ETUDIER
3940 INPUT NF
3950 DIM X(NF),R(N1),DR(NF,N1),DC(NF,N1)
3960 DIM O1(NF),O2(NF),O3(NF),O4(NF),O5(NF)
3970 DIM MPP(NF),F(N1),O6(NF),W1(NF)
3980 DIM DB(NF,N1),EC(NF,N1),SIGB(NF,N1)
3990 DIM DI(NF,N1),W2(NF),W3(NF),W4(NF),GF(N1)
4000 DIM EFL(NF,N1),DFL(NF,N1),KFL(N1)

```

```
34000 DIM EFL(NF,N1),DFL(NF,N1),KFL(N1)
4010 DIM DP(NF,N1),SP(NF,N1),DXP(NF,N1)
4020 DIM DD(NF,N1),MG(NF,N1),SA(3),AS(3),X3(NF),X4(NF)
4030 DIM G2(3),G3(3),MB(3),D0(3),Z9(3),Z(3),BC(3)
4040 PRINT"-----"
4050 PRINT"DONNER LE TYPE D'ARMATURES"
4060 PRINT" DE PRECONTRAINTE UTILISE"
4070 PRINT"-----"
4080 PRINT"      -DES FILS (F)"
4090 PRINT"      -DES TORONS (T)"
4100 INPUT X$
4110 IF X$="F" THEN EP=200000
4120 EP=190000
4130 PRINT"SECTION DU CABLE (Ap)"
4140 INPUT AP
4150 INPUT "fpeg=";FEJ
4160 INPUT "fprg=";FFPRJ
4170 S0=.85*FFPRJ:Q=.95*FEJ
4180 IF S0>Q THEN S0=Q
4190 P0=S0*AP
4200 INPUT "fe=";EF
4210 INPUT "R01000=";R01
4220 INPUT "Roh=";RH
4230 INPUT "Ros=";RS
4240 INPUT "g=";GD
4250 INPUT "TP=";TP
4260 INPUT "% Des pertes=";X6
4270 FOR Y=1 TO NF STEP 1
4280 PRINT" les moments dus aux poids
4290 PRINT" propre en fonction de la
4300 PRINT"           surface
4310 PRINT"MPP(";Y;")=":INPUT MPP(Y)
4320 NEXT Y
4330 FOR Z=1 TO N1 STEP 1
4340 PRINT"-----"
4350 PRINT"Donner la densite de charge
4360 PRINT" dans la phase ";Z;
4370 PRINT"-----"
4380 PRINT"G(";Z;")=":INPUT GF(Z)
4390 NEXT Z
4400 FOR X5=1 TO NF STEP 1
4410 FOR WW=1 TO N1 STEP 1
4420 PRINT"-----"
4430 PRINT"Donner le moment correspond
4440 IF X5>2 THEN 4470
4450 PRINT"      en appuis
```

```

44450 PRINT"      en travees      "
4460 PRINT"MG(";X5;",";WW;")=      "
4470 INPUT MG(X5,WW)
4480 NEXT WW
4490 NEXT X5
4500 PRINT"  Duree de construction  "
4510 INPUT Y
4520 FY=.685*LOG(Y+1)*WFC2B
4530 YT=.6+.06*FY
4540 RETURN
4550 'PRINT"-----"
4560 FW=(S1-S2)/LEM
4570 IF S$="I" THEN GOTO 4800
4580 IF S$="T" THEN GOTO 5040
4590 '-----
4600 '      SECTION RECTANGULAIRE
4610 '-----
4620 H1=(2/(FW*R9*B))t.5
4630 B1=B*H1;V1=H1/2
4640 A=(1+N9)*B1*V1/H1:H=2*A/B
4650 BS=H*B
4660 BAS=H9*B:AII=B*H9t3/12
4670 II=B*Ht3/12
4680 V=H/2:VP=V
4690 AV=H9/2:VAP=AV
4700 R9=II/(BS*Vt2)
4710 R8=AII/(BAS*AVt2):IRP=2*(H9+B)
4720 C=II/(BS*V):CP=C
4730 CA=AII/(BAS*AV):ACP=CA
4740 PIR=2*(H+B)
4750 RM=BS/PIR*100:RIM=BAS/IRP*100
4760 I0=SQR(II/BS):IO=SQR(AII/BAS)
4770 GOSUB 5810
4780 GOSUB 6120
4790 GOTO 5700
4800 '-----
4810 '      SECTION EN I
4820 '-----
4830 H1=((2/(FW*R9)-(B-B0)*H0t2)/B0)t.5
4840 V1=H1/2:B1=B0*H1+2*(B-B0)*H0
4850 A=(1+N9)*B1*V1/H1:A2=B0/2
4860 B2=-A:C2=(B-B0)*H0t2/2
4870 GOSUB 5500
4880 BS=B0*H+2*(B-B0)*H0
4890 BAS=B0*H9+2*(B-B0)*H0
4900 V=H/2:AV=H9/2
4910 II=2*(B-B0)*H0*(V-H0/2)t2+B0*Ht3/12+(B-B0)*H0t3/12

44920 AII=2*(B-B0)*H0*(AV-H0/2)t2+B0*H9t3/12+(B-B0)*H0t3/12
4930 VP=V:VAP=AV
4940 R9=II/(B*Vt2):R8=AII/(B*AVt2)
4950 C=II/(BS*VP):CA=AII/(BAS*VAP)
4960 CP=C:ACP=CA
4970 PIR=2*B+2*(B-B0)+2*H
4980 IRP=2*B+2*(B-B0)+2*H9

```

```

5490 RM=BS/PIR*100:RIM=BAS/IRP*100
5000 I0=SQR(II/BS):IO=SQR(AII/BAS)
5010 GOSUB 5810
5020 GOSUB 6120
5030 GOTO 5700
5040 -----
5050 SECTION EN TE
5060 -----
5070 H1=((1/(FW*R9)-(B-B0)*H0*t2)*2/B0)t.5
5080 B1=B0*H1+(B-B0)*H0:V1=1/(R9*B1*FW)
5090 A=(1+N9)*B1*V1/H1:A2=B0/2
5100 B2=-A:C2=(B-B0)*H0*t2/2
5110 GOSUB 5500
5120 ----- SECTION AVEC OU SANS TALON---
5130 IF D$="A" THEN GOTO 5300
5140 BS=B0*H+(B-B0)*H0:BAS=B0*H9+(B-B0)*H0
5150 BAS=B0*H9+(B-B0)*H0
5160 V=(B0*Ht2/2+(B-B0)*H0*t2/2)/BS
5170 AV=(B0*H9t2/2+(B-B0)*H0*t2/2)/BAS
5180 II=B0*Ht3/12+(B-B0)*H0t3/12+H0*(B-B0)*(V-H0/2)t2
5190 AII=B0*H9t3/12+(B-B0)*H0t3/12+H0*(B-B0)*(AV-H0/2)t2
5200 VP=H-V:VAP=H9-AV
5210 R9=II/(BS*V*VP):R8=AII/(BAS*AV*VAP)
5220 C=II/(BS*VP):CA=AII/(BAS*VAP)
5230 CP=II/(BS*V):ACP=AII/(BAS*AV)
5240 PIR=2*B+2*H:IRP=2*B+2*H9
5250 RM=BS/PIR*100:RIM=BAS/IRP*100
5260 I0=SQR(II/BS):IO=SQR(AII/BAS)
5270 GOSUB 5810
5280 GOSUB 6120
5290 GOTO 5700
5300 A0=SQR(FW/(2*H)):AR0=SQR(FW/(2*H9))
5310 BS=B0*H+(B-B0)*H0+(2*A0-B0)*A0
5320 BAS=B0*H9+(B-B0)*H0+(2*AR0-B0)*AR0
5330 AV=(B0*H9t2+(B-B0)*H0*t2/2)/B
5340 V=(B0*Ht2+(B-B0)*H0*t2/2)/B
5350 VP=H-V:VAP=H9-AV
5360 II=B0*Ht3/12+(2*A0-B0)*A0t3/12+(B-B0)*H0t3/12
5370 II=II+H0*(B-B0)*(V-H0/2)t2+A0*(2*A0-B0)*(VP-A0/2)t2
5380 AII=B0*H9t3/12+(2*AR0-B0)*AR0t3/12+(B-B0)*H0t3/12
5390 AII=AII+H0*(B-B0)*(AV-H0/2)t2+A0*(2*A0-B0)*(VAP-A0/2)t2
5400 R9=II/(BS*V*VP):R8=AII/(BAS*AV*VAP)
5410 C=II/BS/VP:CA=AII/BAS/VAP
5420 CP=II/BS/V:ACP=AII/BAS/AV
5430 PIR=2*B+2*H+2*(2*A0-B0)
5440 IRP=2*B+2*H9+2*(2*A0-B0)
5450 RM=BS/PIR*100:RIM=BAS/IRP*100
5460 I0=SQR(II/BS):IO=SQR(AII/BAS)
5470 GOSUB 5810
5480 GOSUB 6120
5490 GOTO 5700
5500 LT=B2t2-4*A2*C2
5510 IF LT<0 THEN 5580
5520 X1=(-B2+SQR(LT))/2/A2
5530 IF X1>0 THEN H=X1
5540 X2=(-B2-SQR(LT))/2/A2
5550 IF X2>0
5560 IF X2>X1 THEN H=X2
5570 GOTO 5690
5580 N9=N9+.02

```

```

55590 IF N9<=.5 THEN 4550
5600 IF K$="2" THEN 5660
5610 PRINT"      CLASSE II.III      "
5620 N9=0
5630 S2=-WT28:S4=-1.5*YT
5640 K$="2"
5650 GOTO 4550
5660 PRINT"ESSAYER DENOUVELLES VALEURS"
5670 PRINT"      POUR DETERMINER H      "
5680 GOTO 3400
5690 RETURN
5700 IF Z=1 THEN 5690
5710 N9=N9+.02
5720 IF N9<=.5 THEN 4550
5730 IF K$="2" THEN 5790
5740 PRINT"---- CLASSE II et III ----"
5750 S2=-WT28:S4=-1.5*YT
5760 K$="2"
5770 N9=0
5780 GOTO 4550
5790 PRINT"CHANGER LA FORME DE SECTION"
5800 GOTO 3280
5810
5820      FORCE DE PRECONTRAINTE
5830      EXCENTRICITE
5840
5850 P1=S2*BS+LEM/(C+CP):P2=((S2*II/VP)+M1)/(C+VP-TP)
5860 IF P1>P2 THEN 5930
5870
5880      SECTION SUR CRITIQUE
5890
5900 P=P2
5910 E1=-VP+TP
5920 GOTO 6080

5930
5940      SECTION SOUS CRITIQUE
5950
5960 P=P1
5970 R1=S2*II/(P*V)-CP:R2=-S1*II/(P*VP)+C
5980 IF R1>=R2 THEN 6010
5990 PA=-R2
6000 GOTO 6020
6010 PA=-R1
6020 R3=S1*II/(P*V)-CP:R4=-S2*II/(P*VP)+C
6030 IF R3>=R4 THEN 6060

```

66040 PB=-R4
 6050 GOTO 6070
 6060 PB=-R3
 6070 E1=-PA-M2/P
 6080 P=P/.86
 6090 N=P/P0:N=INT(N)+1
 6100 P=N*P0
 6110 RETURN
 6120 P3=.94*P:P4=.86*P
 6130 EEP0=E1
 6140
 6150 ' VERIFICATION DES CONTRAINT
 6160 ' NORMALES
 6170
 6180 '-----EN CONSTRUCTION-----
 6190 S3=.6*FY
 6200 W1=(N5+P3)/BS+(P3*EEP0+M4)*V/II
 6210 IF W1<S4 THEN 6320
 6220 W2=(N5+P3)/BS-(P3*EEP0+M4)*VP/II
 6230 IF W2>S3 THEN 6320
 6240 '-----EN EXPLOITATION-----
 6250 S1=.6*WFC28
 6260 W3=(N6+P4)/BS+(P4*EEP0+M3)*V/II
 6270 IF W3>S1 THEN 6320
 6280 W4=(N6+P4)/BS-(P4*EEP0+M3)*VP/II
 6290 IF W4<S2 THEN 6320
 6300 Z=1
 6310 GOTO 6330
 6320 Z=2
 6330 RETURN
 6340
 6350 ' PERTES INSTANTANNEES
 6360
 6370 KC=(120-RH)/30+2/3*(100-RH)/(20+RM)
 6380 KE=.4:KS=1/(1+20*RS)
 6390 EC0=KS*(100-RH)*(6+80/(10+3*RM))*0.000001:EC0=.0002
 6400
 6410 ' CALCUL DES PERTES A LA MISE
 6420 ' EN TENSION DES ARMATURES
 6430
 6440 '--- PERTES DUS AUX FROTTEMENT---
 6450 DFI=.01*S0
 6460 '--- PERTE PAR RENTRE D'ENCRAIGAGE--
 6470 DEC=GD*EP/100:SMT=S0-DFI-DEC
 6480 '----- RETRAIT-----
 66470 DEC=GD*EP/100:SMT=S0-DFI-DEC
 6480 '----- RETRAIT-----
 6490 R(1)=T(1)/(T(1)+9*RM):DR(X,1)=EP*EC0*R(1)
 6500 IF R01<=2.5 THEN 6560
 6510 IF R01<8 THEN 6540
 6520 K1=.008:K2=1.5
 6530 GOTO 6570
 6540 K1=.008:K2=1.25
 6550 GOTO 6570
 6560 K1=.006:K2=1.1
 6570 MU=SMT/FPRJ
 6580 DP(X,1)=K1*R01*(T(1)/1000)+(3*(1-MU)/4)*EXP((10*MU-7.5)/K2)*SMT
 6590 SR=SMT-DR(X,1)-DP(X,1)

```

66600 DP(X,1)=.06*SR
6610 SIGB(X,1)=MPP(X)*BS*EEP0/II+(SR-DP(X,1))*N*AP*(1+EEP0t2/I0t2)/BS
6620 Q1=.5*FC(1)
6630 IF X<=2 THEN 6710
6640 IF SIGB(X,1)<Q1 THEN
6650 KI=4*(SIGB(X,1)/FC(1)-.5)t2
6660 A4=-4*N*AP/BS*(1+EEP0t2/I0t2)*EP/(FC(1)t2*EB(1))
6670 B4=4*(1+EEP0t2/I0t2)*N*AP/BS*EP/(FC(1)*EB(1))
6680 C4=-(2*N*AP/BS*(1+EEP0t2/I0t2)*EP/EB(1)+1)
6690 D4=MPP(X)*BS*EEP0/II+AP*N/BS*(1+EEP0t2/I0t2)*SR
6700 GOSUB 7590
6710 DP(X,1)=EP*SIGB(X,1)/EB(1)*(1+KI)
6720 DI(X,1)=DFI+DEC+DR(X,1)+DP(X,1)
6730 SP(X,1)=S0-DI(X,1)
6740 -----
6750 PERTES DIFFERES
6760 -----
6770 ----- RETRAIT -----
6780 FOR J=1 TO N1-1
6790 R(J)=T(J)/(T(J)+9*RM)
6800 R(J+1)=T(J+1)/(T(J+1)+9*RM)
6810 DR(X,J+1)=EP*EC0*(R(J+1)-R(J))
6820 ----- FLUAGE -----
6830 IF J=1 THEN 7140
6840 DC(X,J)=DB(X,J)/WEB28
6850 K=0
6860 FOR T1=1 TO J
6870 K=K+DC(X,T1)
6880 NEXT T1
6890 EC(X,1)=SIGB(X,1)/WEB28
6900 EC(X,J)=EC(X,1)+K
6910 K9=0
6920 FOR T9=1 TO J
6930 K9=K9+EFL(X,T9)
6940 NEXT T9
6950 EFL(X,J)=EFL(X,1)+K9
6960 A3=-EFL(X,J)/EC(X,J)+KS*KE
6970 B3=-5*EFL(X,J)/EC(X,J)*SOR(RM)
6980 C3=EFL(X,J)/EC(X,J)*(100+T(J))-(KS*KE*(100+T(J))+100*KC*KS)
6990 D3=EFL(X,J)/EC(X,J)*(500+5*T(J))*RMT.5
7000 IF T(J+1)>100 THEN 7020
7010 VI=.5:GOTO 7040
7020 VI=10
7030 IF X<=2 THEN VI=20
7040 GOSUB 7440
7050 IF TS>0 THEN 7080

77060 DFL(X,J+1)=0
7070 GOTO 7180
7080 KLS=KS*(KE+KC*100/(100+T(J)-TS))
7090 F1S=SQR(TS+T(J+1)-T(J))/(SOR(TS+T(J+1)-T(J))+5*SQR(RM))
7100 F2S=SQR(TS)/(SOR(TS)+5*SQR(RM))
7110 EFL(X,J+1)=EC(X,J)*KLS*(F1S-F2S)
7120 DFL(X,J+1)=EP*EFL(X,J+1)
7130 GOTO 7180
7140 KFL(J)=KS*(KE+KC*100/(100+T(J)))
7150 F(J+1)=SOR(T(J+1)-T(J))/(SOR(T(J+1)-T(J))+5*SQR(RM))
7160 EFL(X,J+1)=KFL(J)*F(J+1)*SIGB(X,J)/WEB28

```

```

7170 F(J+1)=SQR(T(J+1)-T(J))/(SQR(T(J+1)-T(J))+5*SQR(RM))
7180 EFL(X,J+1)=KFL(J)*F(J+1)*SIGB(X,J)/WEB28
7190 DFL(X,J+1)=EP*EFL(X,J+1)
7200 ----- RELAXATION -----
7210 K=0
7220 IF J<=2 THEN 7240
7230 DP(X,J-1)=DP(X,J-1)-DP(X,1)
7240 FOR L1=1 TO J
7250 K=K+DP(X,L1)
7260 NEXT L1
7270 DP(X,J)=K
7280 MU=(SP(X,J)+DP(X,J))/FPRJ
7290 ZX=-((10*MU-7.5)/K2)
7300 CV=4/(3*(1-MU))
7310 TE=(DP(X,J)*EXP(ZX)/(K1*R01*(SP(X,J)+DP(X,J)))) t CV*1000
7320 DP(X,J+1)=K1*R01*((TE+(T(J+1)-T(J))*24)/1000) t (1/CV)*EXP(-ZX)
7330 DP(X,J+1)=DP(X,J+1)*(SP(X,J)+DP(X,J))-DP(X,J)
7340 DG=DR(X,J+1)+DFL(X,J+1)+DF(X,J+1)
7350 DD(X,J+1)=DG-(2*DP(X,J+1)*(DR(X,J+1)+DFL(X,J+1)))/SP(X,J)
7360 IF GF(J+1)=0 THEN 7400
7370 DB(X,J+1)=ABS(MG(X,J+1))*EEP0/II
7380 DXP(X,J+1)=EP*DB(X,J+1)/EB(J+1)
7390 GOTO 7420
7400 DB(X,J+1)=0
7410 DXP(X,J+1)=0
7420 SP(X,J+1)=SP(X,J)-DD(X,J+1)-DXP(X,J+1)
7430 IF J+1>=N1 THEN 7450
7440 NEXT J
7450 RETURN
7460 FOR I=T(J) TO T(J+1) STEP VI
7470 FI=A3*I t (3/2)+B3*I+C3*I t.5+D3
7480 FJ=A3*(I+VI)*(I+VI)t.5+B3*(I+VI)+C3*(I+VI)t.5+D3
7490 IF FI*FJ<=0 THEN 7520
7500 NEXT I
7510 GOTO 7590
7520 FOR L=I TO I+1 STEP+.05
7530 FM=A3*L t (3/2)+B3*L+C3*L t.5+D3
7540 FK=A3*(L+.05) t (3/2)+B3*(L+.05)+C3*(L+.05) t.5+D3
7550 A7=ABS(FK-FM)
7560 IF A7<.1 THEN 7580
7570 NEXT L
7580 TS=L:GOTO 7600
7590 TS=-1
7600 RETURN
7610 VI=.05:GH=.5*FC(1)
7620 FOR I=FC(1) TO GH STEP-VI
7630 TI=A4*I t3+B4*I t2+C4*I+D4
7640 TJ=A4*(I-VI) t3+B4*(I-VI) t2+C4*(I-VI)+D4
7650 IF TI*TJ<=0, THEN 7670
7660 NEXT I
7670 FOR L7=I TO I-VI STEP-.001
7680 MF=A4*L7 t3+B4*L7 t2+C4*L7*D4
7690 MK=A4*(L7-.001) t3+B4*(L7-.001) t2+C4*(L7-.001)+D4
7700 AB=ABS(MF-MK)
7710 IF MF*MK<0 THEN
7720 IF AB<.1 THEN 7740
7730 NEXT L7
7750 RETURN

```

```

7760 PRINT/P"
7770 PRINT/P"
7780 PRINT/P"
7790 PRINT/P"
7800 PRINT/P"
7810 PRINT/P"
7820 PRINT/P"
7830 PRINT/P"
7840 PRINT/P"
7850 PRINT/P"
7860 PRINT/P"
7870 PRINT/P"
7880 PRINT/P"
7890 PRINT/P"
7900 PRINT/P"
7910 PRINT/P"
7920 PRINT/P"
7930 IF Z2=2 THEN 7970
7940 IF E$="1" THEN 7990
7950 IF E$="2" THEN 8010
7960 PRINT/P"
7970 PRINT/P"
7980 GOTO 8040
7990 PRINT/P"
8000 GOTO 8040
8010 PRINT/P"
8020 PRINT/P"
8030 PRINT/P"
8040 PRINT/P"
8050 PRINT/P"
8060 NF=3:FOR X=3 TO NF STEP 1
8070 KO=S0-SP(X,1):OK=SP(X,1)-SP(X,N1)
8080 PRINT/P" D6i=";KO," ",,"Le % est ";X3(X)
8090 PRINT/P" D6d=";OK," ",,"Le % est ";X4(X)
8100 PRINT/P"
8110 PRINT/P"
8120 PRINT/P"
8130 PRINT/P"
8140 PRINT/P"
8150 PRINT/P"
8160 PRINT/P"
8170 PRINT/P"
8180 PRINT/P"
8190 PRINT/P"
8200 PRINT/P"
8210 PRINT/P"
8220 PRINT/P"
8230 PRINT/P"
8240 PRINT/P"
8250 PRINT/P"
8260 PRINT/P"
8270 NEXT X
8280 PRINT/P"
8290 PRINT/P"
8300 PRINT/P"
8310 PRINT/P"
8320 IF A$="AP" THEN 8360
8330 PRINT/P"
8340 GOTO 8360
8350 PRINT/P"
8360 FOR X=1 TO 2

```

RESULTATS

* Caracteristiques de la section du beton

- Dimensions calculees
 $h=";H1,"B1=";BS$
 Nombre De Cables N=";NC

- Dimensions standards
 $h=";H," ", "B=";BS$
 $v=";V," ", "V'=";VP$
 $I=";II$
 Nombre De Cables N=";N

Verifiee en Classe III

Verifiee en Classe I

Verifiee en Classe II

Section a' moment max 3
 $P=";P," ", "N=";N," ", "e1=";E1$

$KO=S0-SP(X,1):OK=SP(X,1)-SP(X,N1)$
 $D6i=";KO," ", "Le % est ";X3(X)$
 $D6d=";OK," ", "Le % est ";X4(X)$

* Verification des contraintes normales

----- En construction -----

$6s(";X;")=";W1(X)," ", "6lim=";S4$
 $6'i(";X;")=";W2(X)," ", "6'l'm=";S3$

----- En exploitation -----

$6i(";X;")=";W3(X)," ", "6lim=";S1$
 $6's(";X;")=";W4(X)," ", "6'l'm=";S2$

Armatures longitudinales dans les zones tendues
 $ASsup=";AS(X)$
 $ASinf=";SA(X)$

* Verification des contraintes tangentielles (noeuds)

Excentricite aux noeuds e2=";E2

Excentricite aux noeuds e2=";E2

```

8360 FOR X=1 TO 2
8370 LO=S0-SP(X,1):OL=SP(X,1)-SP(X,N1)
8380 PRINT/P" D6i(";"X;")=";LO," ", "D6d(";"X;")=";OL
8390 PRINT/P"
8400 PRINT/P" ----- En construction -----
8410 PRINT/P"
8420 PRINT/P" t2(";"X;")=";O1(X)
8430 PRINT/P" Exp1=";O2(X)," ", "Exp2=";O3(X)
8440 PRINT/P"
8450 PRINT/P" ----- En exploitation -----
8460 PRINT/P"
8470 PRINT/P" t2(";"X;")=";O4(X)
8480 PRINT/P" Exp1=";O5(X)," ", "Exp2=";O6(X)
8490 IF C6=9 THEN 8530
8500 PRINT/P"
8510 PRINT/P" Contraintes tangentielles verifiees
8520 GOTO 8540
8530 PRINT/P" Contraintes tangentielles non verifiees
8540 STOP
8550 NEXT X
8560 PRINT/P"
8570 PRINT/P"
8580 STOP
8590 IF A$="AP" THEN 8830
8600 PRINT/P" * Verification des contraintes normales aux noeuds
8610 FOR X=1 TO 2
8620 PRINT/P"
8630 PRINT/P" ----- En construction-----
8640 PRINT/P"
8650 PRINT/P" 6e(";"X;")=";W1(X)," ", "6lim=";S4
8660 PRINT/P" 6'i(";"X;")=";W2(X)," ", "6'lim=";S3
8670 PRINT/P"
8680 PRINT/P" ----- En exploitation-----
8690 PRINT/P"
8700 PRINT/P" 6i(";"X;")=";W3(X)," ", "6lim=";S1
8710 PRINT/P" 6's(";"X;")=";W4(X)," ", "6'lim=";S2
8720 PRINT/P"
8730 PRINT/P" Armatures longitudinales dans les zones tendues
8740 PRINT/P" ASup=";AS(X)
8750 PRINT/P" ASinf=";SA(X)
8760 PRINT/P"
8770 IF Z(X)=1 THEN 8790
8780 PRINT/P" Contraintes non verifiees :GOTO 8160
8790 PRINT/P" Contraintes verifiees
8800 PRINT/P"
8810 NEXT X
8820 STOP
8830 PRINT/P"
8840 PRINT/P" ** Etat limite ultime(ELU)
8850 PRINT/P"
8860 PRINT/P"
8870 PRINT/P" -- zone centrale --
8880 PRINT/P"
8890 NF=3:FOR X=3 TO NF
8900 PRINT/P" Eb(";"X;")=";G1(X)," ", "Es(";"X;")=";G2(X)
8910 PRINT/P" Bc(";"X;")=";BC(X)
8920 PRINT/P" Mru(";"X;")=";MB(X)
8930 IF Z9(X)=1 THEN 8950
8940 PRINT/P" resistance non assuree ":GOTO 8950
8950 PRINT/P" La resistance est assuree
8960 NEXT X

```

```

8970 PRINT/P"
8980 PRINT/P"
8990 PRINT/P" * Sollicitations tangentiales
9000 PRINT/P" st=";ST," ","Atc=";AT
9010 PRINT/P"
9020 PRINT/P" -- zone d'appuis -- " ; AT=2*AT
9030 PRINT/P"
9040 PRINT/P" At=";AT
9050 PRINT/P" tulim=";DO
9060 FOR X=1 TO 2
9070 PRINT/P" tu(";X;")=";DO(X)
9080 PRINT/P"
9090 NEXT X
9100 IF A$="AP" THEN 9130
9110 PRINT/P" -- noeuds --
9120 FOR X=1 TO 2
9130 PRINT/P"
9140 PRINT/P" Eb(";X;")=";G3(X) , " ", "Es(";X;")=";G2(X)
9150 PRINT/P" Bc(";X;")=";BC(X)
9160 PRINT/P" Mru(";X;")=";MB(X)
9170 PRINT/P"
9180 NEXT X
9190 STOP
9200 PRINT/P" ** Analyse des pertes
9210 PRINT/P"
9220 PRINT/P" - Fentes instantanées
9230 PRINT/P"
9240 FOR X=1 TO NF STEP 1
9250 PRINT/P" 6p0=";S0; " " ; D6fi=";DFI; " " ; D6g=";DEI
9260 PRINT/P" 6pmt=";SMT; " " ; D6r(";X;","1) =" ; DR(X,1)
9270 PRINT/P" D6p(";X;","1) =" ; DP(X,1); BB"; "6b(";X;","1) =" ; SIGB(
9280 PRINT/P" D6i(";X;","1) =" ; DI(X,1); " " ; 6r(";X;","1) =" ; SP(
9290 PRINT/P"
9300 PRINT/P"
9310 NEXT X
9320 PRINT/P"
9330 PRINT/P"
9340 STOP
9350 PRINT/P" - Pertes différences
9360 PRINT/P"
9370 PRINT/P" X ";" T ";" Delt Sig r MPa ";" Delt Sig f1 M
9380 PRINT/P" Delt Sig P relax"
9390 FOR I=1 TO NF STEP 1
9400 PRINT/P"
9410 FOR J=2 TO N1
9420 PRINT/P" " ; I;" " ; J-1;" " ; " ; DR(I,J); " " ; DFL(I,J); "
9430 PRINT/P" " ; DP(I,J)
9440 PRINT/P" "
9450 PRINT/P" "
9460 NEXT I
9470 PRINT/P" " :PRINT/P" "
9480 PRINT/P" X ";" T ";" Delt Sig b MPa ";" Delt Sig d M
9490 PRINT/P" Sigma P MPa "
9500 FOR I=1 TO NF STEP 1
9510 PRINT/P"
9520 FOR J=2 TO N1
9530 PRINT/P" " ; I;" " ; J-1;" " ; " ; DR(I,J); " " ; DD(I,J); "
9540 PRINT/P" " ; SP(I,J)
9550 PRINT/P" "
9560 PRINT/P"
9570 NEXT I

```

RESULTATS

* Caracteristiques de la section du beton

- Dimensions calculees

$h = .47669004$ $B1 = .0602$
Nombre De Cables N= 7

- Dimensions standards

$h = .5$ $B = .0602$
 $v = .25$ $V' = .25$
 $I = 1.8991817E-03$
Nombre De Cables N= 8
Verifiee en Classe II

Section a' moment max 3

$P = .51$ $N = 8$ $e1 = -.18$
 $D6i = 96.476524$ Le % est 7.5667862
 $D6d = 132.18359$ Le % est 11.216033

* Verification des contraintes normales

----- En construction -----

$6s(3) = 4.3950044$ $6lim = -3.1270199$
 $6'i(3) = 10.836284$ $6'l'm = 14.846799$

----- En exploitation -----

$6i(3) = 17.351293$ $6lim = 24$
 $6's(3) = -2.9416581$ $6'l'm = -3$

Armatures longitudinales dans les zones tendues

$ASsup = 7.4143966E-05$
 $ASinf = 3.9952644E-05$

* Verification des contraintes tangentielles(noeuds)

Excentricite aux noeuds $e2 = .1772$

$D6i(1) = 114.80699$ $D6d(1) = 230.38193$

----- En construction -----

$t2(1) = 5.2219258$
 $Exp1 = 8.3417601$ $Exp2 = 11.67733$

----- En exploitation -----

$t2(1) = 6.8946476E-08$
 $Exp1 = 11.871362$ $Exp2 = 25.385718$

Contraintes tangentielles verifiees

D6i(2)= 104.67944

D6d(2)= 101.65438

----- En construction -----

t2(2)= 2.9768452,

Exp1= 6.708717

Exp2= 12.046057

----- En exploitation -----

t2(2)= 7.4569918E-08

Exp1= 11.339291

Exp2= 24.876407

Contraintes tangentielles vérifiées

* Vérification des contraintes normales aux noeuds:

----- En construction -----

6s(1)=-10.798905

6'i(1)= 4.9532717

6lim=-3.1270199

6's(1)=-1.8423508

6'lim= 14.846799

----- En exploitation -----

6i(1)= 13.669593

6lim= 24

6's(1)=-1.8423508

6'lim=-3

Armatures longitudinales dans les zones tendues

ASsup= 5.1727346E-05

ASinf= 5.5416245E-05

Contraintes non vérifiées

----- En construction -----

6s(2)=-2.4795322

6lim=-3.1270199

6'i(2)= 14.400693

6'lim= 14.846799

----- En exploitation -----

6i(2)= 8.5080172

6lim= 24

6's(2)= 4.3908008

6'lim=-3

Armatures longitudinales dans les zones tendues

ASsup= 5.1727346E-05

ASinf= 5.5416245E-05

Contraintes vérifiées

** Etat limite ultime(ELU)

-- zone centrale --

Eb(3)= .0035 Es(3)= .0091
Bc(3)= 1.8326772E-02
Mru(3)= .24251741
La resistance est assuree

* Sollicitations tangentees

st= .21 At= 5.0715E-05

-- zone d'appuis--

At= .00010143
tulim= 7
tu(1)= 2.4234054

tu(2)= 2.2322015

-- noeuds --

Eb(1)= .0035 Es(1)= .007
Bc(1)= 2.1957547E-02
Mru(1)= .32889706

Eb(2)= .0035 Es(2)= .007
Bc(2)= 2.1957547E-02
Mru(2)= .32889706

** Analyse des pertes

- Pertes instantanees

6p0= 1275 D6fi= 12.75 D6g= 1.9
6pmt= 1260.35 D6r(1,1) = 7.3625
D6p(1,1)= 82.666943 6b(1,1)= 11.489956
D6i(1,1)= 104.67944 6r(1,1)= 1170.3206

6p0= 1275 D6fi= 12.75 D6g= 1.9
6pmt= 1260.35 D6r(2,1) = 7.3625
D6p(2,1)= 82.666943 6b(2,1)= 11.489956
D6i(2,1)= 104.67944 6r(2,1)= 1170.3206

6p0= 1275 D6fi= 12.75 D6g= 1.9
6pmt= 1260.35 D6r(3,1) = 7.3625
D6p(3,1)= 88.449405 6b(3,1)= 12.293666
D6i(3,1)= 110.46191 6r(3,1)= 1164.5381

- Pertes differees

X	T	Delt Sig r MPa	Delt Sig f1 MPa	Delt Sig F relax
1	1	8.5564189	38.313545	1.1327684E-02
1	2	6.5191763	0	82.68388
1	3	15.509268	0	3.0438204
2	1	8.5564189	38.313545	1.1327684E-02
2	2	6.5191763	0	82.68388
2	3	15.509268	0	2.7234159
3	1	8.5564189	40.993536	7.0121288E-03
3	2	6.5191763	0	88.46003
3	3	15.509268	0	3.7381392
X	T	Delt Sig b MPa	Delt Sig d MPa	Sigma F MPa
1	1	0	46.880385	1123.4402
1	2	22.241655	6.5247208	1094.6738
1	3	0	18.466839	1076.207
2	1	0	46.880385	1123.4402
2	2	30.094321	6.5247208	1086.8211
2	3	0	18.154956	1068.6662
3	1	0	49.55637	1114.9817
3	2	-15.400197	6.5227463	1123.8592
3	3	0	19.144235	1104.7149

```

10 INPUT"S=";SB
20 INPUT"I=";II
30 INPUT"v=";V
40 INPUT"P=";P
50 INPUT"6's=";SS
60 INPUT"6i=";SI
61 DIM EO(3),S1(3),S2(3),S3(3),S4(3),MS(3),MI(3)
69 FOR X=1 TO 3 STEP 1
70 INPUT"e";EO(X)
80 'contrainte au cdg de la section
90 SG=P/SB:PRINT"6g=";SG
100 'contrainte due au precontrainte(parement sup)
110 S1(X)=SG+P*EO(X)/II*V:PRINT"6ps=";S1(X)
120 'contrainte due au precontrainte(parement inf)
130 S2(X)=SG-P*EO(X)/II*V:PRINT"6pi=";S2(X)
140 'contrainte resultante de la sectioncomprimee(parement inf)
150 S4(X)=S1(X)+S2(X)-SS:PRINT"6ri=";S4(X)
160 'contrainte resultante de la sectioncomprimee(parement sup)
170 S3(X)=S1(X)+S2(X)-SI:PRINT"6rs=";S3(X)
180 'moment admissible parement sup
190 MS(X)=(SS-S1(X))*II/V:PRINT"Mas(;X;)=";MS(X)
200 'moment admissible parement inf
210 MI(X)=(S2(X)+SI)*II/V:PRINT"Mai(;X;)=";MI(X)
220 IF MS(X)>MI(X) THEN 250
230 MDM(X)=MI(X):MND(X)=MS(X)
240 GOTO 260
250 MDM=MS(X):MND=MI(X)
260 INPUT"MM=";M1
270 IF MDM<M1 THEN 320
280 PRINT"-----"
290 PRINT"      couple de serrage"
300 PRINT"-----"
310 GOTO 380
320 MSE(X)=(M1(X)-MDM(X))/4:MR1=M1-MSE
330 MQ2(X)=M2(X)-MSE(X)
340 ' force de serrage pour chaque goujon
350 INPUT"n=";N
360 INPUT"h=";H
370 F=MSE/N/H:PRINT"f=";F
380 END

```

```
10 CLS
20 PRINT"      CALCUL FONDATION PAR MASSIF      "
30 PRINT:PRINT"*****EFFORTS*****":PRINT
40 PRINT"_ETAT LIMITE DE SERVICE (ELS)":PRINT"Unites en dan"
50 INPUT"      _Nmin":N1
60 INPUT"      _Nmax":N2
70 INPUT"      _Mser":MS
80 PRINT
90 PRINT"_ETAT LIMTE ULTIME (ELU)"
100 INPUT"      _Nmax":N3
110 INPUT"      _Mul":MU
120 PRINT
130 PRINT"HYPOTHESES DE CALCUL"
140 PRINT"-FISSURATION PREJUDICIALE (1)"
150 PRINT"fissuration tres prejudiciable (2)"
160 INPUT"n° du cas":I
170 PRINT
180 PRINT"contrainte limite de l'acier en MPa?"
190 INPUT"fe":FE:PRINT "nature de l'acier"
200 PRINT"acier rond lisse r"
210 PRINT"acier haute adherence HA"
220 INPUT"nature":P$
230 PRINT:PRINT"contrainte du sol en BARS"
240 INPUT"A 1'ELS sigma sol ser":SS
250 INPUT"A 1'ELU sigma sol ul":SU
260 PRINT
270 PRINT"entrer le rapport de la section du massif L/l"
280 INPUT"n":G
290 INPUT"masse volumique du massif":DE:PRINT
300 INPUT"longueur de la section du poteau a":B0
310 INPUT"largeur de la section du poteau b":A0
320 REM sigma s barre
330 KK=2/3*FE
340 EE=1/2*FE
350 IF P$="r" THEN ET=1
360 IF P$="ha" THEN ET=1.6
370 CC=150*ET:FF=150*ET
380 IF I=1 THEN SG=KK
390 IF I=1 THEN IF CC<KK THEN SG=CC
400 IF I=2 THEN SG=EE
410 IF I=2 THEN IF FF<EE THEN SG=FF
420 REM dim du massif
430 REM els
440 YY=N2
450 SV=SS
460 GOSUB 1090
470 AS=XX
480 YY=N3
```

490 SV=SU
500 GOSUB 1090

- 2 -

510 A=XX
520 IF AS>A THEN A=AS
530 A=A*.01
540 B=G*A
550 S=G*A^2
560 REM verification du massif
570 H=1.6
580 LG=G*A
590 LR=A
600 K1=.5236-.175/(.54+G)
610 K2=(2.8-96.5/(68.5+3.375*(N1/10/DE/G/A^3)^3))*(1+.45/G)
620 MB=K1*A*N1+K2*DE*G*H^3
630 MR=27.13*MB^(2/3)
640 C=MR/MS
650 IF C>1.5 THEN GOTO 670
660 A=A+.05:GOTO 540
670 HM=1.1
680 HN=G*A-.8:M=MS:GS=SG
690 GOSUB 1140
700 TH=AA
710 TV=AB
720 M=MU:GS=FE
730 GOSUB 1140
740 FH=AA:IF TH<FH THEN TH=FH
750 FV=AB:IF TV<FV THEN TV=FV
760 OO=N2
770 VV=SG
780 GOSUB 1190
790 AX=LX
800 AY=LY
810 OO=N3
820 VV=FE
830 GOSUB 1190
840 AUX=LX:AIY=LY
850 IF AUX>AX THEN AX=AUX
860 IF AIY>AY THEN AY=AIY
870 REM RESULTATS
880 PRINT"VOULEZ_VOUS IMPRIMER VOS RESULTATS":INPUT"(O/N)":Y\$:IF
Y\$="O"THEN 990
890 CLS:PRINT USING"HAUTEUR DU MASSIF h=##.## m";H
900 PRINT USING"LONGUEUR DU MASSIF L=##.##m";LG
910 PRINT USING"largeur du massif l=##.##m";LR:PRINT
920 PRINT"sections theoriques d'acier"
930 PRINT USING"-Horizontale Ah=##.## cm2";TH*10000
940 PRINT USING"-Verticale Av=##.## cm2";TV*10000
950 PRINT"armature de la semelle"

```
960 PRINT USING "dans le sens A Ax=##.## cm2";AX*10000
970 PRINT USING "dans le sens B Ay=##.## cm2";AY*10000
980 GOTO 1240
990 LPRINT USING "HAUTEUR DU MASSIF h=##.## m";H
```

- 3 -

```
1000 LPRINT USING "LONGUEUR DU MASSIF L=##.##m";LG
1010 LPRINT USING "largeur du massif l=##.##m";LR:LPRINT
1020 LPRINT "sections theoriques d'acier"
1030 LPRINT USING "-Horizontale Ah=##.## cm2";TH*10000
1040 LPRINT USING "-Verticale Av=##.## cm2";TV*10000
1050 LPRINT "armature de la semelle"
1060 LPRINT USING "dans le sens A Ax=##.## cm2";AX*10000
1070 LPRINT(SING "dans le sens B Ay=##.## cm2";AY*10000
1080 GOTO 1240
1090 GG=(YY/G/SV)^.5
1100 O=GG/10-INT(GG/10)
1110 XX=INT(GG/10)*10+10
1120 IF O>.5 THEN XX=INT(GG/10)*10+10
1130 RETURN
1140 F=M/HM*1E-05
1150 FP=M/HN*1E-05
1160 AA=F/GS
1170 AB=FP/GS
1180 RETURN
1190 OO=OO+DE*A^2*G*H:OO=OO*1E-05
1200 F0=OO+(A-A0)/8/H:F1=OO*(B-B0)/8/H
1210 LX=F0/VV
1220 LY=F1/VV
1230 RETURN
1240 END
```

